

V TOMTO SEŠITĚ

Náš interview	361
Svazarm před významným jubileem	362
Celostátní setkání radioamatérů	363
Radioklub Smaragd na Polním dnu	364
Ze života radioamatérů	364
Jak na to	365
Začínáme od krystalky (10)	366
Měříč rychlosti otáčení	367
Zkušební panel	368
Přijímače s křemikovými tranzistory	369
Časové spínače k ovládání střeračů	370
Barevná hudba	373
Rychlá elektronická pojistka	375
Měříč Q na kmitočtu 400 kHz	377
Indikátor rentgenového záření	383
Monolitický operační zesilovač μA740	384
Přehled nf zesilovačů Tesla na nášem trhu	387
Tranzistorový přijímač Perla	388
Univerzální zosilňovač	390
Škola amatérského vysílání	391
Supercrakní přijímač	393
Tranzistorový transceiver SSB pro 3,5 MHz (pokr.)	394
Soutěže a závody	397
Rychlotelegrafie	397
CQ YL	397
OL QTC	398
DX	398
Naše předpověď	398
Přečteme si	399
Cetli jsme	399
Nezapomeňte, že	399
Inzerce	400

Na str. 379 až 382 jako vyjimkovatelná příloha „Malý katalog tranzistorů“.

AMATÉRSKÉ RADIO

Vydává FV Svazarmu ve vydavatelství MAGNET, Praha 1, Vladislavova 26, telefon 260651-7. Šéfredaktor ing. František Smolík, zástupce Lubomír Březina. Redakční rada: K. Bartoš, O. Brázák, ing. J. Čermák, CSc., K. Donát, L. Hlinský, ing. L. Hloušek, A. Hofhans, Z. Hradíský, ing. J. T. Hyam, J. Krčmářík, ZMS, ing. J. Jaros, K. Novák, ing. O. Petráček, dr. J. Petránek, M. Procházka, ing. J. Vacátk, CSc., laureát st. ceny KG, J. Ženíšek. Redakce Praha 2, Lublašská 57, tel. 296930. Ročně vydeje 12 čísel. Cena výtisku 5 Kčs, pololetní předplatné 30 Kčs. Rozšířuje PNS, v jednotkách ozbrojených sil vydavatelství MAGNET, administrace Praha 1, Vladislavova 26. Objednávky přijíma každá pošta i doručovatel. Dohledáci pošta Praha 07. Objednávky do zahraničí vyřizuje PNS, vývoz tisku, Jindřišská 14, Praha 1. Tiskne Polygrafia 1, n. p., Praha 1. Inzerci přijímá vydavatelství MAGNET, Vladislavova 26, Praha 1, tel. 260651-7, linka 294. Za původnost příspěvků ručí autor. Redakce rukopis vrátí, když bude-li vyžádán a bude-li připojená frankovaná obálka se zpětnou adresou.

Toto číslo vyšlo 11. října 1971

© Vydavatelství MAGNET, Praha

náš interview A R

s plukovníkem
ing. Ladislavem Stachem

Soudruhu plukovníku, v loňském roce vzpomínalo spojovací vojsko 25. výročí svého založení a letos 21. výročí založení radiotechnického vojska. Mohli byste říci, jak celé toto období hodnotit?

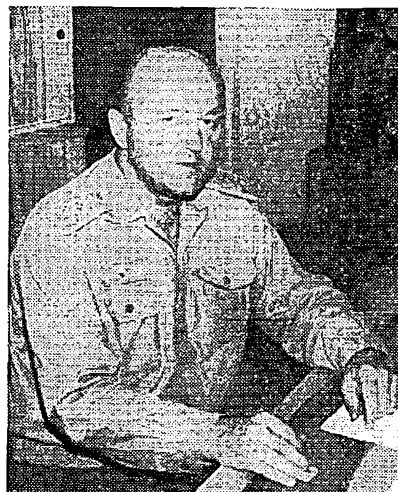
V rozvoji spojovacího vojska bylo za tuto dobu vykonáno mnoho. Byla splněna celá řada úkolů, které mají podstatný vliv na zvyšování bojové pohotovosti a připravenosti ČSLA. Za toto období bylo vycvičeno mnoho dobrých a výtečných spojařů, kteří dnes v civilním životě zastávají důležité funkce na různých úsečích našeho národního hospodářství, ať již v oblasti spojů nebo v jiných technických oblastech. Mnozí z nich si získanou profesi zvolili jako svého „konička“ a dnes aktivně pracují v kolektivních radiových stanicích, nebo vedou technické a provozní kroužky mladých lidí ve výcvikových střediscích Svazarmu. Mohu ze zkušenosti říci, že výcvik u spojovacích jednotek ČSLA značně rozšířuje všeobecné znalosti, politický a odborný rozhled mladého člověka. Většina z nich správně využívá získané kvalifikace jak při iniciativním a obětavém plnění povinností v armádě, tak i v civilním životě při svém aktivním zapojení do budování socialismu.

Velkými změnami prošel rozvoj spojovací techniky. Při různých ukázkách staré i nejnovější techniky a na besedách se zasloužily spojáři, především příslušníci I. Čs. armádního sboru i účastníci SNP, jsme si nejlépe uvědomili, jak se díky péči, kterou věnovala výstavbě armády KSČ, postupně kvalitativně měnila během uplynulých 25 let zaváděná technika, jak vzhůstalo její množství. Při této příležitosti jsme vzpomněli i velké pomoci Sovětské armády nejen v oblasti techniky, ale i zkušenostmi ve všech směrech.

Zavádění moderní technika tuzecké i zahraniční výroby se technickými vlastnostmi, zvláště spolehlivostí nedá srovnávat s technikou, kterou byla vojska vybavena před 15 až 20 lety. Právem jsme v tomto směru hrdi na výsledky pracovníků slaboproudého průmyslu v naší republice i v ostatních socialistických státech. Je však třeba připomenout, že tato technika ve srovnání s minulým obdobím klade mnohem větší nároky na příslušníky spojovacího vojska bez ohledu na jejich zařazení a funkci. Proto v minulosti i nyní je velká pozornost věnována názornosti výcviku. Bylo dosaženo mnoha úspěchů v budování materiálně výcvikové základny, a to jak po stránce ideové, tak i technické úrovně. Při jejím budování projevili příslušníci spojovacího vojska a v řadě případů právě radioamatéři mnoho iniciativy, úsilí a technického vtipu.

Které hlavní úkoly stojí v současné době před vojenskými spojaři?

Hlavním úkolem vojenských spojařů v současné době je realizace závěru



XIV. sjezdu KSČ na podmínce ČSLA a konkrétně na náš druh vojska. Jde především o důslednou ideovou výchovu uvedomělých a aktivních obránců socialistické společnosti, tedy vojáků armády socialistického typu, prodchnutých city socialistického vlastenectví, proletářského internacionalismu a hlboké nehnávosti k třídnímu nepříteli. Na základě ideové výchovy chceme dosáhnout vysokého stupně zvládnutí soudobé moderní techniky a jejího efektivního využití ve spojovacích systémech a soustavách. Přitom je kláděn důraz na praktické zabezpečování spojení v nejsložitějších podmíncích soudobého boje. Povedeme mladé příslušníky vojska k neustálému zvyšování jejich teoretických vědomostí a kvalifikace v celém komplexu, aby byli na úrovni současných i budoucích úkolů naši společnosti. Aby byli nejen aktivními obránci, ale i aktivními budovateli naši socialistické vlasti.

Soudruhu plukovníku, v březnu t. r. vydal ÚV KSČ usnesení o jednotnému systému branné výchovy obyvatelstva v ČSSR. Jak toto usnesení budete realizovat v podmíncích spojovacího vojska?

Usnesení předsednictva ÚV KSČ o jednotnému systému branné výchovy obyvatelstva ČSSR ze dne 19. března 1971 chceme rozpracovat na podmínce spojovacího vojska a co nejrychleji přijmout konkrétní opatření k jeho realizaci. Je třeba bezodkladně přistoupit k nepřetržité práci s tímto usnesením a v celé jeho šíři usilovat, aby branný systém našeho státu, branná výchova obyvatelstva a zejména mládeže k obraně socialistické vlasti se stala věcí každého občana naší vlasti. Je třeba aktivně a všeobecně se angažovat na úseku branné přípravy a zapojit se do konkrétní politickovýchovné, práce, aby myšlenky usnesení pronikly do nejšířší vrstvy naší společnosti.

Spojáři ČSLA se musí aktivněji podelet na úseku branné výchovy na školách všech stupňů, v přípravě branců, kde vidíme naši hlavní pomoc. Budeme i nadále pomáhat v branné přípravě obyvatelstva k civilní obraně i v zájmové branné činnosti.

Větší pozornost chceme věnovat přípravě cvičitelů ve všech druzích branné přípravy jak z řad vojáků z povolání, tak i z řad vojáků základní služby. Do této činnosti chceme zapojit především zkušené metodiky a technicky dobré

připravené cvičitele, abychom měli záruku správného ideového, politického a odborného působení na mladé lidi.

Soudruhu plukovníku, jak hodnotíte podíl Amatérského radia a podíl příslušníků technických i provozních kroužků na zvyšování připravenosti spojováků?

Nejprve tedy k časopisu Amatérské radio. Mohu jednoznačně říci, že nám v tomto směru pomáhá. Má značný podíl na zvyšování teoretických i praktických znalostí v oblasti radioelektroniky, především u mladých lidí. V tomto směru vítám, že se redakce snaží o publikování širší problematiky z oblasti radiotechniky. Vím, že radioamatéři pokládají AR za svůj časopis, neboť jim přináší mnoho užitečných článků pro jejich zájmovou činnost, a že by chtěli ještě více místa pro své specifické problémy, jako jsou výsledky soutěží, předávání praktických zkušeností apod. Myslím si však, že je třeba vydávat časopis pro širší okruh čtenářů, tj. i pro ty, kteří nemají radioamatérskou koncesi. U spojovacího vojska a možno říci v celé armádě je vás časopis čten po měrně hodně.

Pokud jde o radioamatéry, vítám jejich obětavou a mravenčí práci, kterou dělají především ve prospěch výchovy nového dorostu, což vyžaduje obětovat značnou část volného času, často i na úkor vlastního růstu, a velké úsilí. Velký podíl mají na přípravě branců-radistů ve výcvikových střediscích Svazarmu cvičitelé. Je jen třeba usilovat ze strany cvičitelů Svazarmu i ze strany radioamatérů v některých městech republiky o zlepšení vzájemné spolupráce a dosažení ještě lepších výsledků. Vědeckotechnická revoluce ve všech oblastech našeho života prudce mění nároky na technické vzdělání, pohotovost a všeobecnou informovanost, rostou i nároky na kvalifikaci v jednotlivých oborech. Tento požadavek vyniká zvláště v oboru elektroniky. V této souvislosti dochází v současné době k prudkému vzestupu nasycenosti armády složitou spojovací technikou, která klade vysoké požadavky na její obsluhu, údržbu a správnou exploataci. Dříve jednoduchá radiová stanice a ostatní spojovací prostředky nevyžadovaly takové všeobecné vzdělání a technickou průpravu spojováků jako soudobá spojovací technika, která je charakterizována vysokými technickými parametry.

Tato okolnost nás pochopitelně nutí plně využívat znalosti branců, které získali v civilu – byť i v sebezmíření mře – v našem oboru. Myslím, že i z celospolečenského hlediska je důležité a prospěšné, aby se spojovalo úsilí v civilu i v armádě k tomu, aby mladí lidé získávali v komplexu co největší teoretické i praktické znalosti a zkušenosti v daném nebo alespoň příbuzném oboru. Přitom je třeba vidět, že znalosti z oboru radiotechniky a elektroniky lze v současné době využít na všech úsecích nejen národního hospodářství, ale životu všebec. proto vitám iniciativu těch branců, kteří se dobrovolně hlásí k výkonu vojenské služby u spojovacích jednotek. Přál bych si, aby co nejvíce mladých lidí již v době, kdy se stávají branci, se aktivně zúčastňovalo spojovacího výcviku ve Svazarmu. Předpokládá to však organizovat kroužky velmi přitažlivé a zajímavé, aby u mladých lidí vzbudily zájem. Takto připrav-

ení mladí lidé pro vojenskou službu u spojovacího vojska se podstatně rychleji naučí ovládat složitou spojovací techniku a jsou tedy mnohem dříve odborně připraveni k začlenění do osádek a obsluh pojítek při zabezpečování spojení.

Mladí lidé, kteří se připravují v technických a provozních kroužcích pod vedením zkušených a dobrovolně pracujících techniků-amatérů, se stávají u našich jednotek nositeli iniciativy a aktivity v socialistickém soutěžení za dosažení výtečných výsledků v odborné přípravě a za zkracování časových norem při uvádění pojítku do provozu. Mnoho radioamatérů je u spojovacích jednotek a po absolvování kursů radiomechaniků jsou zařazováni jako radiové mechanici. Vojenská služba značně rozšiřuje jejich technické znalosti, nehledě k tomu, že vojenskou službu plní v oblasti svých

zálib. Dlouhodobé zkušenosti z výcviku a výchovy spojováků ukazují, že branci a radioamatéři, kteří se pravidelně zúčastňovali přípravy v technických a provozních kroužcích, se stávají vzornými vojáky, jsou z nich dobrí poddůstojníci u spojovacích jednotek.

Ná závěr bych chtěl poděkovat všem dobrovolným cvičitelům za školení mladých lidí v technických a provozních kroužcích, kteří u nich vzbuzují zájem o moderní spojovací techniku a provoz. Takto připraveni mladí lidé, kteří přicházejí do armády, podstatně zvyšují bojovou pohotovost a připravenost spojovacích jednotek. Vám, pracovníkům redakční rady i redakce, přejí mnoho úspěchů v odpovědné a záslužné práci, zvláště velký okruh čtenářů. Radioamatérům přejí mnoho kvalitních a unikátních spojení.

Rozmlouvá ing. F. Smolík

Svazarm před významným jubileem

Příští měsíc – 4. listopadu 1971 – oslaví Svazarm dvaceté výročí svého založení. Za tu dobu se z něj stala silná, akceschopná organizace, pevná součást Národní fronty. Jeho podíl na rozvoji brané výchovy a na plnění celospolečenských úkolů rok od roku rostl. Svědčí o tom pozitivní výsledky dvacetileté práce a také velký počet rekordů, i světové úrovně, v braných sportech, na nichž se významně podíleli i radioamatéři.



Radioamatéři patří do velké rodiny svazarmovců od samého počátku této organizace. Dnes jsou čtvrtou početně nejsilnější odborností Svazarmu po motoritech, střelcích a vyznavačích braných sportů. V ČSSR dnes pracuje 173 samostatných radioklubů, 195 radioklubů při základních organizacích a 571 radiokroužků při základních organizacích. Svému radiovému koníčku se v nich věnuje 14 869 členů. Je mezi nimi mnoho těch, kteří jsou pamětníky zrodu a celé dvacetileté historie Svazarmu, většinu však tvoří mladí, kteří se se Svazarem setkali až v pozdější fázi jeho vývoje. Dvacáté výročí je vhodnou příležitostí k tomu, aby se i oni seznámili alespoň s hlavními mezníky na cestě Svazarmu k jeho dnešní podobě a společenskému postavení.

Základní koncepcí k vybudování nové lidové armády a rozvinutí brané výchovy lidu na demokratických zásadách položil Košický vládní program. Cesta k realizaci však nebyla snadná. Z předmnichovské republiky zůstalo ve spolkovém katastru ministerstva vnitra zapsáno 54 vojenských, polovojenských, braných a legionářských spolků. Zkušenosti z druhé světové války ukázaly, že však jen jednotná braná organizace je schopna plnit odpovědné úkoly brané přípravy lidu v lidově demokratickém státě. Proto byl v říjnu 1945 ustaven Svaz brannosti, který vznikl splaynutím pěti bývalých předválečných organizací: Svazu čs. důstojnictva, Svazu čs. rotmistrů, Svazu národních střeleckých gard, Svazu záložníků a braného sboru čs. motoristů. Tento svaz však nejen neodstranil rozdílnost branné výchovy, ale nakonec se v něm projevil i silný reakční vliv. Proto byl v roce 1949 zrušen.

Po IX. sjezdu KSČ přešla braná výchova na některé masové organizace, řízené různými ústředními úřady. Znovu se tu však projevila značná rozdílnost

a výsledkem bylo, že 13. září 1951 na aktivu tělovýchovných pracovníků byly ostře kritizovány nedostatky v brané přípravě, zvláště činnost Státního úřadu pro tělesnou výchovu a sport, Československé obce sokolské a ČSM. V této době se již projednávala otázka utvoření Svazu pro spolupráci s armádou.

Ustavující schůze se konala 4. listopadu 1951. Nově vzniklý Svazarm sdružoval 10 organizací, které se dobrovolně staly jeho kolektivními členy; byly mezi nimi i Československí amatéři – vysílači. Brzy se však ukázalo, že ani Svazarm s kolektivním členstvím nemůže odstranit dosavadní rozdílnost a nastoupit soustavnou, cílevědomou práci na rozvíjení brané zdatnosti lidu. Proto bylo již v listopadu 1952 zavedeno členství individuální. Znamenalo to sice určité oslabení členské základny, naproti tomu se však projevilo podstatné zlepšení v rozvoji činnosti. Dá se říci, že právě v tomto období našel Svazarm své správné místo ve společnosti i svoji organizační základnu. Proces organizační výstavby dovršil v roce 1956 I. celostátní sjezd Svazarmu, který schválil nový organizační řád. Do II. celostátního sjezdu v roce 1961 se počet členů zdvojnásobil. Svazarm oslavil své desáté výročí bilancí mnoha úspěšných výsledků. Ukázalo se však současně, že snaha o masovost za každou cenu má i rádu záporných stránek, neboť masovost nebyla zabezpečena dostatečným počtem trenérů a cvičitelů a zvláště dostačnou materiální základnou.

Druhé desetiletí práce Svazarmu je charakterizováno intenzivní snahou o kvalitativní rozvoj činnosti. Došlo však také k některým podstatným změnám ve struktuře, obsahové náplni a řízení organizace, které Svazarmu neprospele (v roce 1965 zrušení krajských výborů, vyvědění základních organizací ze závodů atd.), takže III. celostátní sjezd v roce 1966 musel konstatovat, že aktivity členstva upadá, že členská základna se zmenšila téměř na polovinu a že začínají narůstat negativní jevy, jako tendence pacifismu a liberalismu, podcenování ideové výchovné práce, zesi-

lení direktivních metod řízení apod. Sestupnou tendenci činnosti po II. sjezdu se nepodařilo zastavit ani III. sjezdu, i když jeho závěry byly pozitivní. Tak vznikaly a prohlubovaly se zárodky krize jako odraz celospolečenského vývoje. Začaly se aktivizovat pravicové síly se stále silicími desintegrálními tendencemi. Jen díky pevnému postoji většiny základních organizací a okresních výborů, které i v období nejhlubší krize stály pevně za jednotou branné organizace, nepodařilo se Svazarm rozbít. Naopak – po dubnovém a květnovém plenu ÚV KSČ v roce 1969 nastoupila většina členů a organizací ke konsolidaci Svazarmu, k boji proti praviceckým tendencím. Proces základní strukturální přestavby Svazarmu v souladu s federalizací státu dovršil v červenci 1969 IV. mimořádný sjezd, který se stal i odrazovým můstekem k dokončení konsolidace, ve všech článcích organizace.

Do třetího desetiletí své činnosti vstupuje Svazarm jako akceschopná, silná a jednotná organizace, již XIV. sjezd

je ve vestibulu a zapojili na ně univerzitní snímací kamery a monitor. Škoda, že zařízení neumožnilo i přenos zvuku, takže bylo jen ukázkou průmyslové televize.

U příležitosti setkání byla uspořádána výstavka diplomů, které amatéři získali v mezinárodních závodech. Po dobu setkání byla v provozu stanice OK5KOV, která pracovala v pásmu VKV. Kromě toho rada amatérů pracovala s přenosními zařízeními SSB v pásmu 80 m. Setkání využili mnozí amatéři jednak k výměně součástek mezi sebou, ale i k nákupu potřebných věcí z RK Gottwaldov a z prodejny ÚRK Svazarmu, která tu měla otevřen stánec s bohatým výběrem součástek. Tesla Rožnov rovněž prodávala různé technické brožury a druhohradé součástky a dodávala seznam mimotolerantních součástek. Mnozí amatéři měli ve svých autech vystavena svá zařízení vcelku i v jednotlivých dílech, o což byl mezi účastníky neustálý zájem. Byla to sice malá, ale velmi pěkná výstavka, z níž mnohé uvidíte na 2. straně obálky. A přitom jsme se dovíděli např. i to, že pěknou anténu Quad má OK1BEG a antény typu Delta Loop mají OK1HA a OK1CEJ – všechni v Praze-Proseku.

V závěru setkání byly některým účastníkům rozdány diplomy RK Příbram. Pak se konala beseda s redaktory AR a RZ. K našemu časopisu však bohužel nebyla vnesena ani jedna připomínka.

Zájem o celostátní setkání radioamatérů rok od roku roste. Letos se jej zúčastnilo 430 evidovaných zájemců, z toho 70 Slováků; kromě tohoto počtu se setkání zúčastnilo ještě několik desítek amatérů, kteří po kratším nebo delším pobytu ještě tentýž den odejeli a neprezentovali se, takže počet účastníků byl mnohem větší. Pro organizátory není lehké zajistit pro takové množství lidí v době rekreačních zájezdů ubytování, stravování, ale i prostory pro přednášky. Není také snadné zajistit pro širokou oblast problematiky lektory; zatímco na prvním setkání bylo plánováno 17 přednášek, rok od roku jejich počet klesá a dnes se ukazuje nutnost specializace. To znamená zaměřit setkání jen k jedinému problému, který by byl ovšem atraktivní. Na tomto setkání byla např. úplně stačila přednáška OK1GW o pomalé televizi, v níž by byl mohl autor vyčerpat látku mnohem hlouběji, aniž by byl omezován časem. Proto se již dnes uvažuje o tom, zorganizovat setkání zaměřené jen na jeden problém. To ovšem neznamená, že účast bude menší – radioamatéři se scházejí i proto, aby si mohli vzájemně povídávat a zavzpomínat si.

Dobrou se ukázala i forma seminárních besed KV a VKV; jsou již tradiční a mají přednost v tom, že mnohý v užším kolktivu řekne svůj názor, zatímco na širokém fóru se ostýchá. Potěšitelné bylo i to, že na setkání přijelo hodně mladých radioamatérů a amatérů, kteří počtem značně převyšovali věkem starší soudruby.

U příležitosti letosního setkání se sešla federální rada ÚRK Svazarmu za účasti národních svazů – českého a slovenského. Na tomto zasedání seznámil tajemník rady pplk. V. Brzák příomné informativně s výhledovým plánem na příštích pět let, který (po schválení) uvádějí v AR; bude velmi důležitým přínosem k dalšímu rozvoji radioamatérské činnosti.

-jg-

CELOSTÁTNÍ setkání RADIOAMATÉRŮ

Letošní celostátní setkání radioamatérů, které se konalo 31. 7. a 1. 8. 1971 v Olomouci, se opět vydářilo. Již počtvrté se tu sešli amatéři, aby se nejen seznámili s radiotechnickými novinkami a s tím, co kdo zkonstruoval, aby se poučili z přednášek, ale také aby si v družné zábavě pohovořili s přáteli a navázali nová přátelství s těmi, s nimiž se zatím znali jen z pásem. A navíc, aby i jejich rodiny poznaly velkou obec radioamatérů.

Setkání se konalo z pověření ústředního orgánu Svazu radioamatérů Svazarmu ČSSR v jubilejném roce 50. výročí KSČ a 20. výročí Svazarmu. Čestné předsednictví převzal prorektor University Palackého v Olomouci, universitní profesor MUDr. Jan Hrbek, CSc.

Setkání se konalo ve velké posluchárně lékařské fakulty University Palackého a zahájil je prorektor university univ. prof. MUDr. Jan Hrbek, CSc, který mimo jiné řekl:

„Mám tu čest a milou povinnost pozdravit vaše celostátní setkání jménem vedení University Palackého a co nejsrdečněji vás uvítat na půdě naší staroslavné Alma Mater.

Pro lékařskou fakultu naší university je nesporně poctou, že již počtvrté se scházejí českoslovenští radioamatéři v Olomouci. Těší nás, že na všech setkáních se pracovníci University Palackého podílí nejvyšší měrou. Byli bychom rádi a vážili bychom si i toho, kdyby tato skutečnost byla určitým zárodkiem nové tradice konat podobná setkání, event. semináře či konference za určitou dobu v našem universitním městě. Vždyť v radioamatérské práci nevidíme jen pěstování určité záliby nebo konička; z vašich řad se rekrutují pracovníci řady úseků medicínské elektroniky. Je tedy zřejmé, že nás zájem o vaši práci není tak zcela nezíštný. My skutečně potřebujeme vaši spolupráci při získávání informací o mikroskopu v nás, tak jako se již osvědčila a sehrála významnou roli vaše účast na dobývání makroskopu. Je to opravdě grandiózní úspěch radiotechniky za poměrně krátký časový

úsek několika posledních desetiletí. Máme z toho upřímnou radost a blahořejeme vám.

Vaše setkání se koná v jubilejném roce 50. výročí KSČ a 20. výročí Svazarmu. Je zde však ještě jedno výročí, významné pro Universitu Palackého: před 25 lety bylo obnoveno vysoké školství v Olomouci. Vaše setkání zapadá tedy i do našich univerzitních oslav. V r. 1973 budeme oslavovat 400. výročí založení university v Olomouci. A tady se vám, československým radioamatérům, nabízí velká příležitost přispět k tomu, aby se Universita Palackého dostala do povědomí co největšího počtu lidi na celém světě. Pokuste se, vážení přátelé, o takovou akci, která by pomohla šířit čest a slávu naší staroslavné Alma Mater éterem roku 1973! Byla by to pomoc nanejvýš potřebná a užitečná!“

První přednáška RNDr. V. Všetečky, OK1ADM, zaměřená na použití směrových antén v KV DX provozu, osvětlila zájemcům celou problematiku, některým možná málo známou.

Na přednášce Antonína Glance, OK1GW, bylo – jak se říká – nabito. O „radioamatérskou pomalou televizi“ projevili nevšední zájem takřka všichni. Přednáška byla doplněna promítáním názorných obrázků k jednotlivým pasážím i ukázkou zařízení, které prakticky předváděl OK1GW. Také seminární besedy sekci KV a VKV se těšily značnému zájmu.

Protože se setkání konalo v údolí umorného vedra až +45 °C, měli organizátoři dobrý nápad. Vypůjčili si z Multiservisu Tesly dva TVP, umístili

Radioklub Smaragd na Polním dnu

Pražský radioklub SMARAGD je většině radioamatérů znám z účasti na soutěžích RTO a rychlotelegrafie, ze spojovacích služeb a výrobou plošných spojů. Značku OK1KNH však bylo na pásmech slyšet poměrně málo. Starší operatéři se během posledních let stali otci několika dítek, nových bylo málo. Proto se v plánu práce radioklubu objevily dva základní úkoly: přestavba klubovny s provozní místností a výchova nových operátorů. Provozní místnost je dnes těsně před dokončením, stejně jako všeobecnou vysílač SSB 100 W. Pokud jde o druhý bod, rozhodl výbor ZO uspořádat ve spolupráci s MV ČRA výcvikový tábor mladých operátorů na šumavském Javorníku. Termín byl zvolen tak, aby tábor vyvrcholil účastí na Polním dni.

I když jsme z Javorníku nevysílali poprvé, rozhodli jsme se ještě před Polním dnem vyzkoušet veškeré zařízení, hlavně komplikovanou montáž antény vysoko na střeše Klostermannovy rozhledny. Ideální příležitostí byl Východoslovenský závod. Jíž v něm se nám potvrdilo, že pověsti o dobré kvalitě vysílačů PETR z Hradce Králové jsou zcela pravdivé. Vyzkoušeli jsme tři kusy, z nich jeden nový „special“, který nám Ustřední radiodílna zapůjčila ke zkouškám. Na žádném vysílači nedošlo k jediné závadě. Nový „special“ je rozhodně o něco lepší, zvláště pro zjednodušené ovládání a větší výkon.

Výcvikový tábor začínal týden před Polním dnem. Pečlivě připravený program byl velmi bohatý a jen nepřízeň počasí nám znemožnila jeho splnění v celém rozsahu. Tábořilo se totiž při nočních teplotách těsně nad nulou, odpoledne teplomer ukazoval 10°, několik dní pršelo. I tak bylo stále co dělat. Noví operatéři byli seznámeni s provozem na VKV, naučili se navazovat spojení v cizích řezech. Na řadu přišel i přehled činnosti OK1KNH za dobu jejího trvání včetně řady zajímavých příběhů. Všichni se naučili ovládat veškeré zařízení. Nechyběla přednáška

o jednotlivých disciplínách RTO a rychlotelegrafie. I když bylo nutné vypustit část sportovní náplně, našlo se několik příznivějších půldnů, kdy se běhaly krátké orientační závody, zaměřené na nácvik odhadu vzdálenosti, krokování a udržování azimutu. Protože prvnímu závodu předcházela teoretická příprava, nikdo z účastníků nezabloudil.

Během týdne bylo uvedeno do zkušebního provozu zařízení na 145 MHz na kótě i v tábore. Součástí výcviku bylo i zavedení telefonního spojení. Koncem týdne se uskutečnila malá expedice po blízkých QRA čtvercích. Po celou dobu byla v činnosti polní kuchyně pod vedením Ivanky, manželky OK1DAY.

Při Polním dni se vytrádili ve dvouzáž čtyřhodinových etapách všechni operatéři; 70 spojení jistě není světoborným úspěchem, je však třeba trochu přimhouřit oko, protože nevysílali jen ostřílení borci. Pro návštěvníky rozhledny jsme vyvěsili informace o zařízení a některé zajímavosti z provozu na VKV.

Výcvikový tábor na Javorníku se všem líbil. Splnil témař všechno, co jsme očekávali. V podobných akcích chceme pokračovat. Nemáte snad také zájem?

-ra-

Ze života radioamatérů

Výroční členská schůze radioklubu Svazarmu v Havlíčkově Brodě zhodnotila vykonanou práci a stanovila cíle další činnosti. Ze schůze byla odeslána pozdravná rezoluce okresní konferenci KSC, v níž se všichni členové přihlásili k současné politice strany.

Radioamatérská činnost má v Havlíčkově Brodě bohatou tradici. Více než 14 let zde pracuje kolektivní stanice OK1KHB, jejíž značku znají především amatéři VKV z pásem 145 a 435 MHz. Lze říci, že dosud byla činnost zaměřena především na provoz VKV, dnes však je zájem i o provoz KV, stoupá zájem o stereofoni a podobně. V posledních letech se zvýšil zájem o radioamatérskou činnost i mimo město. Stanislav Šídlo, OK1MSP, si postavil krátkovlnný vysílač na všechna amatérská pásmata a navázel již spojení s více než sto zeměmi. Jiří Stehna, OK1ASA, si postavil celotranzistorové zařízení pro VKV, s nímž se v r. 1970 umístil v pásmu 145 MHz na prvním místě.

Jedním z předních úkolů přijatých na výroční členské schůzi bylo uspořádání propagacní výstavky radioamatérské činnosti; ta se konala začátkem června a splnila svůj úkol - shledlo ji přes 500 návštěvníků. V popředí zájmu bylo stereofonní zařízení - práce členů kolektivu soudruhů Holendry, Stehna a Jeníka. Také celotranzistorové zařízení OK1ASA na pásmu 145, 435 a 1 296 MHz bylo středem zájmu, stejně jako automatický klíč Jana Ziky, OL5ALY, a mnoho dalších amatérských zařízení. Velkému zájmu se těšil i provoz stanice.

Konečně!

Zástupci obchodního podniku Tesla předvedli v srpnu novinářům nový čs. stereofonní přijímač Tesla 632A. Tesla Pardubice odvedla kus poctivé práce a jejich výrobek má dobrou úroveň; kromě výkonové šířky pásmu vyhovuje dokonce i parametrům předepsaným normou DIN pro přístroje třídy Hi-Fi.

Očekává se, že přijímač přijde na trh na podzim. Jeho cena bude 4 560 Kčs.

Přijímač slouží k příjmu VKV v oboru evropských normáček, CCIR-K a CCIR-G. Je to v podstatě stereofonní tuner s tzv. diodovým výstupem, sdružený v jedné skřínce se stereofonním zesilovačem. K vybavení přijímače Tesla 632A patří i tzv. přehledové ladění (samočinné vyhledávání stanic), obvod se samočinným spináním stereofonního dekodéru (při slabých signálech lze odpojit tlacičkem), indikace stereofonného signálu apod. Přijímač lze používat i jako jakostní nf zesilovač pro gramofon s rychlostní vložkou a magnetofon. K přijímači lze připojit běžné reproduktory soustavy i stereofonní sluchátka.

Základní technické údaje

Osazení: 26 germaniových, 12 křemíkových tranzistorů, 6 varikapů, 14 diod.

Napájecí napětí: 120/220 V, 50 Hz.
Kmitočtová pásmata: 66 až 73 MHz, 87,5 až 104 MHz.

Vstup pro anténu: 75 nebo 300 Ω.

Citlivost: 1,5 μV pro odstup s/s = 26 dB.

Selektivita: pro 10,7 MHz lepší než 74 dB.

Rozsah AVC: lepší než 74 dB.

Výstupní napětí na diodovém výstupu: 0,3 mV/1 Ω.

Nf výkon: 2 × 6 W (sinus. signál na záteži 4 Ω, zkreslení lepší než 1 %).

Nf charakteristika: 20 Hz až 20 kHz (3 dB).

Odstup rušivých napětí: lepší než 70 dB (pro 6 W).

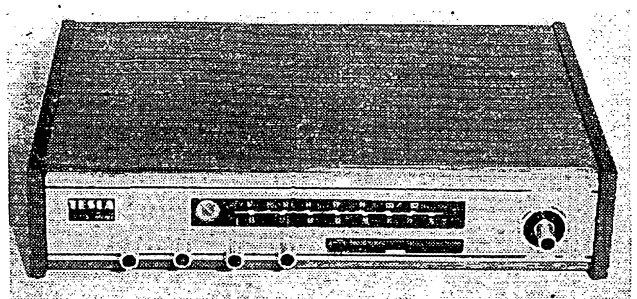
Rozměry: 430 × 110 × 280 mm.

Původně jsme chtěli přijímač testovat; na tiskové besedě jsme se však dohodli s redakcí HaZ, že podrobný test uveřejní tento časopis. Závěrem jen to, že jsme měli možnost přijímač zkoušet v běžném provozu asi 14 dnů - subjektivně lze tvrdit, že vyhoví i při značných náročích jak na vf, tak na nf vlastnosti.

A konče - jak je vidět z fotografie, lze i povrchovou úpravu a celkový vzhled exteriéru označit za celkem uspokojivé, i když při ceně, za jakou se bude prodávat, by byl pravděpodobně kdekoli na světě „kabát“ přijímače přece jen lepší.

Ale - i za tento přijímač dík.

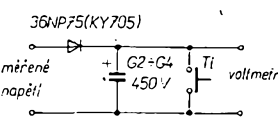
-ou-



Přijímač Tesla 632A

Měření zápalného napětí doutnavek

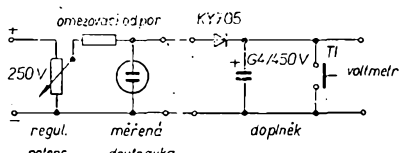
Často potřebujeme změřit stejnosměrné napětí, které se postupně zvětšuje a po dosažení určité maximální velikosti se skokem zmenší. Týká se to například měření zápalného napětí doutnavek, kdy se napětí po dosažení zápalného napětí prudce zmenší na provozní napětí. Abychom změřili toto zápalné napětí, musíme pozvolna zvětšovat napětí na doutnavce a současně sledovat zrakem zapálení doutnavky i ručku voltmetu. V okamžiku zapálení se však ručka voltmetu rychle vrací a málodky se napoprvé podaří údaj



Obr. 1.

správně zaregistrovat. Proto jsem si vyrobil jednoduchý přípravek na měření maximálního napětí před skokovou změnou dolů. Princip zapojení je zřejmý z obr. 1.

Diodu volíme podle maximálního měřeného napětí, nejradiji však křemíkovou (velký závěrný odpor). Obvod pracuje takto: potenciometrem pozvolna zvětšujeme napětí. Proud prochází diodou, jež malý odpor v propustném směru se neuplatní. Současně se nabíjí kondenzátor, na němž měříme napětí měridlem s malou spotřebou (Avomet



Obr. 2.

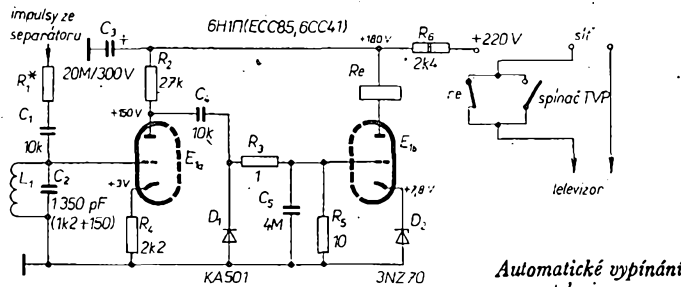
II apod.) a sledujeme měřený obvod, aniž musíme věnovat pozornost měřidlu. Po dosažení maximálního napětí (např. při zapálení doutnavky) přestaneme zvětšovat napětí a v klidu přečteme výchylku ručky na měřidle. Velký závěrný odpor diody nedovolí rychlé vybijení kondenzátoru přes měřený obvod a náboj na kondenzátoru - pokud zvolíme velkou kapacitu - nám zaručí pohodlné čtení na voltmetu. Před dalším měřením musíme kondenzátor vybit, což umožňuje tlačítko. Úplný obvod vhodný k měření zápalného napětí doutnavek je na obr. 2.

Ivo Richter

Automatické vypínání televizoru

Zapojení ušetří peníze za elektrickou energii těm, kteří zasípí přání dobré noci hlasatelem. V době takřka jednotné technické koncepce černobílých televizorů by jistě podobný doplněk některého typu televizoru podchltil zájem zákazníků, kteří často pro podobné maličkosti kupují zahraniční výrobky.

Zapojení využívá synchronizačních impulsů televizoru, které se přivádějí z anody separátoru, popřípadě přímo



Automatické vypínání televizoru

z anody obrazového zesilovače přes R_1 , C_1 na mřížku triody E_{1a} . V mřížkovém obvodu je zapojen člen L_1 , C_2 , který je nastaven na 15 625 Hz. Tento obvod oddělí z přiváděné směsi synchronizačních impulsů jen rádkové, které současně tvarují na přibližný sinusový průběh. Takto získané rádkové impulsy zesiluje E_{1a} a z anody přes C_3 postupují na diodu D_1 . Na integrační člen R_3 , C_6 se již dostávají detekční oddělené kladné půlvlny signálu. Na C_5 získáme stejnosměrnou složku, která se přivádí na mřížku E_{1b} ; ta pracuje jako zesilovač stejnosměrného proudu. Maximální velikost stejnosměrné složky na g_i je rovná napětí stabilizátoru na katodě. Nepřicházejí-li na vstup synchronizační impulsy, trioda E_{1b} se uzavře a kontakty relé se rozpojí - televizor je vypnut ze sítě. V zapojení je možné použít libovolné relé s pracovním proudem 5 až 15 mA. Kontakty musí být dimenzovány na 2 A. Je třeba brát zřetel na dobrou izolaci svazku relé od kostry (alespoň 500 V). Kondenzátor C_5 je na napětí 160 V. Změnou R_5 řídíme zpoždění odpadu relé; při uvedené kapacitě je 20 vteřin (po vypadnutí signálu na vstupu). Odpor R_1 nastavíme podle síly signálu a případných změn napájecího napětí. Velikost odporu se může pohybovat od několika ohmů až po několik MΩ, závisí to na úrovni přiváděných impulsů a na kvalitě L_1 , C_2 . Anodový proud E_{1b} se nastavuje změnou R_6 . Při úpravě televizoru, u nichž se vypínají oba přívody sítě, budeme využívat dvou páru kontaktů relé v klidovém stavu rozepnutých, které připojíme paralelně ke kontaktům spínače televizoru. Na místě L_1 , C_2 můžeme použít laděný obvod LC , používaný v starších čs. televizorech v rádkovém rozkladu. V původním pramenu je použita cívka navinutá na feritovém jádru. Vinutí má 510 závitů v lanka 7 × 0,07 mm nebo drátu o Ø 0,19 až 0,21 mm CuL.

Jindřich Drábek

Nejjednodušší zkoušeč tranzistorů

Jde o tak jednoduchý přípravek, že k jeho sestavení stačí odpor 1 až 2 kΩ, baterie 4,5 V a žárovka 3,5 V/0,07 až 0,1 A. Je určen zejména mladým radioamatérům, kteří nemají citlivější měřicí přístroj, vyhoví však i pro rychlou orientaci o kvalitě všech tranzistorů od nejmenších až do výkonu 15 W. Kromě toho pomůže přípravek zjistit, jde-li o typ p-n-p nebo n-p-n a určit neznámé vývody. Schéma zapojení je na obrázku. Základem jsou tři kousky mosazného plechu, z nichž jeden je připojen přímo k jednomu pólmu baterie, druhý přes žárovku ke druhému pólmu baterie a třetí k odporu 1 až 2 kΩ. Abychom ušetřili přepínač, opatříme druhý konec odporu pérovou svorkou, kterou podle potřeby připojujeme na kladný nebo záporný pól baterie. Mo-

cháme na svorkách C a E připojeny elektrody, při jejichž zapojení v obou polaritách žárovka nesvítí, elektrodu určenou jako bázi připojíme na svorku B a odpor 1 až 2 kΩ připojíme nejprve na kladný a pak na záporný pól baterie. Rozsvítí-li se žárovka po připojení na kladný pól, jde o tranzistor n-p-n, rozsvítí-li se po připojení na záporný pól, jde o tranzistor p-n-p. Na tentýž pól připojená elektroda je pak kolektor, zbývající emitor. Pokud u tranzistoru pro větší výkony žárovka stále slabě svítí, při popsaném postupu se jasné rozzaří a naopak ježi jas se změní po připojení odporu na opačný pól. Velikost odporu je nejvhodnější kolem 1,5 kΩ. Při odporu větším než 2 kΩ se již žárovka nerozsvítí (nebo jen velmi slabě), při odporu menším než 1 kΩ je tranzistor více zatěžován. Vyskytnou-li se při zkoušení odchylinky od popsaného postupu (nelze např. nalézt dve dvojice elektrod, když žárovka svítí jen v jednom směru), je tranzistor vadný. Přípravek jsem s plným úspěchem vyzkoušel na tranzistorech řady 103NU70, na tranzistorech OC30 (4 W), 4NU74 (50 W) i na americkém 2N155.

Ing. V. Patrovský

ZAČÍNÁME OD oklamy KRYSTALKY

10

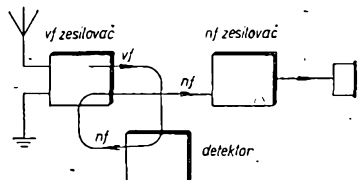
Alek Myslík

Jedním z nejoblíbenějších zapojení jednoduchých tranzistorových přijímačů je reflexní zapojení, lidově zvané „reflex“. Využívá dvakrát jediného tranzistoru a k příjmu silné místní stanice mu stačí feritovou anténu. Tentokrát si tedy vysvětlíme princip a funkci tohoto zapojení a v dalších dvou pokračováních se budeme zabývat stavbou reflexního přijímače se všemi podrobnostmi tak, abyste jej mohli dát třeba rodicům k vánocům a dokázali jim, že penize vynaložené na nákup součástek během roku byly správně využity.

Princip a funkce reflexního zapojení

Podstatou reflexního zapojení je dvoji využití jediného tranzistoru – nejprve k zesílení vysokofrekvenčního signálu a potom ještě k zesílení nízkofrekvenčního signálu. Blokové schéma reflexního přijímače je na obr. 1. Signál z antény je zesílen vf zesilovačem a přivádí se do detektora. Nízkofrekvenční signál z detektoru se přivádí zpět na vstup prvního stupně, který jej znova zesílí. Tepře potom postupuje do dalšího nízkofrekvenčního zesilovacího stupně a odtud do sluchátek nebo reproduktoru.

Podrobnejší si vysvětlíme funkci na praktickém zapojení (obr. 2). Signál z antény se přivádí přes kondenzátor C_v s malou kapacitou (10 až 20 pF) na laděný obvod L_1 , C_0 . Kondenzátor C_v musí mít proto malou kapacitu, aby se připojením antény příliš nezhoršila



Obr. 1. Blokové schéma reflexního zapojení

selektivita, tj. aby naladění jednotlivých stanic bylo dostatečně ostré a aby se stanice navzájem nerušily. Vazebním vinutím L_0 se signál přivádí na bázi tranzistoru T . Pracovní bod tranzistoru je nastaven odpory R_2 a R_3 . Je to obvyklý dělič, jak jej známe z mnoha přecházejících zapojení – cívka L_0 a kondenzátor C_1 se z hlediska stejnospěrného proudu neuplatní. V kolektoru tranzistoru je zapojen zatěžovací (pracovní) odpor R_1 . Zesílený vysokofrekvenční signál z kolektoru tranzistoru T přivedeme přes kondenzátor C_2 na diodový detektor. Kondenzátor C_2 má malou kapacitu a propustí bezpečně jen vysokofrekvenční signál – nízkofrekvenčnímu signálu klade velký odpor (vyplývá to ze vztahu pro impedanci kondenzátoru $Z = \frac{1}{2\pi fC}$).

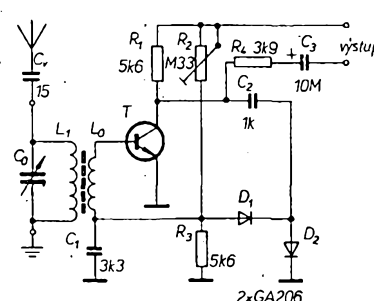
Diodový detektor z diod D_1 a D_2 současně zdvojuje získané nápěti; zatěžovací odpor detektoru tvoří odpor R_3 a vstupní odpor tranzistoru. Kondenzátor C_1 tvoří prakticky zkrat pro jakékoli zbytky vysokofrekvenčního signálu a propustí tedy na bázi tranzistoru jen nízkofrekvenční signál. Vzhledem k nf

signálu se cívka L_0 vůbec neuplatní. Zesílený nízkofrekvenční signál se odebírá opět z kolektoru tranzistoru T a odvádí se přes oddělovací odpor R_4 a kondenzátor C_3 do sluchátek nebo do dalšího nf zesilovacího stupně.

Trochu obměněné zapojení je na obr. 3. Cesta vysokofrekvenčního signálu je až k bázi tranzistoru T stejná jako v přecházejícím případě. Zatěžovací odpor tranzistoru T tvoří sériové spojení primárního vinutí vf transformátoru T_r a odporu R_3 . Pro vysokofrekvenční signál má primární vinutí transformátoru mnohem větší odpor než R_3 , zatímco pro nízkofrekvenční signál se toto vinutí téměř neuplatní. Zesílený vysokofrekvenční signál se přes transformátor T_r přivádí na detektor D_1 . Pracovní bod detektoru je nastaven odpočtem R_2 . Detekční získaný nízkofrekvenční signál se přivádí přes odpor R_1 (který zajistuje stabilitu stupně) opět na bázi tranzistoru T . Zesílený nf signál se odebírá před odporem R_3 (protože vinutí transformátoru se v tomto případě neuplatní) a odvádí se přes oddělovací kondenzátor C_4 do sluchátek nebo do dalšího nf zesilovacího stupně.

Použité součástky

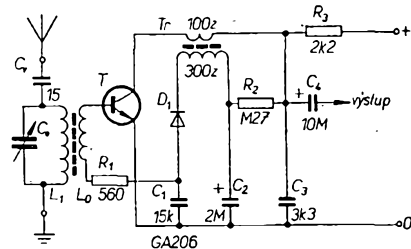
Obě zapojení můžeme postavit všechny z těch součástek, které již máme. Použijeme vysokofrekvenční tranzistor. Vstupní laděný obvod můžeme realizovat dvojím způsobem. Při použití vnější antény zapojíme cívku, kterou jsme si zhotovili při stavbě krystalky se sériovým laděným obvodem (AR 2/71). Ladící vinutí má 90 závitů, vazební vinutí 30 závitů, obě jsou navinuta na kostřičce o průměru 10 mm a dolaďována jádrem. Druhou možností je použít feritové antény. Příjem nebude sice tak hlasitý a nezachytíme patrně víc než jednu, maximálně dvě silné stanice, ale přijímač bude přenosný. Můžeme opět použít feritovou anténu zhotovenou pro úplně první krystalku (AR 1/71). Její vinutí má 90 závitů. Musíme na něj přivinout ještě vazební vinutí; bude mít



Obr. 2. Reflexní přijímač

15 až 30 závitů libovolného vlnového lanka nebo tenkého lakovaného nebo opředeného drátu. Navineme je závit vedle závitu v tomu konci ladícího vinutí (přes něj), který bude uzemněn.

V zapojení podle obr. 2 nejsou žádné další zvláštnosti a po dokoupení několika drobností je můžeme snadno postavit. Pracovní bod tranzistoru nastavíme trimrem R_2 , který potom můžeme nahradit pevným odporem odpovídající velikosti. V zapojení na obr. 3 je ještě jedna nová součástka – vysokofrekvenční transformátor T_r . Navineme jej do libovolného hrnčíkového jádra (feritové nebo ferokartové). Primární vinutí (zapojené v přívodu kolektoru) má 100 závitů, sekundární vinutí 300 závitů. Protože jde o transformátor neladěný, nejsou tyto údaje kritické. Transformátor na



Obr. 3. Reflexní přijímač

vymeneme vysokofrekvenčním lankem nebo tenkým lakovaným drátem. Po sestavení slepíme obě poloviny hrnčíkového jádra vhodným lepidlem.

Do bodů označených „výstup“ můžeme v obou případech pripojit přímo sluchátko, nebo můžeme bod propojit se vstupem některého z dříve popsaných nízkofrekvenčních zesilovačů.

Oba přijímače napájíme napětím 4,5 V.

Které součástky přikoupíme?

38. kondenzátor 1 nF	(cena asi 1,50 Kčs)
39. germaniová dioda GA206	(cena asi 2,40 Kčs)
40. odpor 0,27 MΩ/0,05 W	(cena 0,40 Kčs)
41. odpor 2,2 kΩ/0,05 W	(cena 0,40 Kčs)
42. hrnčíkové jádro	(cena do 8 Kčs)
43. kostřička do hrnčíkového jádra	(cena asi 1 Kčs)

* * *

Černobílou obrazovku VA31-376W s tenkým krkem pro přenosné televizní přijímače vyvinula firma ITT Standard Elektrik Lorenz. Má úhlopříčku stínítka 31 cm, vychylací úhel ve směru úhlopříčky 110°, elektrostatickou fokusaci a protiimplózní ochranu. Při poměru stran 3 : 4 má celkovou délku jen 229 mm. Tenký krk obrazovky dovoluje ve srovnání s jinými obrazovkami stejné velikosti zmenšit potřebný vychylací výkon.

Podle podkladů ITT SEL

Sz

* * *

Vysokonapěťové křemíkové usměrňovače s krátkou dobou zotavení v pouzdrech s rozměry 11 × 2,8 × 2,8 mm s axiálními vývody, závěrným napětím 3 000 až 10 000 V a usměrňeným proudem 25 mA vyrábí Electronic Devices Inc. Usměrňovače mají lavinovou charakteristiku, max. doba zotavení v závěrném směru je 300 ns. Sz

MĚŘIČ RYCHLOSTI OTÁČENÍ

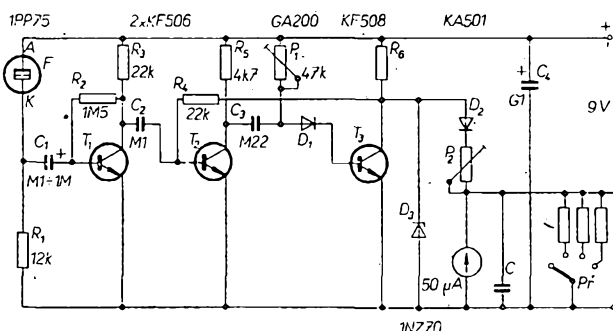
Dr. Ludvík Kellner

Mnohdy potřebujeme zjistit rychlosť otáčení motoru nebo jiného zařízení, k němuž nemůžeme připojit mechanický otáčkoměr buďto z montážních důvodů nebo proto, že motor má tak malý výkon, že by mechanický otáčkoměr „neutáhl“. V takových případech se uplatní bezkontaktní měřič rychlosti otáčení, pracující na principu fotoelektrického jevu.

Jedinou podmínkou měření je, aby na hřídel motoru bylo možné připevnit papírový kotouč; jde-li o hřídel většího průměru, je možné jej natřít na černo a přilepit na něj staniolový proužek. Kotouč může být z černého papíru. Asi jedna třetina může být bílá nebo polepená staniolem, popřípadě mít někde blízko okraje otvor, jímž může procházet světlo malé žárovky. Otácející se kotouč nebo hřídel osvětlíme žárovkou z kapesní svítítly, která je napájena stejnosměrným napětím, přitom však na odrazovou plošku nesmí svítit žárovka nebo jiný světelný zdroj napájený ze sítě. Lesklý pás při každém otocení hřídele odráží světlo, které dopadá na

VARZONSTRUKCE '70 z konkursu

překlápi v rytmu světla dopadajícího na fotonku. Dioda D_1 usměrňuje a třetí tranzistor je zesiluje, proto má mít velké proudové zesílení. Přes křemíkovou diodu D_2 se na měřidlo dostává stejnosměrný proud, který je přímo úměrný rychlosti otáčení. Stupnice měřidla je proto lineární. V případě nutnosti (kdyby se ruka měřidla chvěla) je možné zapojit paralelně s měřidlem kon-



Obr. 1. Zapojení měřiče rychlosti otáčení

denzátor označený ve schématu C (kapacita 0,1 až 1 μF).

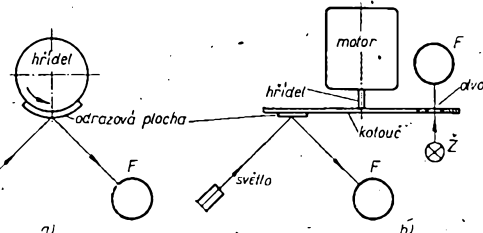
V zapojení (obr. 1) je použita křemíková fotonka 1PP75. Byly vyzkoušeny germaniové fotoelektrické prvky, ty však mají podstatně menší citlivost. Fotonka je umístěna v trubičce a před ní je čočka s ohniskovou vzdáleností asi 20 mm. Vzdálenost diody od čočky upravíme tak, aby při stejné vzdálenosti od světelného zdroje vyvolal proud fotonkou na měřidle největší výchylku ručky. V této poloze pak fotonku upevníme. T_1 až T_3 jsou křemíkové tranzistory, T_1 a T_2 stačí i s menším zesílením (kolem 50), třetí tranzistor má mít zesílení alespoň 150 až 200 (KF508 nebo některý typ z řady KC, popř. KFY). D_1 může být germaniová dioda, D_2 však musí být křemíková, jinak by ručka měřidla v klidovém stavu ukazovala určitou výchylku.

Sestava přístroje

Celý přístroj je sestaven na desce s plošnými spoji (obr. 2) o rozměrech 105 × 70 mm (podle krabice, která byla po ruce). Ke krabici je upevněno měřidlo DHR5 s citlivostí 50 μA . Destička se součástkami je příšroubována na vývody měřidla. Fotonka je připojena k přístroji konektorem. Přístroj se napájí z tužkových baterií, odběr je 7 až 8 mA.

Cejchování přístroje

Nejjednodušší je použít k cejchování napětí síťového kmitočtu 50 Hz. To

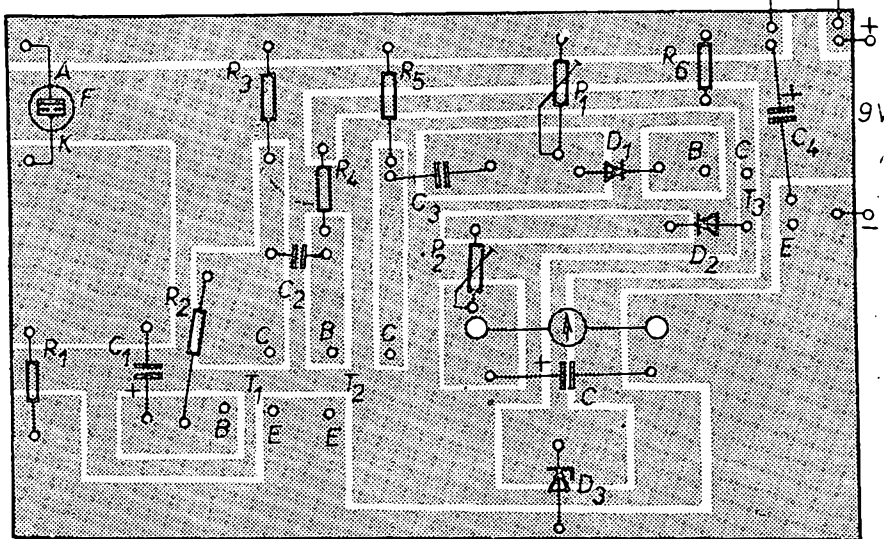


Obr. 3. Možné způsoby měření. Odrazová plocha je na hřídeli (a) nebo na kotouči, který je připevněn na hřídeli (b)

fotonku. Tímto způsobem měříme vlastně kmitočet, který převádíme na stupnice měřidla na rychlosť otáčení, takže počet otáček za minutu čteme přímo na měřidle.

Popis zapojení

První dva tranzistory jsou zapojeny jako monostabilní klopový obvod, který



Obr. 2. Deska s plošnými spoji měřiče rychlosti otáčení (Smaragd E71)

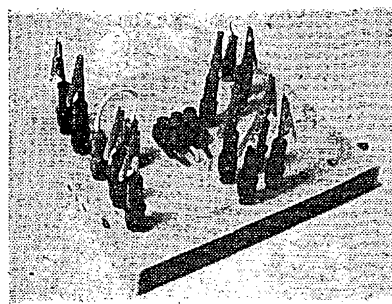
znamená, že malá žárovka napájená ze sítě se za vteřinu rozsvěcuje a zhasíná stokrát, za minutu 6 000krát; to odpovídá motoru, který má rychlosť otáčení 6 000 ot/min. Usměrníme-li střídavé napětí jednocestně diodou, má ručka měřidla ukázat poloviční výchylku, protože kmitočet měřeného signálu se zmenšíl na polovinu – to odpovídá motoru s rychlosťí otáčení 3 000 ot/min. Přístroj má čtyři rozsahy: 2 500, 5 000, 10 000 a 20 000 ot/min. K přepínání rozsahů potřebujeme přepínač, který v první poloze ponechá citlivost měřidla na původním rozsahu, tj. 50 μA , ve druhé ji upraví na 100 μA , ve třetí na 200 μA a ve čtvrté na 400 μA . Přístroj DHR5, 50 μA , má R_1 asi 3 100 Ω (je různý u různých přístrojů). Počítáním vychází bočník $(R_x = \frac{R_1}{n-1})$, (kde

R_x je bočník, R_1 je vnitřní odpor měřidla a n poměr požadovaného rozsahu k původnímu pro druhý rozsah asi $3,1 \text{ k}\Omega$, pro třetí $1,55 \text{ k}\Omega$ a pro čtvrtý 770Ω . V praxi ocejchujeme měřidlo nejlépe tak, že napětím z ploché baterie přes potenciometr asi $50 \text{ k}\Omega$ nastavíme plnou výchylku ručky měřidla a připojením různých odporů podle výpočtu vybereme ten, při němž se výchylka ručky měřidla změní přesně na polo-

vinu. Stejným postupem nastavíme bočníky i pro další rozsahy.

Cejchujeme sítovým napětím na třetím rozsahu, kde výchylka ručky $30 \mu\text{A}$ znamená $6000 \text{ ot}/\text{min}.$, $15 \mu\text{A}$ $3000 \text{ ot}/\text{min}.$ Tyto údaje nastavíme odporyvými trimry P_1 a P_2 . U ostatních rozsahů je přesnost závislá na přesnosti odporu bočníků.

Možné způsoby měření rychlosti otáčení jsou na obr. 3.



Obr. 3. Panel s příchytkami a kablíky

ZKUŠEBNÍ PANEL

Ing. Miroslav Polehradský

V amatérské i profesionální praxi jsme často postaveni před úkol rychle realizovat a vyzkoušet nějaké zapojení. Většinou se postupuje tak, že se jednotlivé součástky pájejí. Článek popisuje způsob nevyžadující pájení, který je ušák rychlý a přitom spolehlivý.

Použití přípravku

Sestavovat zkusební zapojení s tranzistory ve formě tzv. „vrabčího hnizda“ pomocí páječky není tím nevhodnějším způsobem. Pájení vyžaduje vždy určitý čas, tím delší, čím více jsou znečištěny přívody součástek. Ukáže-li se při proměrování vzorku, že je třeba vyměnit některou součástku, je nutno ji opět odpájet a připájet součástku jinou. Navíc tato metoda znamená

veň zapojuji do obvodu příchytkami, zhotovenými sesazením banánků a kroksvorek. Banánky jsou s kroksvorkami pevně spojeny a zasouvají se do zdírek. Součástky mají spolehlivý kontakt, studeně spoje se nevyskytuji. K přípravku patří ještě sada kratších a delších propojovacích kablíků. Osazení destičky (panelu) součástkami je velmi rychlé. Sestavení např. jednoduchého zesilovače trvá jen 2 až 3 minuty, máme-li ovšem připraveny všechny potřebné součástky. Přitom páječku vůbec nepotřebujeme a případná výměna součástky je otázka několika vteřin.

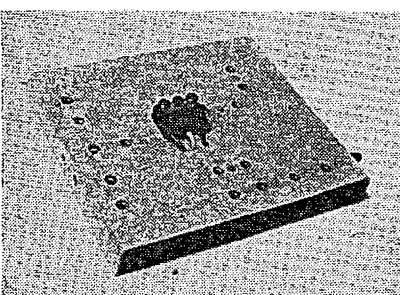
Náklad na takový zkusební panel není velký a jeho sestavení se vyplatí všem, kdo častěji laborují s různými zapojeními. Zkusební panel je velmi vhodný i k demonstračním účelům při vyučování apod. Přípravek je prakticky nezničitelný. Sám ho používám již několik let a ještě se mi nevyskytl žádná závada. Nemá se tu ostatně co pokazit.

Destičku používám vždy tehdy, chci-li vyzkoušet funkci nějakého nového zapojení, nebo zkouším-li tranzistory. Pracujeme-li podle schématu, musíme většinou použít poněkud jiné součástky než použil autor zapojení. Je to skutečnost daná rozdílností tranzistorů. Proto je třeba laborovat, zkoušet, měnit součástky, měřit napětí a proudy. Konstrukci přípravku je právě toto vše velmi usnadněno. Libovolnou větev zapojení lze snadno rozpojit a zařadit do ní měřicí přístroj. Navíc je zajištěna dokonalá přehlednost. Přípravek můžeme použít při zkoušení zesilovačů, oscilátorů (jak nízkofrekvenčních tak vysokofrekvenčních) atd., prostě pro vyzkoušení libovolných zapojení. Připevníme součástky, zasuneme propojovací kablíky a zapojení můžeme zkoušet... Výhodné je i použití přípravku při zkoušení tranzistorů nebo diod.

Uvádím takovou úpravu panelu, která se mi během let osvědčila. Vhodné by bylo, doplnit přípravek o sadu proměnných odporů nebo o cejchované potenciometry. Tím by se práce ještě zrychlila.

Popis a konstrukce zkusebního panelu

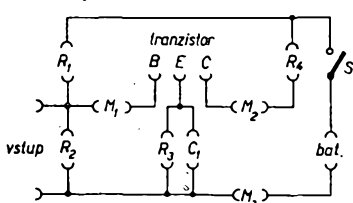
Základem celého přípravku je novodurová miska pro fotografické práce formátu $13 \times 18 \text{ cm}$. Na ni se pohodlně vejdu potřebné zdírky a součástky pro zapojení s jedním tranzistorem (obr. 1).



Obr. 1. Zkusební panel pro jeden tranzistor

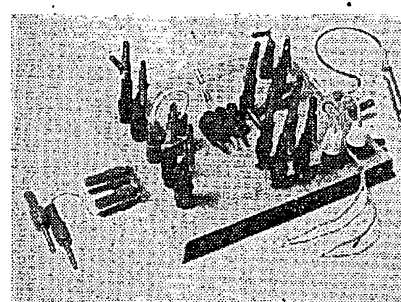
nebezpečí pro tranzistory – pájením je můžeme poškodit.

Hledal jsem proto jiný, méně pracný způsob, jak sestavovat zkusební vzorky osazené tranzistory. Nakonec jsem sestavil přípravek, jakýsi zkusební panel, který tento problém vyřešil jednou provždy. Tranzistor se připevní na panel pomocí lámací svorkovnice a ostatní součástky se připevňují a záro-



Obr. 2. Zapojení zkusebního panelu pro jeden tranzistor.

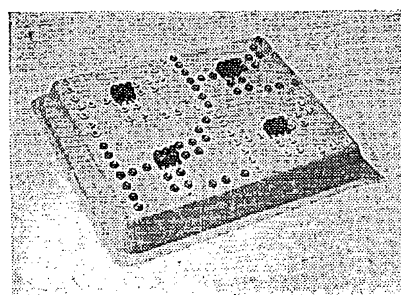
R_1 , R_2 dělič v napájení báze; R_3 , C_1 prvky v obvodu emitoru; R_4 zatěžovací kolektorový odpor; M_1 , M_2 , M_3 zdírky pro připojení měřicích přístrojů



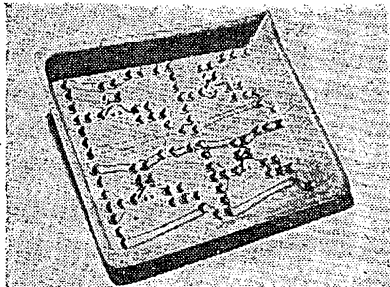
Obr. 4. Nf zesilovací stupeň na zkusebním panelu

kontrole odběru proudu. Zesílený signál lze odvádět kablíky s kroksvorkami.

Pro složitější zapojení s více tranzistory je třeba použít větší misku. Používám misku pro formát $24 \times 30 \text{ cm}$, která svými rozměry postačí pro zapojení se čtyřmi tranzistory. Jsou to čtyři samostatné celky na jednom panelu a je možno použít buď všechny, nebo jen část (obr. 5). Misce jsem po délce rozpůlil, takže mohu poloviny používat samostatně – vždy pro dva a dva tranzistory. Propojení zdírek na rubu panelu (tj. uvnitř misky) je na obr. 6. Tim, že miska je obrácena dnem vzhůru, se



Obr. 5. Zkusební panel pro zapojení se čtyřimi tranzistory



Obr. 6. Propojení zdírek panelu na obr. 5

dosáhlo toho, že se zdírky nedotýkají podložky.

K výrobě panelu lze použít i jiný materiál než misku, např. pertinax nebo překližku. Destičku (panel) musíme však opatřit nožkami, abychom dosáhli odstupu zdírek od podložky. Misku pro fotografické práce však pokládám za nejvhodnější. Konstrukce by mohla být stěsnanější, ale volil jsem raději větší vzdálenost mezi zdírkami pro lepší přehlednost a pohodlnější připojování součástek.

Príslušenství panelu

Nezbytným príslušenstvím jsou příchytky a kablíky. Příchytky získáme sesazením banánu a krokovorky takto: na krokovorku připájíme asi 3 cm kablíku, případně tlustšího drátu. Krokovorku zasuneme do banánu, drát připájíme druhým koncem do banánu a přisroubujeme dotykovou část banánu. Tato příchytku je praktická i v jiných případech. Kablíky není třeba popisovat. Používám dva druhy: kratší, asi 6 cm, a delší, asi 30 až 50 cm.

Práce s panelem

Po přichycení tranzistoru do lámací svorkovnice zasuneme příchytky do príslušných zdírek, připojíme kablíky, součástky, měřicí přístroje a zdroj, načež lze začít s laborováním. Celý postup je jednoduchý a rychlý, zabírá jen chybám. Neztrácí přehlednost ani při použití několika tranzistorů, protože zapojování respektuje systém kreslení schémat. Výhodou přípravku je i to, že realizované zapojení můžeme přenášet, aniž by se nám nečekaně rozpadlo. Při použití objímky lze přípravku použít i pro zkoušení obvodů s elektronikou.

Pořizovací cena jednoduchého panelu s príslušenstvím je asi 50 Kčs a tato malá investice se každému určitě vyplatí.

* * *

V dnech 18. až 20. června proběhlo setkání mládeže Šumavy v Sušici, odkud vysílala propagačně OK5KBI/p - QRA: GJ68 se značením Z-styl.

-OK1CIJ-

PŘIJÍMAČE S KŘEMÍKOVÝMI TRANZISTORY

Jaroslav Jergon

Touhou každého začínajícího radioamatéra, který již postavil nějakou složitější krystalku nebo reflexní přijímač, je postavit si jednoduchý, ale výkonné přijímač, při jehož stavbě by se obešel bez těžko dostupných a těžko zhotovitelných součástek, jako jsou např. mezifrekvenční transformátory.

Tyto přijímače jsou ve výšce dílu a základě i v ní dílu osazeny křemíkovými tranzistory, které mají velké proudové zesílení a malý šum. Jejich cena je přibližně stejná jako např. cena výf. tranzistoru OC170. Přijímače se dají postavit jako malé přenosné, nebo jako stolní přijímače při použití výf. zesilovače o větším výkonu (při vestavění do větší skřínky).

Přijímač podle obr. 1.

Výf. díl přijímače podle obr. 1 je osazen dvěma tranzistory KC508. Ladící kondenzátor má kapacitu 380 pF. Cívka L₁ je vinuta na kulaté feritové jádro a má 70 závitů. Cívka L₂ má 7 závitů. Obě cívky jsou nainutu drátem o Ø 0,3 mm nebo výf. lankem. Pro příjem stanice Hvězda se připíná paralelně k ladícímu kondenzátoru kondenzátor 1 200 pF, nejlépe keramický.

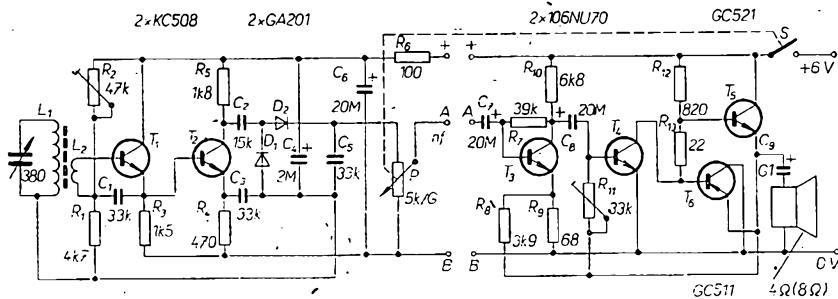
Níz. díl přijímače je osazen germaniovými tranzistory 2 × 106NU70 (nebo 107NU70), tranzistory koncového zesilovače jsou doplňkové, samozřejmě

B-B atd.). Přijímač by měl pracovat na první zapojení.

Přijímač podle obr. 2.

Tento přijímač je osazen čtyřmi tranzistory KC508, což se opravdu vyplati. Dá se postavit i jako miniatura.

Výf. díl je osazen třemi tranzistory KC508 pro dosažení většího výf. ze záření. Laděný obvod se dá upravit tak, aby se pro příjem stanice Hvězda nemusel použít přepínač, který zabere hodně místa; musíme se však spokojit se zkrácením středovlnného pásmá od stanice Brno směrem k vyšším kmitočtům.



Obr. 1.

párováné (GC521, GC511). Níz. výkon zesilovače je při zátěži 4 Ω asi 180 mW, což postačí pro přijímač střední výkony. Přijímač se napájí ze čtyř monochlánků napětím 6 V, filtrovaným elektrolytickým kondenzátorem 100 μF (v obr. 1 není zakreslen).

Skříňku o rozměrech asi jako má přijímač Doris lze snadno zhotovit z plastických hmot.

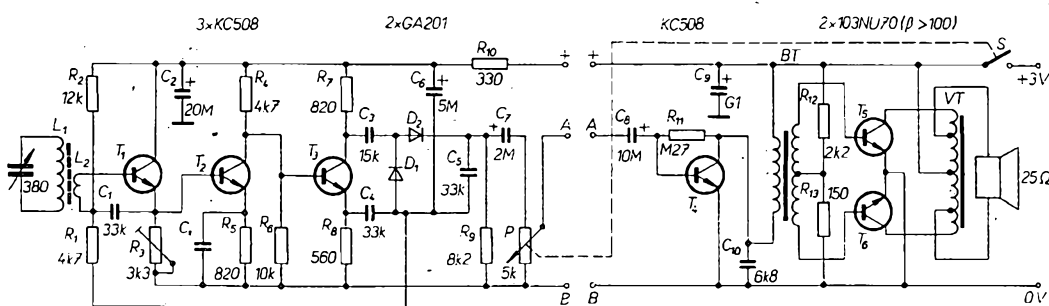
Při uvádění do chodu zapojíme nejdříve výf. díl a vyzkoušme jej s pomocným níz. zesilovačem, např. se zesilovačem běžného rozhlasového přijímače apod. Odporník trimrem 47 kΩ nastavíme optimální pracovní bod prvního tranzistoru. Trimr po změření nastaveného odporu můžeme vyměnit za pevný odpor.

Potom postavíme níz. část přijímače a propojíme odpovídající body (A-A', B-B').

V tomto případě má cívka L₁ 150 závitů drátu o Ø 0,3 mm CuL a cívka L₂ 15 závitů drátu o Ø 0,3 mm CuL. Ladící kondenzátor má kapacitu 380 pF. S takto upraveným laděným obvodem se dají na přijímač zachytit ve dne stanice Brno, Praha, Vídeň a při zavřeném kondenzátoru stanice Hvězda, což pro miniatura přijímač postačí.

Níz. zesilovač je z přijímače Dana nebo Iris, neboť pro dosažení miniaturních rozměrů se přijímač napájí jen ze dvou tužkových článků. V tomto případě je třeba pro optimální účinnost volit zapojení níz. zesilovače s transformátorovou vazbou.

Změna je jen v tom, že jsem pro dosažení větší citlivosti níz. zesilovače použil na vstupu níz. zesilovače tranzistor KC508, jehož proudový zesilovací činitel β musí být větší než 350. Budící a vý-



Obr. 2.

stupní transformátor jsou rovněž z přijímače Dana nebo Iris, stejně dobře však poslouží i podobné miniaturní transformátory. Miniaturní reproduktor má impedanci 25Ω .

Celý přijímač je umístěn v krabičce od přijímače Zuzana, která je k dostání ve výprodeji.

Při uvádění do chodu nastavíme odporový trimr $3,3 \text{ k}\Omega$ tak, aby měl první tranzistor největší zesílení. Trimr můžeme po změně nahradit pevným odporem. Kondenzátor C_x v emitoru T_2 volime v rozmezí 470 až 1 000 pF tak, aby zesilovaný signál nebyl zkreslován. Přijímač pracuje při použití dobrých součástek na první zapojení a hodi se zvláště pro ty, kdo mají rádi hudební pořady pro mladé atd.

Rozpiska součástek

Přijímač z obr. 1.

Tranzistory a diody

T_1, T_3	KC508
T_2, T_4	103NU70
T_5, T_6	GC521, GC511
D_1, D_3	GA201

Odpory

R_1	4,7 k Ω
R_2	47 k Ω , odporn. trimr
R_3	1,5 k Ω
R_4	470 Ω
R_5	1,8 k Ω
R_6	100 Ω
R_7	39 k Ω
R_8	3,9 k Ω
R_9	68 Ω
R_{10}	6,8 k Ω
R_{11}	33 k Ω , odporn. trimr
R_{12}	820 Ω
R_{13}	22 Ω

Kondenzátory

C_1, C_2, C_3	33 nF, keram. polštárek
C_4	15 nF, keram. polštárek
C_5	2 $\mu\text{F}/6 \text{ V}$, elektrolyt.
C_6, C_7, C_8	20 $\mu\text{F}/6 \text{ V}$, elektrolyt.
C_9	100 $\mu\text{F}/6 \text{ V}$, elektrolyt.

Ostatní součásti

Ladicí kondenzátor 380 pF.
Knofíkový potenciometr P 5 k Ω/G .
Reprodukтор ARZ081.

Přijímač z obr. 2.

Tranzistory a diody

T_1, T_3, T_5, T_6	KC508
T_2, T_4	103NU70 : páry, $\beta > 100$
D_1, D_3	GA201

Odpory

R_1, R_4	4,7 k Ω
R_2	12 k Ω
R_3	3,3 k Ω , odporn. trimr
R_5, R_7	820 Ω
R_6	10 k Ω
R_8	560 Ω
R_9	8,2 k Ω
R_{10}	330 Ω
R_{11}	0,27 M Ω

Kondenzátory

C_1, C_4, C_5	33 nF, keram. polštárek
C_2	50 $\mu\text{F}/6 \text{ V}$, elektrolyt.
C_3	15 nF, keram. polštárek
C_6	5 $\mu\text{F}/6 \text{ V}$, elektrolyt.
C_7	2 $\mu\text{F}/6 \text{ V}$, elektrolyt.
C_8	10 $\mu\text{F}/6 \text{ V}$, elektrolyt.
C_9	100 $\mu\text{F}/6 \text{ V}$, elektrolyt.
C_{10}	470 pF až 1 nF, kerám.

Ostatní součásti

P - knofíkový potenciometr 5 k Ω/G .
 BT, VT - budící a výstupní transformátor z přijímače Iris nebo Dana.
Ladicí kondenzátor 380 pF.
Reprodukтор ARZ095.

* * *

Sérii ladicích diod pro pásmo UKV a VKV v miniaturním provedení dodává MSI Electronics Inc. pod označením SQ121A až SQ123A. Diody mají kapacitu již od 1,2 pF (při $Q = 1\,500$, měřeném při napětí -4 V na kmitočtu 50 MHz). Mezní závěrné napětí diod je 30 V. Sž

Podle firemních podkladů



Ing. Kristián Bílý

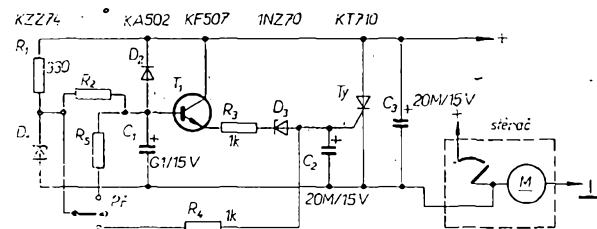
Při slabém dešti nebo mrholení je zbytečné, aby stěrače běžely na plný výkon, neboť k zajištění dobré viditelnosti stačí setřít dešťové kapky jednou za určitý čas. Proto se do nových automobilů běžně montují časové spínače k ovládání stěračů a v literatuře se objevují stále nová zapojení těchto spínačů. K ovládání motoru stěrače se používají tyristory, výkonové tranzistory nebo relé. Každý z těchto prvků má své výhody i nevýhody.

Zapojení s tyristory jsou nejmodernější, tichá a spolehlivá. Proud tekoucí tyristorem se přerušíme zkratováním spínacího obvodu pomocným kontaktem, který zajišťuje doběh stěrače při jeho vypnutí mimo základní (výchozí) polohu. Nevhodou tyristorových zapojení je právě tento způsob navracení do výchozího stavu; tyristory nemohou být použity u stěračů, které tento doběhový kontakt nemají, a kromě toho nelze tyristorovým spínačem realizovat dvojí pohyb stěrače během jednoho časového intervalu.

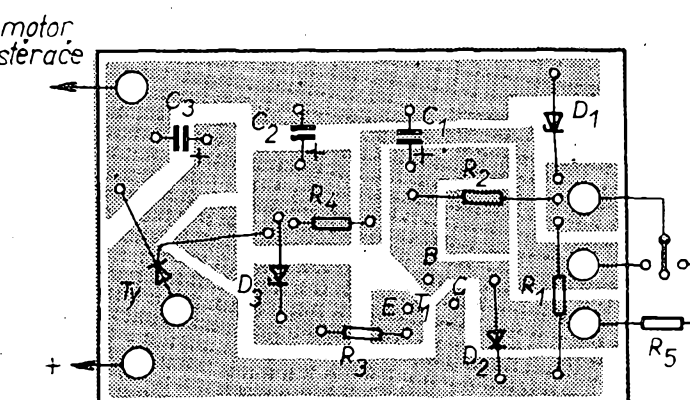
Tuto nevhodu odstraňuje časový spínač s tranzistorem nebo relé. U těchto spínačů lze nastavit dobu, po kterou je spínač sepnut, a tím uskutečnit

výhodou relé je však možnost kontakto-vých kombinací. Důležitost tohoto faktu lze dokumentovat poukazem na některé vozy zn. Fiat, v nichž k ovládání motoru stěrače slouží prepínač, nikoli spínač. V poloze „zapnuto“ je připojeno vinutí motoru ke zdroji, v poloze „vypnuto“ se připojuje brzdové vinutí. Používáme-li k ovládání motoru prvek, který umožňuje jen sepnutí (tranzistor nebo tyristor), není při doběhu stěračů do krajní polohy připojeno brzdové vinutí a stěrače překmitnou. Toto překmitnou může být u dobré vyvážených motorů tak velké, že se motor znova „chytí“ na doběhový kontakt a časový spínač přestává plnit svoji funkci.

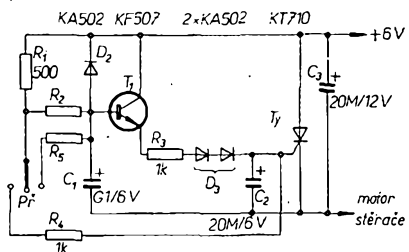
Možnost využití dalšího spínacího



Obr. 1. Schéma spínače s tyristorem



Obr. 2. Deska s plošnými spoji pro zapojení z obr. 1 (Smaragd E72). Elektrolytické kondenzátory jsou typu TC942 a TC943. Dve prázdné plošky slouží k připájení uchycovacích šroubů



Obr. 3. Zapojení z obr. 1 pro vozy s palubní sítí 6 V

úsek se sklo automaticky ostříkne a setře. Ostříkovač ovšem musíme připojit přes zvláštní spínač, abychom jej mohli vyřadit z provozu, je-li jeho funkce nežádoucí.

Volba doby sepnutí a spínacích intervalů

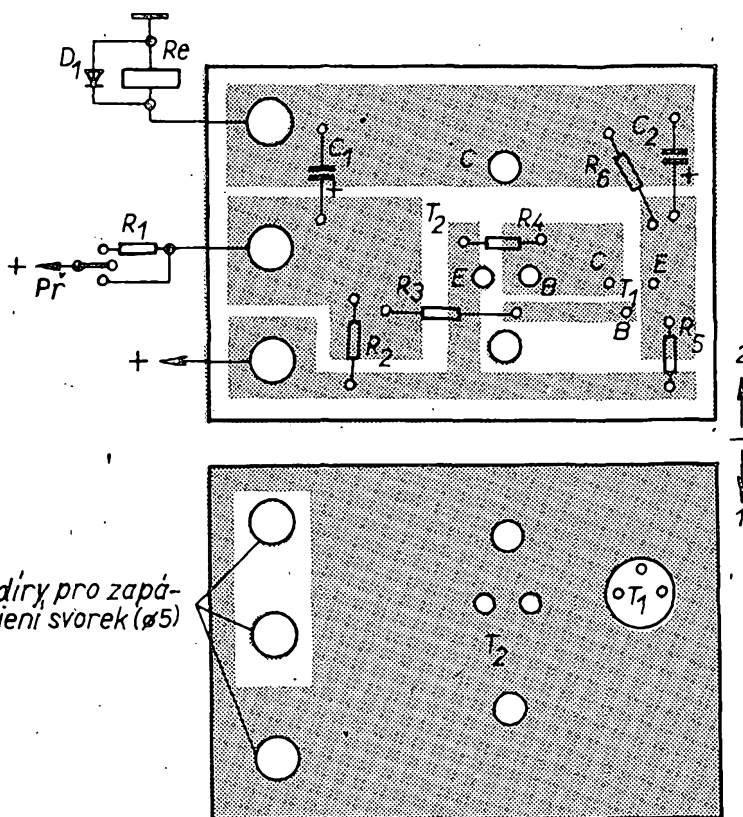
Doba, po kterou má být spínač sepnut (s výjimkou zapojení s tyristorem), závisí na tom, požadujeme-li jednoduché nebo opakování setření skla v jednom časovém intervalu. Při jednoduchém setření stačí, aby byl spínač sepnut tak dlouho, než se stěrač „chytí“ přes vlastní kontakt. Při opakovém setření je třeba překlenout navíc ještě dobu jednoho kyvu raménka stěrače. Doba kyvu bývá zpravidla asi 1 vteřina. Při návrhu spínače s relé, které bude ovládat i elektrický ostříkovač skel, musíme volit dobu sepnutí spínače maximálně jako polovinu doby kyvu raménka, aby ostříkovač znovu nepostříkal již setřené sklo při zpětném kyvu stěračů.

Názory o délkách spínacích intervalů a jejich počtu se značně liší. Mnozí autori používají sedmi- a vícepolohové přepínače nebo dokonce potenciometry. Má však pochybnosti o tom, má-li automobilista za jízdy čas a náladu na přesné „vyladenování“ délky intervalu. Po konzultacích s majiteli vozů, které jsou spínači vybaveny, jsem dospěl k názoru, že pro dobrou funkci stačí tři polohy: trvale sepnuto - 2 až 4 s - 10 až 15 s. Tři polohy jsem zvolil proto, že umožňují použít k ovládání spínače běžný přepínač směrových světel, který nepůsobí v interiéru vozu rušivě.

Spínač s tyristorem

Základní schéma spínače s tyristorem je na obr. 1.

Obvod je napájen z kladného pólů baterie a záporný pól je připojen přes motor stěrače. U vozů s uzemněným kladným pólem je třeba připojit spínač obráceně, tj. záporný pól na baterii a kladný pól přes motor stěrače. Ze stabilizovaného zdroje napětí (odpor R₁ a dioda D₁) se nabíjí přes odpor R₂, popř. R₂ a R₅ kondenzátor C₁. Na bázi tranzistoru T₁ se objeví kladné napětí



Obr. 5. Deska s plošnými spoji pro zapojení z obr. 4 (oboustranně plátovaný cuprexit). Transistory se do desky vloží ze strany 1, svorky rovněž ze strany 1, pájejí se ze strany 2. Všechny součástky jsou na desku přiloženy a pájeny ze strany 2. Tloušťka destičky je 1,5 mm

a tranzistor T₁ se otevře. V okamžiku, kdy napětí na emitoru bude větší než Zenerovo napětí diody D₃, nabije se kondenzátor C₂ kladným napětím, které přes řídící elektrodu otevře tyristor T_y. Kladné napětí z baterie se dostane na motor stěrače. Při chodu stěrače se zapojí doběhový kontakt, který nápájí motor stěrače, a současně zkratuje obvod spínače. Na tyristoru se zmenší napětí a tyristor nepovede. Současně se přes diodu D₂ vybije kondenzátor C₁ a obvod se uvede do výchozího stavu. Kondenzátor C₃ potlačuje špičky při rozpínání doběhového kontaktu.

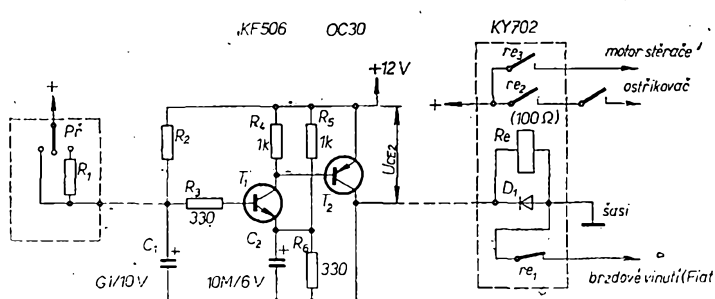
Casová konstanta obvodu je dána napětím na diodě D₁, odporem, přes který se nabíjí kondenzátor C₁ a kapacitou kondenzátoru C₂. Při použití přepínače směrovek (P_f) k ovládání časového spínače se odpor R₂ volí pro nejdélší spínací čas (střední poloha spínače), odpor R₅ zmenší odpor R₂ paralelním připojením přes jednu polohu přepínače, v druhé krajní poloze připínáme kladné napětí přímo na tyristor a obvod je pak trvale sepnut pro stálý provoz stěrače.

Diódou D₁ můžeme v zapojení vynechat; odpor R₁, v tom případě zvětšíme

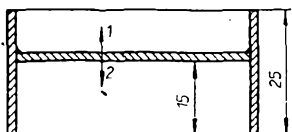
asi na 1 kΩ. Časová konstanta spínače je však potom značně závislá na napětí baterie – při větším napětí se interval spínání zkraje až o 50 %. Tohoto jinak nežádoucího jevu je však možné využít, neboť větší napětí v palubní síti závisí na rychlosti vozidla a při větší rychlosti je hustota kapek dopadajících na čelní sklo větší. Časovou konstantu pak můžeme zvolit trochu delší. Přesné hodnoty odporu R₂ a R₅ je nejlépe určit zkusmo pomocí potenciometru nebo trimru asi 50 kΩ.

Jako tyristor T_y lze použít i typ KT501. Tento typ tyristoru má povolený proud v impulsu max. 15 A, což je přibližně záběrový proud většiny běžných stěračových motorů. Využitím maximálního přípustného proudu tyristoru se však značně zmenšuje spolehlivost součástky a při případné poruše doběhového kontaktu dojde zcela určitě ke zničení tyristoru. Je proto výhodnější použít typ KT710 pro proud 3 A. Pokud tyristor nebude spínat, je třeba nahradit Zenerovu diodu D₃ typem s menším Zenerovým napětím, nebo ji nahradit diodou KY721 (nebo i diodou KA502, popř. dvěma v sérii), polarizovanou v propustném směru. Pro tyristor KT710 je navržena i deska s plošnými spoji (Obr. 2). Svorky pro kabely jsou zhotoveny z lámací svorkovnic vyjmoutelným svorek, přežíznutím v polovině a zapojením do obvodu.

Pro vozy s akumulátorem 6 V nelze použít stabilizaci napájecího napětí, neboť na našem trhu nejsou Zenerovy diody s pracovním napětím 5 V. Protože u sítě 6 V potřebujeme k dosažení stejněho výkonu motorku stěrače dvoj-



Obr. 4. Schéma spínače s relé



Obr. 6. Krabička pro spínač s relé – materiál cuprexit fólií dovnitř

násobný proud, musíme bezpodmínečně použít tyristor pro proud min. 3 A (KT710). Spouštěcí impuls se získává přes jednu nebo dvě diody KY721 (KA502), zapojené do série v propustném směru (obr. 3).

Obvod na desce s plošnými spoji lze vestavět do jakékoli krabičky. Chlazení součástek není nutné, neboť výkonový prvek – tyristor – je v provozu jen po velmi krátkou dobu (než sepné doběhový spínač).

Spínače pro stěrače s relé

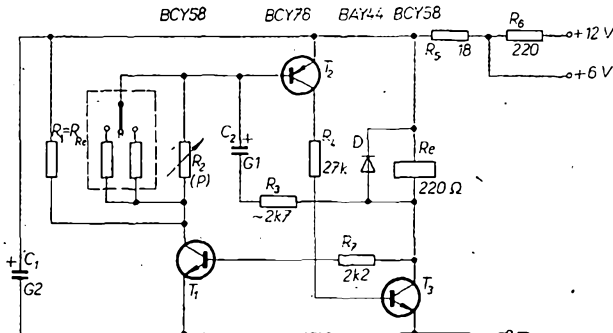
Na obr. 4 je schéma reléového spínače pro motorek stěrače. Při připojení spínače na napětí baterie jsou oba tranzistory zavřeny, neboť kondenzátor C_1 není nabit a úbytek napětí na odporu R_1 , popř. R_2 zavírá tranzistor T_1 . Tím je uzávřen také tranzistor T_2 , který má bází připojenou na napětí emitoru přes odpory R_4 . Kondenzátor C_2 je připojen na dělič napětí, který tvoří odpory R_5 , R_6 ; nabíjí se na napětí asi 2,6 V v krátkém čase, který neovlivňuje časovou konstantu spínače.

Tranzistor T_1 se dostává do vodivého stavu, nabije-li se kondenzátor C_1 na napětí kondenzátoru C_2 + napětí diody emitor-báze T_1 v propustném směru, tj. asi na 2,6 + 0,7 V. Jakmile se tranzistor T_1 otevře, propoji se dělič napětí R_4 , R_6 a na bázi tranzistoru T_2 se objeví předpětí, které jej otevře.

Jakmile se otevře tranzistor T_2 , sepné relé a napětí baterie se rozdělí na úbytek na relé a zbytkové napětí na tranzistoru T_2 , které je současně napájecím napětím celého zapojení. Kondenzátor C_1 udržuje tranzistor T_1 a tedy i T_2 v sepnutém stavu a vybíjí se přes odpór R_3 . Dosáhne-li napětí na kondenzátoru asi 0,7 V, tranzistor T_1 a tím i T_2 se uzavřou, kota relé odpadne a v obvodu spínače bude opět napětí baterie; spínač je opět ve výchozím stavu.

Z funkce zapojení vyplývá význam jednotlivých prvků. Kapacita kondenzátoru C_1 a odpory R_1 , R_2 , R_5 a R_6 určují časovou konstantu spínače, odpór R_3 a kapacita kondenzátoru C_1 vymezují dobu sepnutí. Podstatný vliv na časovou konstantu spínače však má odpór ovládacího relé (odpor relé a odpór tranzistoru T_2 v sepnutém stavu tvoří dělič napětí), který podstatně ovlivňuje napětí U_{CE2} obvodu v sepnutém stavu. Proto nemá být odpór relé v tomto zapojení menší než asi 70 Ω, neboť pak je velmi obtížné dosáhnout delších časových konstant, zejména delší doby přítahu relé v sepnutém stavu. Dioda D_1 působí jako ochrana proti špičkám napětí, vznikajícím při odpojení relé. Připojením kondenzátoru C_1 přímo na napětí zdroje se dosáhne trvalého sepnutí.

Obr. 7. Schéma spínače s křemíkovými tranzistory



Celý spínač se skládá ze tří částí, které je možné montovat odděleně a které jsou vzájemně propojeny jen jedním vodičem. Vlastní spínač je vestavěn v krabičce z cuprexitu, do níž je zapájena deska s plošnými spoji na oboustranném cuprexitu. Jedna strana desky je vyleptána, druhá slouží jako přidavný chladicí pro tranzistor OC30 (obr. 5). Výkonové zatížení tranzistoru závisí především na odporu relé – čím větší je odpór relé, tím je na tranzistoru menší zbytkové napětí a teče jím menší proud. Teplotní poměry zlepšuje přidavná chladicí plocha, kterou tvoří měděná fólie na druhé straně desky s plošnými spoji – pro spolehlivou funkci spínače není však nutná. Průřez krabičky je na obr. 6. Pokud nepoužijeme oboustranný cuprexit, rozměry se poněkud zvětší, neboť musíme kolem obrazce plošných spojů vytvořit pruh nevyleptané fólie o šířce min. 5 mm, sloužící k zapájení destičky do krabičky.

Relé umístíme blízko motoru stěrače (krátké přívody). Kontakty relé musí být dimenzovány na proud minimálně 5 A.

Jako přepínač P slouží opět přepínač směrové. Jedna svorka je připojena na kladný pól baterie v libovolném místě, druhá je jedním vodičem propojena se spínačem. Odpor R_1 , R_2 , R_3 a kapacita kondenzátoru C_1 je nejlépe volit zkusem; závisí na odporu relé. Informativní údaje pro relé 100 Ω: R_1 , R_2 do 50 kΩ, R_3 asi 300 Ω a C_1 100 μF/6 V.

Kolísání napětí palubní sítě ovlivňuje časovou konstantu spínače asi o ± 20 %.

Pro vozy s kladným polem na kostre není možné využít výhodného propojení jednotlivých částí jedním vodičem. Pro vozy s napětím 6 V není toto zapojení výhodné, neboť bude problematický poměr odporů relé a tranzistoru T_2 v sepnutém stavu. Přesto je možné vhodným nastavením děliče R_5 a R_6 a volbou relé (odpor cívky asi 50 Ω) dosáhnout dobrých výsledků.

Poněkud složitější je zapojení s křemíkovými tranzistory (obr. 7, [3]). Toto zapojení používá ke spinání relé s větším odporem a je vhodné především pro palubní síť 6 V.

Zdroj impulsů tvoří astabilní multivibrátor s komplementárními tranzistory T_2 a T_3 . Délka mezery mezi jednotlivými impulsy ovládá tranzistor T_1 . Při zapojení spínače na palubní síť se začne nabíjet kondenzátor C_2 – nabijecí proud otevře tranzistor T_2 a tím i tranzistor T_3 . Relé je připojeno na síť přes tranzistor T_3 a připojí motor stěrače. Tranzistor T_1 je uzavřen, neboť při sepnutém tranzistoru T_3 je na jeho bázi jen velmi malé napětí. Jakmile se kondenzátor C_2 nabije na dostatečné napětí, multivibrátor překlopí a kotva relé odpadne. Uzavře-li se tranzistor T_3 , zvětší se napětí na jeho kolektoru

a tím i na tranzistoru T_1 , který sepné. Kondenzátor C_2 se nyní začne vybíjet přes odpór R_2 (potenciometr P), R_3 a přechod kolektor-emitor tranzistoru T_1 . Jakmile je vybíjení skončeno, sepné opět tranzistor T_2 a celý cyklus se opakuje.

Délku doby, po kterou je tranzistor T_3 otevřen a relé v sepnutém stavu, lze nastavit volbou odporu R_3 . Mezeru mezi jednotlivými sepnutími nastavíme potenciometrem P (R_2) nebo přepínačem s odpory. I zde můžeme použít přepínač směrových světel; místo potenciometru připojíme odpor pro nejdélší mezeru mezi jednotlivými sepnutími, krajin polohy přepínače připínají paralelně odpory pro zkrácení délky mezery a trvalý provoz. Velikost odporu je opět nejlépe určit zkusem pomocí potenciometru 1 MΩ. Aby nedocházelo ke kolísání napěti v obvodu střídavým připojováním a odpojováním relé (zvláště je-li obvod použit pro palubní síť 12 V), je zapojení doplněno odporem R_1 , který má stejnou velikost jako odpor relé. Vede-li tranzistor T_3 , je T_1 uzavřen a naopak, takže obvod je zatízen neustále stejným odporem. Kondenzátor C_1 chrání obvod přes odpór R_5 (popř. R_6) před špičkami napětí z palubní sítě.

Komplementární dvojici tranzistorů BCY78 – BCY58 je možné beze změn v zapojení nahradit komplementární dvojici tranzistorů Tesla KFY16 – KFY34 (KF507 – KF517). Dioda BAY44 lze nahradit např. typem KY701.

Literatura

- [1] Koženář, S.: Elektronické ovládání stěračů. ST 1/1970.
- [2] Telefunken Taschenbuch 1969.
- [3] Siemens Halbleiter-Schaltbeispiele 1968.

* * *

Gunnovy diody GGY11 a GGY12, které se dosud používaly v přenosných měřicích rychlosti a vzdálosti při kontrole dopravy a v poplašných zařízeních, pracovaly s trvalým výkonem 5 a 10 mW. Výrobce AEG-Telefunken v Heilbronně nyní podstatně zlepšil jejich technické vlastnosti. Nově dodávané gallium-arsenidové Gunnovy diody mají ztrátový výkon 50 mW a jejich oscilační kmitočet je 18 GHz (pásmo Ku). Dioda GGY11 je určena pro kmitočtové pásmo 8,2 až 12,4 GHz, kde má výstupní výkon 20 mW, GGY12 má ve stejném pásmu výstupní výkon 50 mW. Nový typ GGY13 má výstupní výkon 20 mW v kmitočtovém pásmu 12,4 až 18 GHz. Doporučené provozní podmínky diod jsou v generátořech a místních oscilátořech v mikrovlnných vysílačích a přijímačích. Sž

Podle podkladů AEG-Telefunken

BAREVNA' HUDBA

Michal Eben

S tyristory se mi podařilo realizovat celkem jednoduché zapojení „barevné hudby“ se čtyřmi barevami. Žárovky nejsou umístěny v reflektorech, jak je to obvyklé, ale v kruhovém svítidle připevněném na zdi. Toto řešení poskytuje zajímavý hudebně-optický vjem, zejména je-li povrch svítidla z broušeného skla.

Technické údaje

Napájení: 220 V, 50 Hz.

Spotřeba: max. 50 W.

Vstupní impedance: asi 3 kΩ.

Osazení: KY701, 4 × KY722, GC508, 4 × GC509, 4 × KT501.

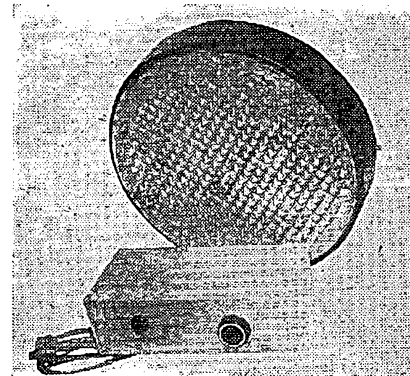
Popis činnosti

Nízkofrekvenční signál pro barevnou hudbu odebíráme z jakéhokoli zesilovače ze zásuvky pro vedlejší reproduktor. Ze vstupního konektoru přichází signál na potenciometr P_1 (obr. 1) a přes kondenzátor C_1 na bázi tranzistoru T_1 , který pracuje jako běžný zesilovací stupeň v zapojení se společným emitorem. Přes kondenzátor C_4 se zesílený signál odebírá z kolektoru T_1 a rozděluje se do tří kmitočtových pásem třemi členy RC .

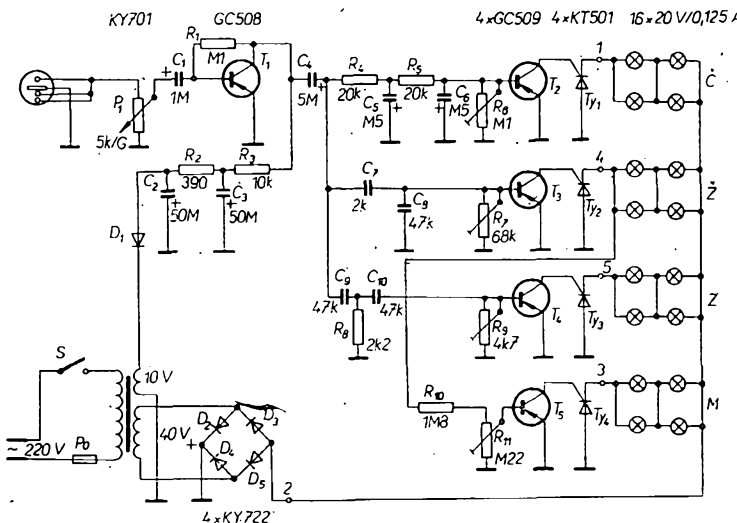
První kmitočtové pásmo se získává dolní propustí (R_4 , C_5 , R_5 , C_6) se sklonem 12 dB/oct. Tranzistor T_2 se otevírá podle signálu z dolní propusti a přivádí na řídicí elektrodu tyristoru T_y_1 kladné napětí. V katodě T_y_1 jsou zapojeny sériov-paralelně čtyři červené žárovky. Trimrem R_6 nastavíme pracovní bod T_2 těsně před bodem, v němž tyristor sepně vlivem zvětšení zbytkového proudu tranzistoru. Na kolektor tranzistoru T_2 se totiž přivádí přes tyristor téměř plné napájecí napětí, které způsobí, že se při

AR KONSTRUKCE '70 z konkursu

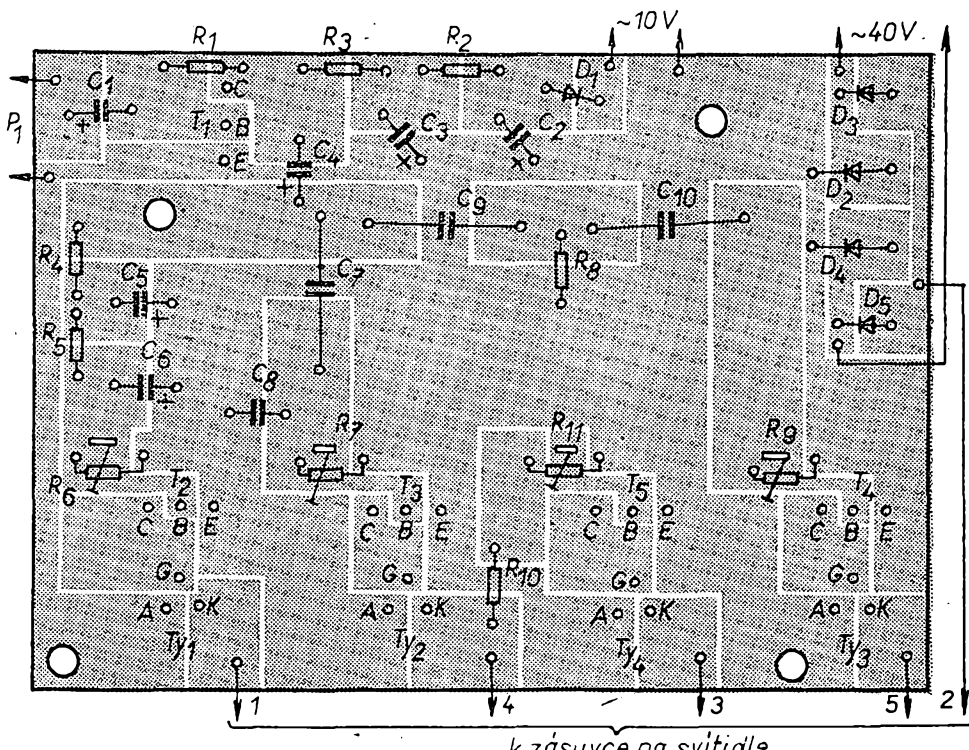
zvětšení R_{BE} (v tomto případě R_6) zvětší i I_{CEQ} . Červené žárovky reagují na signály kmitočtů asi do 200 Hz.



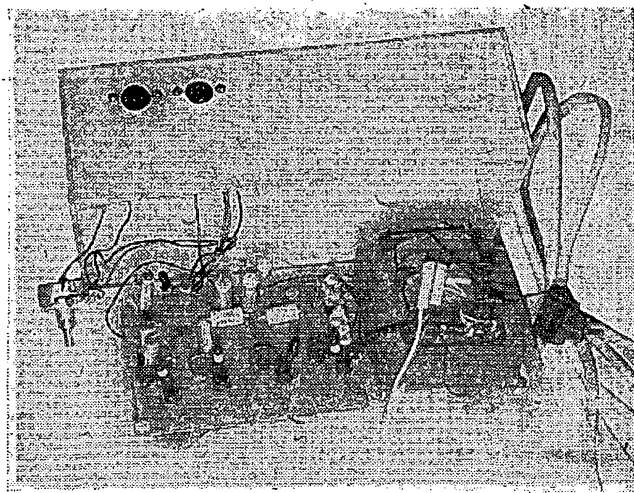
Signály středních kmitočtů (asi od 200 Hz do 3 kHz) jsou propouštěny z jednoduchým Wienovým děličem (C_7 , C_8 , R_7). Trimr R_7 nastavujeme podobně jako R_6 . Koncový stupeň s tyristorem T_y_2 je stejný, jen žárovky jsou žluté.



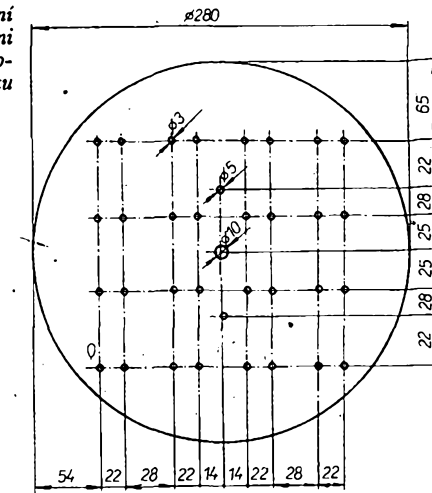
Obr. 1. Schéma přístroje



Obr. 2. Destička s plošnými spoji Smaragd E73



Obr. 3. Připevnění destičky s plošnými spoji a transformátoru na dolní desku skříňky přístroje



Signály vysokých kmitočtů (asi od 2 kHz) se oddělují horní propustí RC (C_9, R_8, C_{10}, R_9). Zapojení a nastavení koncového stupně je opět stejně, žárovky jsou zelené.

Modré žárovky reagují na amplitudu přiváděného signálu negativně; při nulové amplitudě svítí naplně a při plném vybuzení zhasnou. Protože v hudbě převažují střední kmitočty, stačí, aby modré žárovky svítily jen opačně ke

žlutým. Budicí napětí proto odebíráme z katody tyristoru T_{y2} přes odpory R_{10} . Tím získáme napětí opačné amplitudy, než je na žlutých žárovkách. Koncový stupeň modré je opět stejný; trimrem R_{11} nastavíme úroveň vstupního napětí tak, aby při rozsvícení žluté modrá zhasla a při zhasnutí žluté se opět rozsvítila.

Koncové stupně s tyristory napájíme stejnosměrným napětím 40 V (za u-směrňovačem s Graetzovým můstekem

Obr. 5. Umístění žárovek ve stropním svítidle

s diodami D_2 až D_5). Napětí se nesmí filtrovat – tyristory by nezhasínaly. Tím se ušetří i prostor, protože kondenzátory filtru by při značném odběru měly velké rozložení; to je výhoda proti běžným koncovým stupním s výkonovými tranzistory. Vstupní zesilovač se napájí filtrovaným stejnosměrným napětím 10 V z druhého vinutí transformátoru.

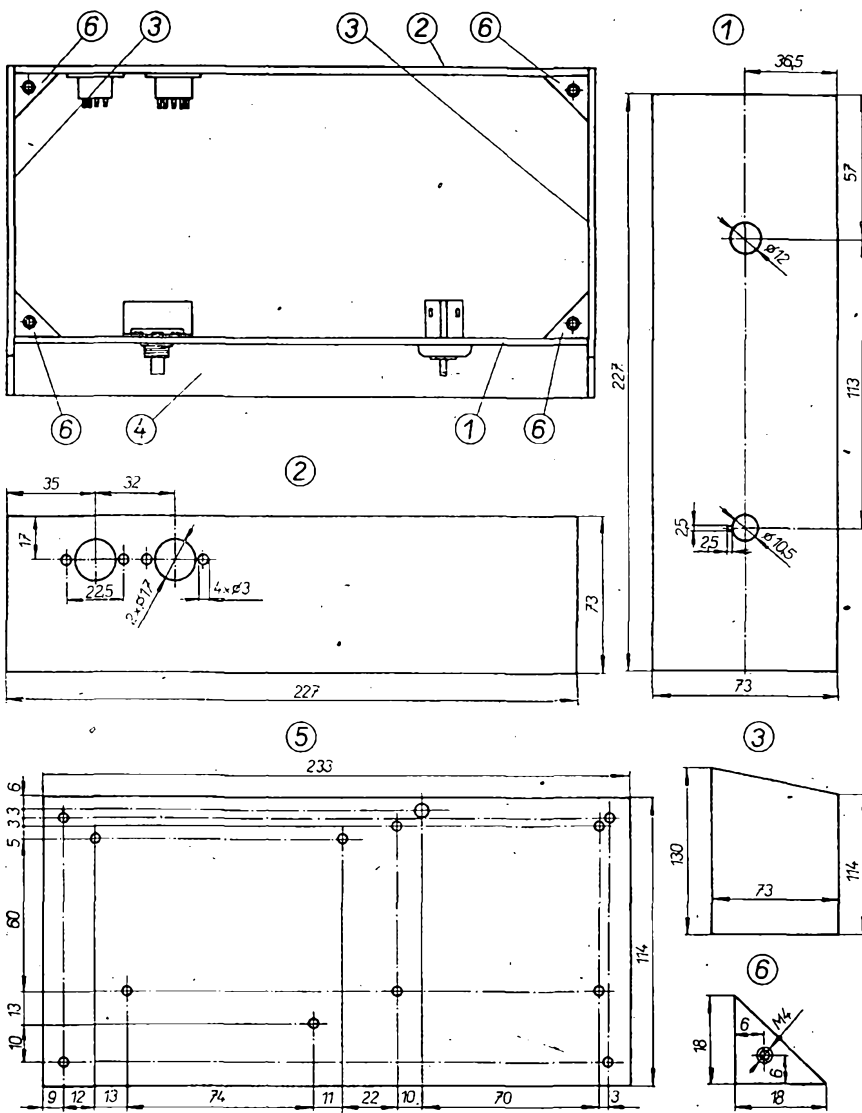
Konstrukce

Všechny součástky kromě spínače a potenciometru P_1 jsou umístěny na destičce s plošnými spoji (obr. 2), přišroubovánou čtyřmi šrouby M4 společně s transformátorem k dolní stěně přístroje, která je čtyřmi šrouby M4 přichycena ke skřínce (obr. 3). V přední stěně přístroje je potenciometr a spínač, v zadní vstupní a výstupní zásuvka (obr. 4). Síťový kabel je vveden dírou v dolní stěně, na níž jsou také přilepeny čtyři pryžové nožičky. Skříňka je z mléčného organického skla (obr. 4), stěny jsou slepeny trichlorem, v němž jsou rozpuštěny odřezky organického skla. Závit do uhelničků (díl 6) uděláme tak, že do otvoru o průměru 3 mm zašroubujeme šroub M4, který předem ohřejeme.

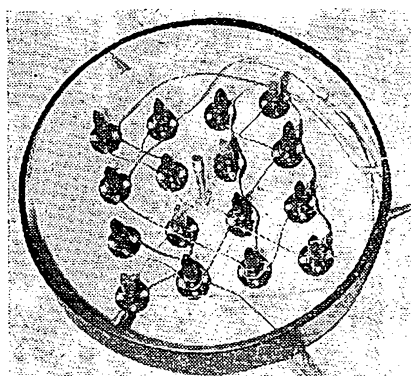
Objímky žárovek jsou přišroubovány ke kruhové desce (obr. 5), která je umístěna v kruhovém stropním svítidle (obr. 6), z něhož odstraníme původní objímky. Zapojení žárovek je na obr. 7.

Použití součástky

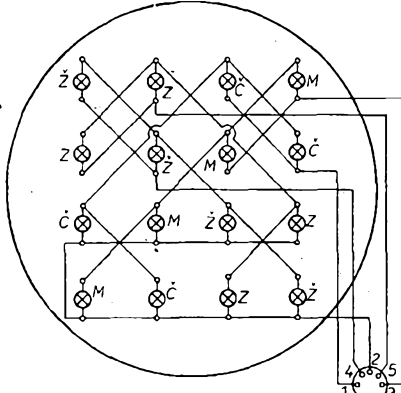
Všechny součástky jsou běžné – odpory na zatížení 0,125 W, kondenzá-



Obr. 4. Skříňka z organického skla a její díly (pohled zespodu)



Obr. 6. Umístění žárovek ve stropním svítidle



Obr. 7. Zapojení žárovek ve stropním svítidle

tory libovolného typu, trimry s drátovými vývody. Údaje transformátoru jsou v rozpisce součástek. Žárovky jsou na vánoční stromeček – 20 V/0,125 A. Tyristory není třeba chladit.

Odpory

R_1	- 0,1 MΩ
R_2	- 390 Ω
R_3	- 10 kΩ
R_4	- 20 kΩ
R_5	- 20 kΩ
R_6	- 0,1 MΩ, trimr
R_7	- 68 kΩ, trimr
R_8	- 2,2 kΩ
R_9	- 4,7 kΩ, trimr
R_{10}	- 1,8 MΩ
R_{11}	- 0,22 MΩ, trimr

Kondenzátory

C_1	- 1 μF/150 V, elektrolyt.
C_2	- 50 μF/25 V, elektrolyt.
C_3	- 50 μF/25 V, elektrolyt.
C_4	- 5 μF/25 V, elektrolyt.
C_5	- 0,5 μF/350 V, elektrolyt.
C_6	- 0,5 μF/350 V, elektrolyt.
C_7	- 2 nF/250 V, svitkový
C_8	- 47 nF/40 V, keramický
C_9	- 47 nF/400 V, svitkový
C_{10}	- 47 nF/400 V, svitkový

Položidicové průkry

D_1	- KY701
D_2	- KY722
D_3	- KY722
D_4	- KY722
T_1	- GC508
T_2	- GC509
T_3	- GC509
T_4	- GC509
T_5	- KT501
T_6	- KT501
T_7	- KT501
T_8	- KT501

Žárovky

4 ks	20 V/0,125 A - červené,
4 ks	20 V/0,125 A - žluté,
4 ks	20 V/0,125 A - zelené,
4 ks	20 V/0,125 A - modré.

Spinač jednopólový páčkový 220 V/2 A.

Dvojpólová vidlice 6 AF 895 57.

Dvojpólová zásuvka 6 AF 282 30.

Pětipólová vidlice 6 AF 895 20/34.

Pětipólová zásuvka 6 AF 282 10/12.

Sítová šňůra se zástrčkou.

Destička s plošnými spoji.

Transformátor

Primární vinutí 220 V/0,25 A:

1 200 z drátu o \varnothing 0,35 mm CuL.

Sekundární vinutí 40 V/1 A:

250 z drátu o \varnothing 0,7 mm CuL,

10 V/0,01 A:

60 z drátu o \varnothing 0,07 mm CuL.

Jádro EI32, plechy skládaný střídavě (38 plechů).

Mechanické díly

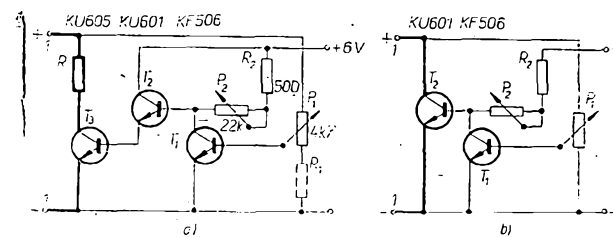
- 1 - 1 ks, přední stěna
- 2 - 1 ks, zadní stěna
- 3 - 2 ks, boční stěna
- 4 - 1 ks, horní stěna
- 5 - 1 ks, dolní stěna
- 6 - 4 ks, uhlíček
- 1 ks, svítidlo kulaté stropní
- 1 ks, deska s objímkami - překlíčka tl. 2 mm
- 16 ks, objimka žárovky - bakelit
- 1 ks, knoflík potenciometru
- 4 ks, pryžová nožička
- 36 ks, šroub M3 - 10 mm
- 4 ks, hřidel se závitem M3 - 55 mm (k upevnění transformátoru)
- 52 ks, matice M3
- 8 ks, sroob M4 - 20 mm
- 4 ks, matice M4

RYCHLÁ ELEKTRONICKÁ POJISTKA

V dnešní době se (i přes značnou cenu) začínají stále více a více používat výkonové tranzistory. Jednotlivé typy tranzistorů se mnohdy cenově velmi liší a chceme-li použít do určitého zařízení doporučovaný typ, jsme často odrazeni jeho vysokou cenou. Často by se však dal použít i jiný levnější tranzistor, nejsme však presvědčeni, že by požadované zařízení vydržel. V jiném případě zase použijeme výkonový tranzistor do neověřeného zapojení, anebo se snažíme určité zařízení zkonservovat a pak se stává, že nemáme po ruce všechny potřebné údaje nutné pro návrh a jsme pak velmi zklamáni, dojde-li ke zničení právě těch nejdrahších tranzistorů. Většinou jde o to, vydrží-li tranzistor určité zařízení bez poškození. V takových případech se pak vyplatí použít nějaké zařízení, které bude tranzistor chránit před zničením.

Jedním z řešení je použití rychlé elektronické pojistky, tranzistory, protože snadno dosáhneme krátkých vypínacích časů, zvláště při použití spinacích tranzistorů. Je-li pojistka postavena jako samostatná jednotka, dá se použít do libovolného obvodu, který chceme jistit před zničením. Jedno ze zapojení je na obr. 1.

Obr. 1. Zapojení pojistky; a) pro větší proudy (do 10 A), b) pro menší proudy (do 2 A).



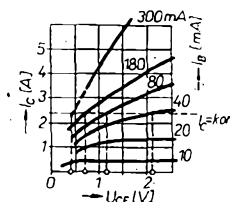
Cinnost zapojení

Na tranzistoru T_3 a odporu R vzniká průtokem proudu napětí. Jak velké je toto napětí (mezi svorkami $I-1$), záleží na velikosti odporu v bázi T_2 . Čím je odpor menší, tím více jsou tranzistory T_2 a T_3 buzeny. Pak je při stejném proudu v obvodu menší úbytek napěti mezi $I-1$ (obr. 2a). Překročí-li napětí určitou mez, otevře se tranzistor T_1 a uzavřou se tranzistory T_2 , T_3 . Změ-

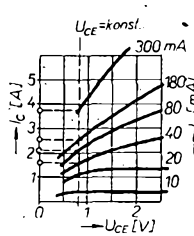
nou polohy běžce potenciometru P_1 můžeme měnit napětí mezi svorkami $I-1$, při němž dojde k vypnutí (za předpokladu, že zároveň nemění hodnotu P_2). Zkratováním báze a emitoru T_1 běžcem P_1 je pojistka vyřazena z činnosti, je proto výhodné zapojit ještě do série odporník R_1 (čárkovaně). Odpor omezi horní hranici proudu, při němž

dojde k vypnutí – větší proud obvodem procházet nemůže.

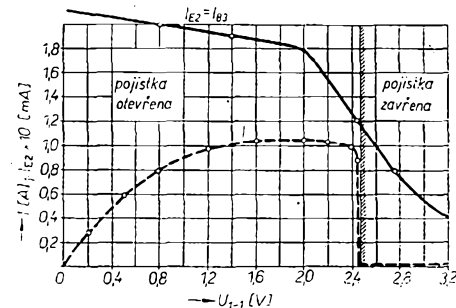
Tato jednoduchá pojistka vypíná však i při různém napětí mezi svorkami $I-1$. Tento nepřiznivý vliv omezíme úplným vypnáním odporu R a také tím, že budeme tranzistor T_2 co nejvíce budit do báze, tzn. že použijeme potenciometr P_2 s co nejmenším odporem. S růstem proudu v obvodu se však začíná také zvětšovat napětí mezi vývody $I-1$ a tím se začíná pozvolna otvírat tranzistor T_1 . Proud báze T_2 a T_3 se zmenší a napětí na $I-1$ se dále zvětší. Tato kladná zpětná vazba není však tak velká, aby děj proběhl lavinovitě, tzn., aby se pojistka rychle zavřela. Dojde k ustálenému stavu při menším



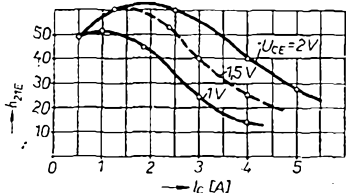
Obr. 2a. Charakteristika tranzistoru KU605; (řízení proudu potenciometrem P_1)



Obr. 2b. Regulace vypínacího proudu potenciometrem P_2



Obr. 3. Pozvolné zavírání pojistky, nepoužije-li se klopový obvod (měřeno na zapojení podle obr. 5 při vypnání klopového obvodu z činnosti)



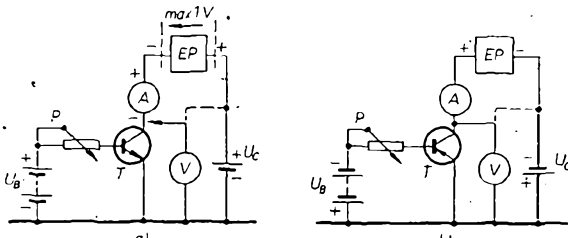
Obr. 4. Průběh zesílovacího činitelu h_{2FE} tranzistoru KU605 v závislosti na proudu kolektoru I_c

proudú báze T_2 , proto je nutno T_2 mnohem více vybudit, abychom mohli vypínat větší proud. Tím se však značně zmenší regulační rozsah, v němž lze pojistku používat (obr. 3).

První z uvedených nedostatků lze odstranit tím, že nahradíme P_1 pevným děličem nebo sériovým odporem; pak bude pojistka vypinat vždy při přibližně stejně velkém napětí mezi svorkami I-1. Proud, při němž má pojistka vypínat, budeme nyní regulovat potenciometrem P_2 . Je-li proud báze tranzistoru T_2 a tím i T_3 větší, je zapotřebí většího proudu ve vnějším obvodu, aby mezi I-1 bylo stejně napětí, nutné pro vypnutí (obr. 2b).

Druhou závadu, pozvolné otevírání tranzistoru T_1 , odstraníme dalším pomocným obvodem. Ten lze opět řešit mnoha způsoby. Jedním z jednodušších způsobů je použití klopného obvodu, jenž při určitém napětí na vstupu rychle uzavře tranzistor T_1 . Rozmezí, v němž chceme proud pojistiky regulovat, závisí na zesílovacím činiteli tranzistorů T_1 a T_2 a dále na regulačním rozsahu potenciometru P_2 . Maximální proud, který chceme vypínat, nemusí však být větší, než je povolený maximální kolektorový proud tranzistoru T_3 (v našem případě u KU605 je hranice 10 A). Napětí, při němž dochází k vypnutí, volíme v rozmezí 0,25 až 2,5 V. Tranzistor T_1 je nejlépe použít křemíkový, pak lze zanedbat zbytkový proud a nastavený proud pro vypnutí se nemění vlivem změn zbytkového proudu, jak tomu bývá u germaniových tranzistorů. V klopém obvodu není volba typu tranzistoru kritická (jak bylo však zdůrazněno v začátku, je vhodné pro velmi krátké spínací časy použít spínací tranzistory).

Zjištěním zesílovacích činitelů tranzistorů T_2 , T_3 by se dal vypočítat odpor potenciometru P_2 i v sérii zapojený odpor R_2 , který omezuje horní hranici vypínáního proudu. Zesílovací činitely se např. u KU601 a KU605 mění s pra-



Obr. 6. Zapojení elektronické pojistky do obvodu při měření tranzistorů n-p-n (a) a p-n-p (b). A - ampérmetr, V - voltmetr, EP - elektronická pojistka, P - proměnný odpór k regulaci proudu báze, T - měřený tranzistor, U_C - zdroj kolektorového napětí, U_B - zdroj napětí

covním bodem (obr. 4) tak, že vypočtená hodnota by neodpovídala praktickým výsledkům. Je proto jednodušší zapojení postavit a dodatečně nalézt správnou velikost odporu pro předem zvolený regulační rozsah.

Na obr. 5 je zapojení, které bylo prakticky vyzkoušeno. Proud lze regulovat v rozmezí 0,03 až 8 A a není velkým problémem tento rozsah dále zvětšit. Při vypnutí pojistiky se na svorkách I-1 objeví napětí rovnající se napětí naprázdno, tj. bez zatížení. Proto musí být mezi bází a emitorem T_3 zařazen odpor R_3 , pro značně velké napětí je možno T_3 při vypnutí ještě blokovat záporným napětím (jak doporučuje výrobce těchto tranzistorů). V uváděném zapojení je záporné přepětí velmi malé, neboť se využívá především pro signalizaci vypnutí pojistiky. Důležité však je, aby i vstup klopného obvodu byl navržen tak, aby nedošlo k jeho zničení při zvětšení napětí na svorkách I-1. V našem případě má tento vstup pracovat velmi spolehlivě až do napětí 120 V. Při vypnutí pojistiky je nejprve v chráněném obvodu nutno odstranit příčinnu vypnutí a pak lze tlačítkem 77 pojistku opět otevřít.

Když bude pojistka použita v zařízení, které pracuje nepřetržitě delší dobu, je lépe výkonové tranzistory umístit na menší chladiče.

Tímto zařízením lze popř. i měřit výkonové tranzistory typu n-p-n nebo p-n-p (obr. 6). V případě, že je na ampérmetru malý úbytek napětí, lze jej zanedbat. Rovněž lze zanedbat i úbytek napětí na pojistce a voltmetrem lze měřit rovnou na zdroji (v obrázku naznačeno čárkovaně). Při těchto měřeních nemusíme mít obavy o měřené tranzistory ani v případě, že budeme překračovat mezní údaje určené výrobcem. Napětí mezi body I-1 těsně před vypnutím nikdy nepřekročí

1 V. Po důkladném ověření vlastnosti pojistiky lze potenciometr P_2 ocejchovat ve velikostech proudu, při nichž dochází k vypnutí. Při jakékoli výměně jednoho z tranzistorů T_2 , T_3 je však nutno stupnice přecejchovat.

Samočinného odblokování pojistiky lze dosáhnout odporem 15 až 20 k Ω , zapojeným mezi body A, B (obr. 5) za cenu většího vypínacího napětí (zvětší se asi na 2 V). Pak lze vynechat tlačítko TL.

-fiz-

Rozpis součástek (obr. 5)

Položidlové součástky

- T_1 - KF506
- T_2 - KU601
- T_3 - KU605
- T_4 - KF506
- T_5 - KF506
- T_6 - GC500
- D_1 - 2 x KA501 až KA504
- D_2 - KY721
- D_3 , D_4 , D_5 , D_6 - KY721
- D_7 - KZ703

Potenciometr

- P - 22 k Ω /5 W, (drát.)

Odpory

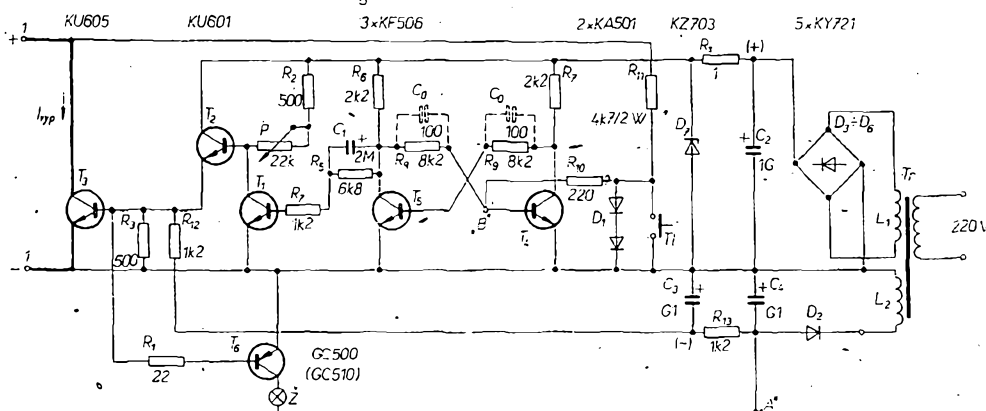
- R_1 - 0 až 100 Ω
- R_2 - 500 Ω /0,25 W
- R_3 - 500 Ω /0,25 W
- R_4 - 1,2 k Ω /0,25 W
- R_5 - 6,8 k Ω /0,25 W
- R_6 - 2,2 k Ω /0,25 W
- R_7 - 2,2 k Ω /0,25 W
- R_8 - 8,2 k Ω /0,25 W
- R_9 - 8,2 k Ω /0,25 W
- R_{10} - 220 Ω /0,25 W
- R_{11} - 4,7 k Ω /2 W
- R_{12} - 1 k Ω /0,25 W
- R_{13} - 1 k Ω /0,25 W
- R_9 - 0,5 až 2 Ω (drát.)

Kondenzátory

- C_1 - 2 μ F/10 V
- C_2 - 1 000 μ F/15 V
- C_3 - 100 μ F/10 V
- C_4 - 100 μ F/10 V
- C_5 - 100 pF/160 V

Z - žárovka 6 V/0,05 A (telefonní)

T_r - průřez jádra 2 až 3 cm², primární vinutí 220 V, sekundární L_1 6,5 V/0,5 A a L_2 6,5 V/0,1 A



Obr. 5. Celkové zapojení elektronické pojistky s klopným obvodem. Regulační rozsah 0,03 až 8 A, $\Delta U_{1-1} < 1$ V při vypínání; $U_{1-1\max} \leq 120$ V
(odpor 1,2 k Ω v bázi T_1 má být označen R_4)

Násobič Q . . . • . na frekvenci 400 kHz

Jaroslav Erben, OK1AYY

Někdy bývá dobré znovu objevit věc, která téměř upadla v zapomnění, nebo byla neprávem zavřena. Platí to také o násobičích Q . Zmodernizované zapojení násobičů jakostí se opět začíná s oblibou používat.

Zavedení zpětné vazby na vstup přijímače může značně zlepšit jeho vlastnosti. Viděl jsem již amatérský přijímač, který začínal směšovacem s jedním laděným obvodem a zpětnou vazbou na vstupu. Přijímač měl mezifrekvenci na kmitočtu 460 kHz a na pásmu 28 MHz neměl zrcadlové příjmy. Je zřejmé, že násobiče Q ve vstupních obvodech přijímačů mají své opodstatnění. Opomenuty však zůstávají násobiče jakosti v mezifrekvenčním přijímaču. Je to tím, že bylo zvykem zavádět zpětnou vazbu jen do jednoho mf obvodu.

Pro využívající funkci bylo nutné pracovat těsně před bodem rozkmitání. Výsledkem je nestabilita, zvonivý tón, zdůrazňování poruch, příliš malá šířka pásmá pro 6 dB (stanice „ujízdi“ z vrcholu křivky) a naprostě nevyužívající činitel tvaru rezonanční křivky. Pro potlačení kolem 20 dB nemá násobič prakticky vliv na šířku pásmá, která je již dána ostatními obvody mezifrekvence.

Tyto nevýhody lze odstranit zavedením zpětné vazby do více mř obvodů. Výhoda vícenásobného násobiče jakosti spočívá v tom, že pro dosažení stejné šířky pásmo jako u jednoobvodového násobiče není třeba tak vysoké jakosti obvodů. Vrchol propustné křivky není špičatý, stanice z tohoto vrcholu „neujízdejí“. Protože nemusíme pracovat těsně před bodem rozkmitání, odpadá dozvívání signálu, zdůrazňování poruch, zlepší se celková stabilita násobiče.

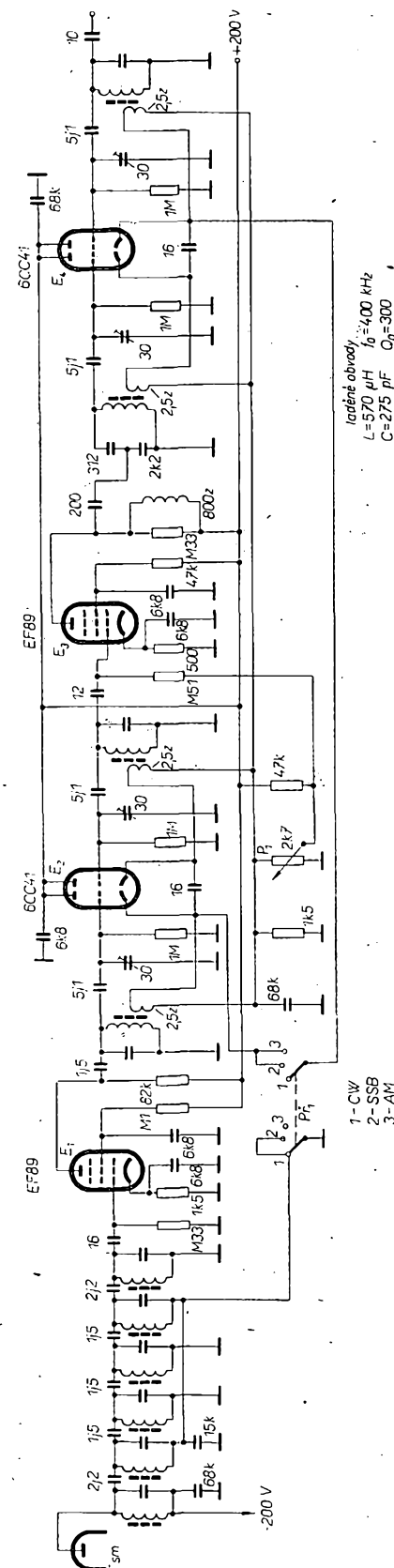
Pojem násobič Q se většinou rozumí oscilátor na kmitočtu mezipřekvence, který je vázán (zpravidla kapacitně) na některý mF obvod. Protože však při nepřímém zvyšování jakosti obvodu (násobič Q) i při přímém zavedení zpětné vazby do mF obvodu (tzv. aktivní filtr) je výsledek stejný, označuji oba případy jako násobič Q . Důvodem, který mne především vedl k použití násobičů jakostí je skutečnost, že nízké mezipřekvěnní kmitočty (60 až 90 kHz), které jsem dříve používal, vyžadovaly koncepci přijímače s trojím směšováním. Při použití dostupných feritových jader se jakost obvodu na těchto kmitočtech pohybuje mezi 100 až 300. Celá selektivita přijímače se získá již v pěti až sedmi obvodech soustředěné selektivity. Je zcela evidentní, že u přijímače s trojím směšováním je použití soustředěné selektivity hned za posledním směsovačem nutné. Charakterem soustředěné selektivity je dána křivka propustnosti, která se blíží ideálnímu obdélníku. Pro útlum 6 dB se dosahuje šířek pásmá 1 000 až 300 Hz. Křivka má velmi strmé boky. Při telegrafních závodech jsem však tuto vlastnost pociťoval jako ne zcela vyhovující. Plochá horní část křivky propustnosti, široká asi 500 Hz, způsobovala, že stanice pracující vedle sebe blízí než 500 Hz se nedaly odladit. Naopak, vlivem strmých

boků křivky byly slabé i silné stanice stejně „široké“, tedy zdánlivě stejně silné, a tím se ztrácel přehled na pásmu. Křivka propustnosti byla pro CW příliš ideální. Z toho vyplývá, že horší činitel tvaru vícenásobných násobič Q nemusí být vždy na závadu. Je zajímavé, že mnohdy dosahují v telegrafních závodech nejlepších výsledků amatéři, kteří mají přijímač s mf šírkou pásmá 5 až 10 kHz s velmi špatnou strmostí boků křivky. Jejich úspěch spočívá v dokonalém a rychlém přehledu po pásmu. V těsném sousedství však pochopitelně nesmí pracovat příliš silná stanice. Je nasnadě, že názor, jaká má být ideální křivka mezifrekvence přijímače pro CW, není zcela jednoznačný a bude se lišit podle zkušeností, vkuisu a hlavně zvyku jednotlivých operatérů.

Uvedené zapojení čtyřnásobného násobiče Q na kmitočtu 400 kHz používám asi tři roky. S výsledkem jsem spokojen, i když je jasné, že násobič Q , byl více-
stupňový, není ideálním řešením.

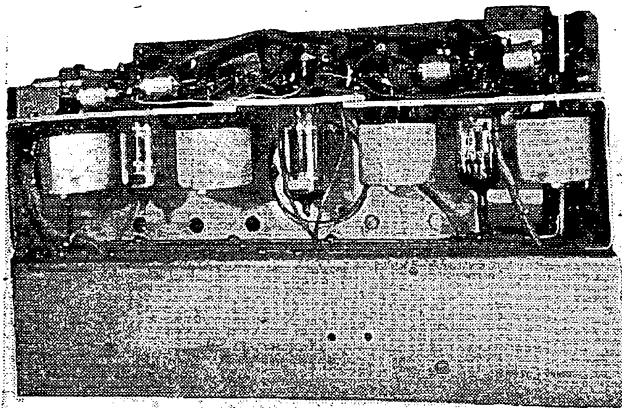
Zapojení je na obr. 1. Typ použitých železových hrníčkových jader v krytu je zřejmý z fotografie. Jakost cívek bez krytu na kmitočtu 400 kHz je 300. Pro cívky v násobiči však tato jakost není podmínkou. Všechny cívky laděných obvodů jsou stejné ($L = 570 \mu\text{H}$). Cívky jsou vinutý v lankem $30 \times 0,07$ mm. Vázební vinutí má $2,5$ z drátu o $\varnothing 0,25$ mm CuLH, paralelní kapacita je 275 pF .

Aby bylo zřejmě připojení násobiče k přijímači, popisují část mí zesilovače od směšovače až po výstup násobiče Q . Za směšovačem následuje kapacitně vázáný filtr soustředěné selektivity se šesti obvody. Krajní obvody mají těsnější vazbu se sousedním obvodem. Zatímco filtrem je zesilovač s E_1 (EF89), který má za úkol kompenzovat útlum filtru soustředěné selektivity. Celkové zesílení stupně s E_1 je asi 5. Ze záteže v anodě E_1 se přes kapacitu 1,5 pF signál přivádí na první laděný obvod násobiče Q . Zpětnou vazbu zavádime z katody pomocí vazebního vinutí (2,5 závitů). „Živý“ konec laděného obvodu je navázán přes kapacitu 5,1 pF na mřížku první poloviny E_2 (6CC41). Další obvod je navázán přes kapacitu 16 pF (mezi katodami E_2). Tato vazba je kritická pro nejmenší šířku pásmata (kolem 100 Hz). Tuto minimální šířku pásmata pro 6 dB nelze již tedy zmenšit. Tím je také zaručeno, že vrchol křivky pro minimální šířku pásmata není jehlově ostrý. Při nastavení větších šířek pásmata je vazba mezi obvody násobiče podkritická, čímž se zvyšuje útlum. Proto není možné přímo navázat další stupeň násobiče s E_4 (6CC41), neboť útlum v propustné části by byl značný; na výstup by se mohl indukovat vstupní signál nežádoucími cestami a tím by se zhoršil činitel tvaru. Proto je útlum násobiče vyrovnaný zesilovačem s E_3 (EF89). Tlumivku v anodě E_3 tvoří odporník 330 k Ω , na němž je asi 800 závitů.



Obr. 1. Schéma násobiče Q

drátu o \varnothing 0,12 mm CuL. Z anody E_3 přichází signál na další obvod přes oddelovací kapacitu 200 pF a kapacitní dělič. Následuje stupeň s E_4 , který je stejný jako stupeň s E_2 .



Obr. 2. Vzhled hotového násobiče Q

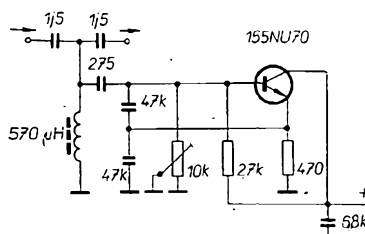
Tab. I.

Útlum	Šířka pásmá [Hz] – zapojení podle obr. 1							
	dB	AM	SSB	CW0	CW1	CW2	CW3	CW max.
6	2 600	1 500	800	400	250	150	100	
20	4 500	3 100	2 000	1 300	900	400	300	
40	7 500	4 800	3 100	2 300	2 100	1 300	900	
60	11 000	7 000	4 000	3 600	3 300	2 900	1 900	

Celý násobič se skládá ze čtyř stejných zpětnovazebních členů. Stupeň zpětné vazby se nastavuje zmenšováním kladného napětí na katodách elektronek E_2 a E_4 potenciometrem P_1 .

Obvody násobiče naladíme na stejný kmitočet. Potenciometr P_1 vytvoříme asi do jedné třetiny dráhy od uzemněného konce a nastavujeme kapacitní trimry (30 pF) v mřížkách E_2 a E_4 tak, že po nasazení vazby trimr vrátíme o kousek zpět před bod rozkmitání. Stupeň zpětné vazby závisí na poměru vazebních kapacit $5,1 \text{ pF}$ k kapacit trimrů. Zvětšováním kapacity trimrů se zmenšuje velikost zpětné vazby a naopak. Tak postupně nastavíme stejný stupeň zpětné vazby u všech čtyř obvodů. Pak opět obvody doladíme. Tento postup opakujieme, neboť změna kapacity trimrů má vliv na naladění obvodů. Nyní můžeme potenciometrem P_1 měnit současně velikost zpětné vazby všech obvodů a tím i šířku pásma.

Se zvětšováním šířky pásmá roste útlum násobiče, což je částečně kompenzováno elektronkou E_3 , jejíž mřížkový svod je připojen na běžec P_1 . Zvětšováním kladného napětí na běžci P_1 (zvětšování šířky pásmá a útlum) se zmenšuje záporné napětí na g₁ elektronky E_3 vůči její katodě, zvětšuje se anodový proud a tím i zesílení. Výsledné zesílení násobiče Q (bez E_1) při šířce pásmá 100 Hz je asi 10, při šířce



Obr. 3. Tranzistorová verze násobiče Q.

Tab. II.

Útlum	Čtyři obvody			Dva obvody		
	dB	CW1	CW2	CW max.	CW1	CW2
6	400	200	100	300	150	100
20	1 600	600	300	1 100	400	200
40	3 200	1 500	1 000	4 500	2 000	1 400
60	6 500	4 200	2 300	10 500	7 200	6 000

Tab. III.

Útlum [dB]	Údaje výrobce	Měření výrobce 1964	Amatér. měření 1970	E10L
6	60 až 120	120	150	700
20	200 až 320	250	700	2 000
40	700 až 950	900	3 300	3 700
60	neudává se	neudává se	11 000	6 600

V tabulce II jsou šírky pásem pro samostatný násobič Q (bez šestiovodového filtru soustředěné selektivity) a pro jeho jednu polovinu, tedy dva laděné obvody. Ke srovnání slouží tabulka III, která platí pro přijímač TESLA K12. V prvním sloupci jsou údaje výrobce, ve druhém měření výrobce v roce 1964 a ve třetím měření, které jsem provedl v roce 1970. Protože mám k dispozici generátor, kde 100 Hz má na stupnici délku asi 1,5 až 2 mm, je měření pro 6 dB poněkud nepřesné. Proto jsem výsledky měření většinou zaokrouhloval po stovkách Hz. Měřený přijímač K12 je podle subjektivního názoru několika osob v pořádku. Nedovedu si proto dost dobře vysvětlit rozdíl výsledků měření. Při měření jsem se snažil napodobit nepravidelné podmínky na pásmech, proto jsem volil napěťové úrovne pro měření co největší, avšak ještě takové, aby přijímač neomczoval a tedy nezkresloval měření. Bohužel nemám možnost změnit nový přijímač K12 a tak přesně porovnat výsledky vlastního a výrobceva měření. V posledním sloupci tab. III je charakteristika mezifrekvence přijímače E10L (byl vybrán asi z pěti kusů nejlepší), z něhož jsou vyjmuty vazební kapacitní trimry. Šířka pásmá je tedy minimální. Přijímač E10L má proti K12 se 14 laděnými obvody a dvěma krystaly 1 MHz jen pět mf laděných obvodů na

pásma 500 Hz kolem jedné. Tento rozdíl útlumu se při změně šířky pásma projevuje v různé míře u všech propustí LC . Rozdíl by se dal vyrovnat lepší kompenzaci u elektronky E_3 , např. zařazením Zenerovy diody do katody. V praxi však rozdíl nevadí.

Zesílení mezi anodou směšovače a výstupem násobiče se pohybuje mezi 5 až 50. Za násobičem mám již jen zesilovač s EF89. Zesílení celé mezisfrekvence sice vyhovuje, chybí však jistá rezerva zesílení. Proto by bylo vhodné zařadit za násobič ještě dvoustupňový mf zesilovač. Šířka pásmá pro SSB se nastaví přepínačem P_1 , jímž se spojí vstupní a výstupní zpětnovazební vinutí násobiče. Šířka pásmá je pak dána převážně soustředěnou selektivitou. Příkazy k přepínači jsou dlouhé asi 40 cm a jsou ze stíněného vodiče. Vzhledem k malé impedanci přepínaných míst nejsou délka přívodu ani vlastní kapacita stínění kritické. Při přepnutí do polohy AM se ještě zvětší vazba mezi 2. a 5. obvodem soustředěné selektivity (kondenzátor 15 nF).

Křívka propustnosti pro AM a SSB je nevyhovující. Protože přijímač používám převážně pro CW, nezabýval jsem se zatím zlepšením poměrů pro SSB a AM.

Zesílení mezi anodou směšovače a výstupem násobiče má být jen takové, aby se překryl vlastní šum násobiče. Čím menší bude zesílení, tím více se bude násobič Q blížit svým charakterem filtru soustředěné selektivity. Šírky pásmma pro celé zapojení jsou v tabulce I. Tabulka vychází z měření v roce 1968 a 1970. Výsledky měření se v průměru neliší více než o 10 %. Šírky pásem CW0 až CW max. platí pro různě nastavení potenciometru P_1 . Šírka CW0 je při největším kladném napětí na katodách E_2 a E_4 . CW max. je poloha, při níž se dosahuje kritické vazby (100 Hz). V této poloze je ještě násobič stabilní, signálny nedožívají, příjem však začíná mít ostřejší charakter, který lze přirovnat k příjmu září F_5 . M. w. F. c. EZ6

odpovídá údajům výrobce.
Konstrukce násobiče je zřejmá z obr. 2. Elektronka E_1 je umístěna pod šasi. Na- pravo je za násobičem částečně vidět filtr soustředěné selektivity. Signál po- stupuje zprava doleva. Nad elektron- kami E_2 a E_4 jsou kapacitní trimry pro nastavení zpětné vazby. Konstrukce je jen provizorní. Z nedostatku místa byl násobič vestavěn „vzhůru nohama“ do stávajícího přijímače.

Typ	Druh	Použití	U_{CE} [V]	I_C [mA]	h_{11E} h_{11e}^*	f_T f_{α^*} [MHz]	T_a T_o [$^{\circ}$ C]	P_{tot} P_C^* max [mW]	U_{CB} max [V]	U_{CE} max [V]	I_C max [mA]	T_j max [$^{\circ}$ C]	Pouzdro	Výrobce	Patice	Náhrada TESLA	Rozdíly					
																	P_C	U_C	f_T	h_{11}	S_{pin}, V_L	R
2N725	GMp	VF	1	10	>20	300	25	150	15	50	90	TO-18	Syl	2	—	GF501	>	>	=	=	=	=
2N726	SPp	VF, Sp	1	10	15—45	>140	25	300	25	20	50	175	TO-18	TI	2	KF517	>	>	<	>	>	
2N727	SPp	VF, Sp	1	10	30—120	>140	25	300	25	20	50	175	TO-18	TI	2	KF517A	>	>	<	=	=	
2N728	SMn	Sp	6	10	40	150	25c	300	15	15	150	TO-18	amer	2	KSY62	>	>	>	=	=		
2N729	SMn	Sp	6	10	40	150	25c	300	30	30	150	TO-18	amer	2	KSY63	>	>	>	=	=		
2N730	SPn	Sp, VF	10	150	20—60	>40	25	500	60	40	175	TO-18	TI, NSC	2	KF506	>	>	>	>	>		
2N731	SPn	Sp, VF	10	150	40—120	>50	25	500	60	40	1 A	175	TO-18	TI, NSC	2	KF506	>	>	>	=	=	
2N734	SMn	Sp, VF	5	5	20—50	>30	25	500	80	60	1 A	200	TO-18	TI, NSC	2	KF506	>	<	>	>	>	
2N735	SPEn	Sp, VF	5	5	30—150	>60	25	500	80	60	1 A	200	TO-18	TI, NSC	2	KF506	>	<	=	=	=	
2N735A	SPEn	Sp, VF	5	5	>40	100	25	500	80	60	175	TO-18	CSF	2	KF506	>	<	=	=	=		
2N736	SPEn	Sp, NF	5	5	60—200	>60	25	500	80	60	1 A	200	TO-18	TI, NSC	2	KF508	>	<	=	=	=	
2N736A	SMn	Sp, NF	5	5	60—200	>100	25	500	80	60	100	175	TO-18	TI, NSC	2	KF508	>	<	<	=	=	
2N736B	SPn	Sp, NF	5	5	>80	100	25	500	80	60	175	TO-18	NSC	2	KF508	>	<	=	=	=		
2N738	SMn	Sp, VF	5	5	35	>30	25	500	125	80	100	175	TO-18	TI	2	KF504	>	>	>	>	>	
2N739	SPEn	Sp, NF	5	5	30—100	25	500	125	80	1 A	200	TO-18	TI	2	KF504	>	>	=	=	=		
2N739A	SPEn	Sp, VF	5	5	>40	>100	25	500	125	80	200	TO-18	Hug	2	KF504	>	>	>	<	<		
2N740	SPEn	Sp, NF	5	5	60—200	25	500	125	80	1 A	200	TO-18	TI	2	KF504	>	>	>	<	<		
2N740A	SPEn	Sp, VF	5	5	>80	>100	25	500	125	80	200	TO-18	Hug	2	KF504	>	>	>	=	=		
2N741	GMp	Spvr	6	5	25—>10	360	25	150	15	15	100	100	TO-18	Mot	2	GF501	>	>	=	=	n	
2N741A	GMp	Spvr	6	5	25—>10	360>300	25	150	20	20	100	100	TO-18	Mot	2	GF501	>	>	=	=	n	
2N742	SPEn	Sp	5	100	>20	—	25	500	60	60	100	200	TO-18	NSC	2	KF506	>	>	.	>		
2N742A	SPEn	Sp	5	100	>20	—	25	500	60	60	100	200	TO-18	NSC	2	KF506	>	>	.	>		
2N743	SPEn	Spvr	0,35	10	20—60	>282	25	360	20	12	200	200	TO-18	TI	2	KSY71	=	>	<	>	=	
2N743/46	SPEn	Spvr	0,35	10	20—60	>282	25	400	20	12	200	200	TO-46	Syl	2	KSY71	<	>	<	>	=	
2N743/51	SPEn	Spvr	0,35	10	20—60	>282	25	300	20	12	200	125	TO-51	Syl	28	—						
2N743A	SPEn	Spvr	0,35	10	>20	>500	25	360	40	15	200	TO-18	GE	2	KSY71	=	=	=	=	=		
2N744	SPEn	Spvr	0,35	10	40—120	450>280	25	300	20	12	200	200	TO-18	TI, GI	2	KSY71	>	>	>	=	=	
2N744A	SPEn	Spvr	0,35	10	>40	>500	25	360	40	15	200	TO-18	GE	2	KSY71	=	=	=	<	=		
2N745	SPn	Sp, VF	20	1	55*	30*	25	150	45	30	20	175	u2	Ray	S-6	KF506	>	>	>	=	=	
2N746	SPn	Sp, VF	20	1	99*	40*	25	150	45	30	20	175	u2	Ray	S-6	KF506	>	>	>	=	=	
2N747	SPn	Sp	5	10	45	60*	25	150	25	25	50	175	u2	Ray	S-6	KF507	>	>	>	=	=	
2N748	SPn	Sp	5	10	30	50*	25	200	30	30	50	175	u2	Ray	S-6	KF507	>	>	>	=	=	
2N749	SPn	Sp	6	1	>7*	75*	25	200	45	50	50	175	u2	Ray	S-6	KF506	>	>	=	=	=	
2N750	SPn	Sp	6	1	>4*	40*	25	200	50	50	50	175	u2	Ray	S-6	KF506	>	>	>	=	=	
2N751	SPn	Sp	6	1	>2,2*	30*	25	200	20	20	50	175	u2	Ray	S-6	KF507	>	>	>	=	=	
2N752	SMn	VF, Sp	10	1	>40	>200	25	500	85	45	100	175	TO-18	NSC	2	KF506	>	<	<	=	=	
2N753	SPEn	Spvr	1	10	40—120	400>200	25	300	25	15	175	TO-18	TI	2	KSY62B	=	=	>	=	=		
2N754	SMn	VF, NF	10	1	40—20*	45*	25	300	60	60	50	175	TO-18	amer	2	KF506	>	>	>	=	=	
2N755	SMn	VF, NF	10	1	40—20*	45*	25	300	100	80	50	175	TO-18	amer	2	KF503	>	=	>	=	=	
2N756	SMn	NF, VF	5	1	18*	>50*	25	500	45	45	100	175	TO-18	NSC	2	KC507	<	=	>	>	=	
2N756A	Sdfn	NF, VF	5	1	12—22*	100>50	25	500	60	60	100	200	TO-18	NSC	2	KF506	>	>	=	>	=	
2N757	SMn	NF, VF	5	1	30*	>50	25	500	45	45	100	175	TO-18	NSC	2	KC507	<	=	>	>	=	
2N757A	Sdfn	NF, VF	5	1	18—40*	100>50*	25	500	60	60	100	200	TO-18	NSC	?	KF506	>	>	=	>	=	
2N758	SMn	NF, VF	5	1	54*	>50*	25	500	45	45	100	175	TO-18	NSC	?	KC507	<	=	>	>	=	
2N758A	Sdfn	NF, VF	5	1	18—90*	100>50*	25	500	60	60	100	200	TO-18	NSC	2	KF506	>	>	/	=	=	
2N758B	SPn	NF, VF	5	1	18—90*	150>50*	25	500	60	60	100	175	TO-18	Hug	2	KF506	>	>	=	=	=	
2N759	SMn	NF, VF	5	1	63*	>50*	25	500	45	45	100	200	TO-18	TI	2	KC507	<	=	>	>	=	
2N759A	Sdfn	NF, VF	5	1	36—90*	100>50*	25	500	60	60	100	200	TO-18	NSC	2	KF506	>	>	=	=	=	
2N759B	SPn	NF, VF	5	1	36—90*	175>50*	25	500	60	60	100	200	TO-18	Hug	2	KF506	>	>	=	=	=	
2N760	SMn	VF, NF	5	1	76—333*	>50*	25	500	60	60	100	200	TO-18	TI, NSC	2	KC507	<	=	>	=	=	
2N760A	SMn	VF, NF	5	1	76—333*	>50*	25	500	60	60	100	200	TO-18	TI, NSC	2	KF508	>	>	=	=	=	
2N760B	SPn	VF, NF	5	1	76—333*	200>50*	25	500	60	60	100	200	TO-18	NSC	2	KF508	>	>	=	=	=	
2N761	SMn	VF, NF	20	1	>19*	100>50*	25	500	45	30	100	200	TO-18	NSC	2	KC507	<	=	>	=	=	
2N762	SMn	VF, NF	20	1	>39*	100>50*	25	500	45	30	100	200	TO-18	NSC	2	KC507	<	=	>	=	=	
2N763	Gdfp	Sp	0,2	2	40—25	170>124	25	35	12	10	100	100	TO-18	Spr	2	—						
2N764	Gdfp	Sp	0,5	20	55—25	900>600	25	35	12	7	100	100	TO-18	Spr	2	—						
2N770	Sdfn	VF	1	20	25	125*	25	150	20	100	150	150	TO-18	Phil	2	KC508	>	=	>	>	>	
2N771	Sdfn	VF	1	20	50	200*	25	150	20	100	150	150	TO-18	Phil	2	KC508	>	=	>	>	>	
2N772	Sdfn	VF	5	10	35	110*	25	150	25	45	100	200	TO-18	Phil	2	KC507	>	>	>	>	>	
2N773	Sdfn	NF	10	2	11	—	25	65	20	100	150	150	TO-18									

Typ	Druh	Použití	U_{CE} [V]	I_C [mA]	h_{21E} h_{21e}	f_T [MHz]	T_a [°C]	P_{tot} P_{CE} max [mW]	U_{CB} max [V]	U_{CE} max [V]	I_C max [mA]	T_j max [°C]	Pouzdro	Výrobce	Patice	Náhrada TESLA	Rozdíly					
																	PC	UC	f_T	h_{21}	Spln. vč.	F
2N774	Sdfn	NF	10	2	20		25	80	20		100	150	TO-18	Phil	2	KC508	>	=		>		
2N775	Sdfn	NF	10	2	50		25	150	20		100	150	TO-18	Phil	2	KC508	>	=		>		
2N776	Sdfn	NF	10	2	11		25	110	20		100	150	TO-18	Phil	2	KC508	>	=		>		
2N777	Sdfn	NF	10	2	20		25	130	20		100	150	TO-18	Phil	2	KC508	>	=		>		
2N778	Sdfn	NF	10	2	50		25	170	20		100	150	TO-18	Phil	2	KC508	>	=		>		
2N779	GMp	Sp	0,5	10	90	480	25	60	15		50	90	TO-18	Spr	2	—	—	—	—	—		
2N779A	GMp	Sp	0,5	10	50—200	450 > 320	25	60	15	15	100	100	TO-18	Spr	2	—	—	—	—	—		
2N779B	GMp	VFv	5	10	125 > 50	450	25	150	15		90	TO-18	Phil	2	GF501	>	>	=	<			
2N780	SMn	NF, VF	5	0,5	35—140	85 > 60	25	300	45	45	50	175	TO-18	TI	2	KC507	=	=	>	>		
2N782	Gjp	NF	0,25	10	20		25	150	12	12	200	90	TO-18	Syl	2	GC507	>	>	=	=		
2N783	SMn	Sp	1	10	50	> 200	25	300	40	20	200	175	TO-18	Am	2	KSY63	>	=	=	=		
2N784	SMn	Sp	1	10	> 25	> 200	25	300	30	15	200	175	TO-18	ITT	2	KSY62	>	<	=	=		
2N784A	SPn	Sp	1	10	88	> 300	25	360	40	20	200	200	TO-18	amer	2	KSY63	=	=	=	=		
2N789	SPn	VF	5	1	20*	6*	25	150	45		25	175	u2	Ray	S-6	KC507	>	=	>	>		
2N790	SPn	VF	5	1	40*	8*	25	150	45		25	175	u2	Ray	S-6	KC507	>	=	>	>		
2N791	SPn	VF	5	1	90*	11*	25	150	45		25	175	u2	Ray	S-6	KC507	>	=	>	>		
2N792	SPn	VF	5	1	90*	8*	25	150	45		25	175	u2	Ray	S-6	KC507	>	=	>	>		
2N793	SPn	VF	5	1	330*	13*	25	150	45		25	175	u2	Ray	S-6	KC507	>	=	>	>		
2N794	Gdfp	Sp	0,3	10	> 30	> 25	25	150	13	12	100	100	TO-18	Spr	2	—	—	—	—	—		
2N795	Gdfp	Sp	0,3	10	> 30	> 35	25	150	13	12	100	100	TO-18	Spr	2	—	—	—	—	—		
2N796	Gdfp	Sp	0,3	10	> 50	> 50	25	150	12	12	100	100	TO-18	Spr	2	—	—	—	—	—		
2N797	GMn	Sp	0,25	10	85 > 40	> 600	25	150	20	7	150	100	TO-18	TI	2	—	—	—	—	—		
2N799	Gjp	VF, Sp	0,15	$I_B = 0,4$	60	12*	25	75	25		100	90		Ray	—	—	—	—	—	—		
2N800	Gjp	VF, Sp	0,15	$I_B = 0,4$	60	12*	25	75	25		100	90		Ray	—	—	—	—	—	—		
2N801	Gjp	VF, Sp	0,25	$I_B = 1$	40	6*	25	75	30	18	400	90		Ray	—	—	—	—	—	—		
2N802	Gjp	VF, Sp	0,25	$I_B = 1$	40	6*	25	75	30	18	400	90		Ray	—	—	—	—	—	—		
2N803	Gjp	VF, Sp	0,25	$I_B = 1$	55	11*	25	75	30	18	400	90		Ray	—	—	—	—	—	—		
2N804	Gjp	VF, Sp	0,25	$I_B = 1$	55	11*	25	75	30	15	400	90		Ray	—	—	—	—	—	—		
2N805	Gjp	VF, Sp	0,25	$I_B = 1$	80	17*	25	75	30	12	400	90		Ray	—	—	—	—	—	—		
2N806	Gjp	VF, Sp	0,25	$I_B = 1$	80	17*	25	75	30	12	400	90		Ray	—	—	—	—	—	—		
2N807	Gjp	VF, Sp	0,2	20	60	18*	25	75	35		100	90		Ray	OC170	=	<	>	=	—		
2N808	Gjp	VF, Sp	0,2	20	60	18*	25	75	25		100	90		Ray	OC170	=	<	>	=	—		
2N809	Gjp	VF	6	1	60*	7*	25	75	30	15	200	90		Ray	OC170	=	<	>	=	—		
2N810	Gjp	VF	6	1	60*	7*	25	75	30	15	200	90		Ray	OC170	=	<	>	=	—		
2N811	Gjp	VF	6	1	80*	10*	25	75	30	12	200	90		Ray	OC170	=	<	>	=	—		
2N812	Gjp	VF	6	1	80*	10*	25	75	30	12	200	90		Ray	OC170	=	<	>	=	—		
2N813	Gjp	VF	6	1	140*	20*	25	75	30	10	200	90		Ray	OC170	=	<	>	=	—		
2N814	Gjp	VF	6	1	140*	20*	25	75	30	10	200	90		Ray	OC170	=	<	>	=	—		
2N815	Gjp	VF, Sp	0,75	200	80	8*	25	75	25	20	200	90		Ray	—	—	—	—	—	—		
2N816	Gjp	VF, Sp	0,75	200	80	8*	25	75	25	20	200	90		Ray	—	—	—	—	—	—		
2N817	Gjp	VF, Sp	1	50	25	> 2,5*	25	75	30	25	400	90		Ray	—	—	—	—	—	—		
2N818	Gjp	VF, Sp	1	50	25	> 2,5*	25	75	30	25	400	90		Ray	—	—	—	—	—	—		
2N819	Gjp	VF, Sp	1	50	45	> 5*	25	75	30	20	400	90		Ray	—	—	—	—	—	—		
2N820	Gjp	VF, Sp	1	50	45	> 5*	25	75	30	20	400	90		Ray	—	—	—	—	—	—		
2N821	Gjn	VF, Sp	1	50	70	> 10*	25	75	30	12	200	90		Ray	—	—	—	—	—	—		
2N822	Gjn	VF, Sp	1	50	70	> 10*	25	75	30	15	400	90		Ray	GS507	=	<	=	=	=		
2N823	Gjn	VF, Sp	0,25	20	> 40	12*	25	75	25	24	100	90		Ray	GS507	=	<	=	=	=		
2N824	Gjn	VF, Sp	0,25	20	> 40	12*	25	70	25	24	100	90		Ray	GS507	=	<	=	=	=		
2N825	Gjp	VF, Sp	1	10	95	8*	25	75	30	20	200	90		Ray	GS507	=	<	=	=	=		
2N826	Gjp	VF, Sp	1	10	95	8*	25	75	30	20	200	90		Ray	—	—	—	—	—	—		
2N827	GMp	Spvr	0,3	10	150 > 100	350 > 250	25	150	20	10	100	100	TO-18	Mot	2	—	—	—	—	—		
2N828	GMEp	Spvr	0,3	10	40 > 25	400 > 300	25	150	15	15	200	100	TO-18	Mot	2	—	—	—	—	—		
2N828	GMEp	Spvr	1	150	40 > 25	400 > 300	25	150	15	15	200	100	TO-18	Mot	2	—	—	—	—	—		
2N829	GMEp	Spvr	1	150	80 > 50	400 > 300	25	150	15	15	200	100	TO-18	Mot	2	—	—	—	—	—		
2N834	SPEn	Spvr	1	10	> 25	> 350	25	300	40	30	200	175	TO-18	Mot	2	KSY63	>	=	<	=	=	
2N834A	SPEn	Spvr	1	10	> 25	> 500	25	360	40	30	200	175	TO-18	Ray	2	KSY63	>	=	<	=	=	
2N835	SPEn	Spvr	1	10	> 20	> 300	25	300	25	20	200	175	TO-18	Mot	2	KSY62	>	=	<	=	=	
2N837	Gjp	NF, Sp	0,5	10	> 30		25	150	12	6	100	90	TO-18	Mot	2	GC507	>	>				
2N838	GMEp	Spvr	0,3	10	70 > 30	450 > 300	25	150	30	15	100	100	TO-18	Mot	2	—	—	—	—	—		
2N839	SMn	NF, Sp	5	1	35*	> 30	25	300	45	45	50	175	TO-18	amer	2	KC507	>	=	>	=	=	
2N840	SPn	NF, Sp	5	10	30—100	> 30	25	500	45	45	1 A	200	TO-18	Mot	2	KF506	>	>	>	=	=	
2N841	SPn	NF, Sp	5	10	60—400	> 40	25	500	45	45	1 A	200	TO-18	amer	2	KF508	>	>	>	=	=	
2N841/46	SMn	NF, Sp	5	1	140*	40*	25	300	45	45	50	175	TO-46	amer	2	KC507	=	=	>	=	=	
2N841/51	SMn	NF, Sp	5	1																		

Typ	Druh.	Použití	U_{CE} [V]	I_C [mA]	h_{21E}	f_T [MHz]	T_a [°C]	P_{tot} max [mW]	U_{CB} max [V]	U_{CE} max [V]	I_C max [mA]	T_j max [°C]	Pouzdro	Výrobce	Patice	Náhrada TESLA	Rozdíly					
																	P_C	U_C	f_T	h_{21}	S_{pin}, V_L	F
2N841/KVT	SMn	VF	5	1	140*	40*	25	880	45	45	50	125	epox	amer	S-2	—	—	—	—	—	—	
2N841/TNT	SMn	VF	5	1	140*	40*	25	100	45	45	50	125	epox	amer	28	—	—	—	—	—	—	
2N841/TPT	SMn	VF	5	1	140*	40*	25	150	45	45	50	125	epox	amer	53	—	—	—	—	—	—	
2N842	SMn	VF, NF	5	1	>20*	45 > 30*	25	300	45	45	50	175	TO-18	Tr	2	KC507	>	=	>	>	>	>
2N843	SMn	VF, NF	5	10	>45	65 > 40*	25	300	45	45	50	175	TO-18	Tr	2	KC507	>	=	>	>	>	>
2N844	SMn	VF, NF	10	1	80 > 40	85 > 50*	25	300	60	60	50	175	TO-18	Tr	2	KF506	>	>	=	=	=	=
2N845	SMn	VF, NF	10	1	80 > 40	85 > 50*	25	300	100	80	50	175	TO-18	Tr	2	KF503	>	=	>	=	=	=
2N846	GMp	Spvr	0,5	50	35	450*	25	60	15	15	50	90	TO-18	Spr	2	GF501	>	>	=	=	=	n
2N846A	GMp	Spvr	0,5	10	25—125	450 > > 320	25	60	15	15	100	100	TO-18	Spr	2	GF501	>	>	=	=	=	n
2N846B	GMp	Spvr	0,5	50	20—100	450 > > 320*	25	150	15	15	100	100	TO-18	Phil	2	GF501	>	>	=	=	=	n
2N847	SPn	Sp					25	200	40	25	50	175		Ray		KSY63	>	>			<	
2N848	SPn	Sp					25	200	20	15	50	175		Ray		KSY62	>	>			<	<
2N849	SPn	Spvr	1	10	20—60	>600	25	300	25	15	50	175	TO-50	TI	28	KSY71	>	>	<	>	<	
2N850	SPn	Spvr	1	10	40—120	>600	25	300	25	15	50	175	TO-50	TI	28	KSY71	>	>	<	=	=	
2N851	SPn	Spvr	0,35	10	20—60	>900	25	300	20	12	200	175	TO-50	TI	28	KSY71	>	>	<	>	=	
2N852	SPn	Spvr	0,35	10	40—120	>900	25	300	20	12	200	175	TO-50	TI	28	KSY71	>	>	<	>	=	
2N858	Sp	Sp	0,5	5	10—60	14 > 5	25	150	40	40	50	140	TO-18	Spr	2	KF517	>	=	>	>	>	
2N859	Sp	Sp	0,5	5	25—100	14 > 6	25	150	40	40	50	140	TO-18	Spr	2	KF517	>	=	>	=	=	
2N860	Sp	Sp	0,5	5	10—40	14 > 6,5	25	150	25	25	50	140	TO-18	Spr	2	KF517	>	>	>	>	>	
2N861	Sp	Sp	0,5	5	25—75	22 > 7,5	25	150	25	25	50	140	TO-18	Spr	2	KF517	>	>	>	>	=	
2N862	Sp	Sp	0,5	5	12—48	14 > 8	25	150	15	15	50	140	TO-18	Spr	2	KF517	>	>	>	>	>	
2N863	Sp	Sp	0,5	5	25—100	22 > 10	25	150	25	25	50	140	TO-18	Spr	2	KF517	>	>	>	>	=	
2N864	Sp	Sp	0,5	5	20—100	22 > 16	25	150	6	6	50	140	TO-18	Spr	2	KF517	>	>	>	=	=	
2N864A	Sp	Sp	0,5	5	20—250	>16	25	300	6	6	50	140	TO-18	Spr	2	KF517	>	>	>	=	=	
2N865	Sp	Sp	0,5	5	45—125	52 > 24	25	150	15	15	50	140	TO-18	Spr	2	KF517	>	>	>	=	=	
2N865A	Sp	Sp	0,5	5	45—400	>24	25	300	10	10	50	140	TO-18	Spr	2	KF517B	>	>	>	=	=	
2N869	SPp	VF	5	10	20—120	300 > 100	25	360	25	18		200	TO-18	Mot	2	KF517	>	>	<	=	=	
2N869A	SPp	VF, Sp	0,5	30	40—120	>400	25	360	25	18	200	200	TO-18	Ray, F	2	—	—	—	—	—	—	
2N866	SPn	Sp	10	150	>15	>40	25	500	30	20	600	175	TO-18	TI	2	KFY34	>	>	>	>	n	
2N867	SPn	Sp	10	150	>30	>50	25	500	30	20	600	175	TO-18	TI	2	KFY34	>	>	>	=	n	
2N870	SPn	VF, NF	10	150	40—120	>80	25	500	100	60		200	TO-18	TI, F	2	F503	>	=	>	=		
2N871	SPn	VF, NF	10	150	100—300	>96	25	500	100	60		200	TO-18	TI, F	2	—	—	—	—	—	—	
2N902	SPn	VF	5	1	20*	6*	25	150	45	25		175		Ray		KC507	>	=	>	>		
2N903	SPn	VF	5	1	40*	8*	25	150	45	25		175		Ray		KC507	>	=	>	>		
2N904	SPn	VF	5	1	90*	11*	25	150	45	25		175		Ray		KC507	>	=	>	>		
2N905	SPn	VF	5	1	90*	8*	25	150	45	25		175		Ray		KC507	>	=	>	>		
2N906	SPn	VF	5	1	333*	13*	25	150	45	25		175		Ray		KC507	>	=	>	=		
2N907	SPn	VF, Sp	5	10	35	30*	25	150	45	25		175		Ray		KSY63	>	=	>	=	<	
2N908	SPn	VF, Sp	5	10	75	45*	25	150	45	25		175		Ray		KSY63	>	=	>	=	<	
2N909	Sdfn	VF	10	50	110—350	>80	25	400	60	30		175	TO-18	GE	2	KF508	>	>	<	=	=	
2N910	SPn	Sp, NF	10	10	>75	>60	25	500	100	60		200	TO-18	Ray	2	KF503	>	=	>	=	=	n
2N911	SPn	Sp, NF	10	10	>35	>50	25	500	100	60		200	TO-18	Ray	2	KF503	>	=	>	=	=	n
2N912	SPn	Sp, NF	10	10	>15	>40	25	500	100	60		200	TO-18	Ray	2	KF503	>	=	>	=	=	
2N913	SPn	VFv	1	10	30—120	350	25	360	25	18		200	TO-18	Hug	2	KSY21	=	>	=	=	=	
2N914	SPEn	Spvr	1	10	30—120	>300	25	360	40	15	150	200	TO-18	TI, GI	2	KSY21	=	=	=	=	=	
2N914A	SPEn	Spvr	1	10	>30	>300	25	360	40	15		200	TO-18	F, GE	2	KSY21	=	=	=	=	=	
2N915	SPn	VF, NF	1	10	50—200	400 > 250	25	360	70	50		200	TO-18	TI, MEH	2	KF506	>	=	<	=	=	
2N915A	SPEn	VFu	1	0,01	50—200	>600	25	360	70	50		200	TO-18	Amel	2	—	—	—	—	—	—	
2N916	SPn	VF, NF	1	10	50—200	>300	25	360	45	25		200	TO-18	TI, MEH	2	KF508	>	=	<	>	>	
2N916A	SPEn	VF, NF	5	5	>50	>300	25	360	45	25	200	TO-18	F	2	KSY63	=	=	=	=	=		
2N916B	SPEn	VFv	1	10	50—200	>500	25	360	60	30	200	TO-18	Amel	2	—	—	—	—	—	—		
2N917	SPEn	VFv	1	3	50 > 20	900 > 500	25	200	30	15	50	200	TO-72	TI, RCA	6	KF272	>	=	=	=	=	
2N917A	SPEn	VFv	1	3	20—200	>600	25	200	30	15	50	200	TO-72	Amel	6	KF272	>	=	=	=	=	
2N918	SPn	VFv	1	3	20—200	>600	25	200	30	15	50	200	TO-72	TI, RCA	6	KF272	>	=	=	=	=	
2N919	SMn	VFv, Sp	10	10	4*	400	25	360	25	15	220	175	TO-18	M	2	KSY62	=	=	<	>		
2N920	SMn	VFv, Sp	-10	10	4*	400	25	360	25	15	220	175	TO-18	M	2	KSY62	=	=	<	>		
2N921	SMn	Sp	10	10	4*	400	25	360	50	20	200	175	TO-18	amer	2	KSY63	=	<	<	>		
2N922	SMn	Sp	10	10	4*	400	25	360	50	20	200	175	TO-18	amer	2	KSY63	=	<	<	>		
2N923	Sjp	NF	6	1	21*	>0,8*	25	150	40	25	50	200	TO-18	NSC	2	KF517	>	=	>	=	=	
2N924	SPp	NF	6	1	24—70*	>0,8*	25	250	40	25	100	200	TO-18	NSC	2	KF517	>	=	>	=	=	

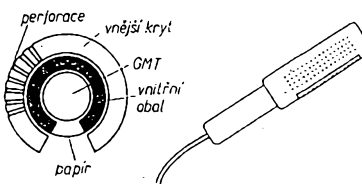
Typ	Druh	Použití	U_{CE} [V]	I_C [mA]	h_{FE} h_{FE} *	f_T f_{α^*} [MHz]	T_a T_c [°C]	P_{tot} P_C max [mW]	U_{CB} max [V]	U_{CE} max [V]	I_C max [mA]	T_j max [°C]	Pouzdro	Výrobce	Patice	Náhrada TESLA	Rozdíly					
																	P_C	U_C	f_T	h_{FE}	$Spln.$, η , F	
2N925	Sjp	NF	6	1	17*	>0,8*	25	150	50	40	50	200	TO-18	NSC	2	KFY16	>	<	>	>	=	
2N926	Spp	NF	6	1	20—55*	>0,8*	25	250	50	40	100	200	TO-18	NSC	2	KFY16	>	<	>	=	=	
2N927	Spp	NF	6	1	15*	>0,8*	25	150	70	60	50	200	TO-18	NSC	2	KFY16	>	<	>	>	=	
2N928	Spp	NF	6	1	34*	>0,8*	25	150	70	60	50	200	TO-18	NSC	2	KFY16	>	<	>	=	=	
2N929	SPEn	VF, NF	5	0,01	40—120	180>30	25	300	45	45	30	175	TO-5	TI, M	2	KC509	=	=	>	>	=	
2N929A	SPEn	VF, NF	5	0,01	40—120	250>45	25	300	60	45	30	175	TO-5	TI, NSC	2	—	—	—	—	—	=	
2N930	SPEn	VF, NF	5	0,01	100—300	180>30	25	300	45	45	30	175	TO-5	TI, NSC	2	KC509	=	=	>	=	=	
2N930/46	SPEn	VF, NF	5	1	>150*	>30	25	400	45	45	30	175	TO-46	amer	2	KC509	<	=	>	<	=	
2N930/KVT	SPEn	VF, NF	5	1	>150*	>30	25	1,2 W	45	45	30	125	epox	amer	S-2	—	—	—	—	—	=	
2N930/TNT	SPEn	VF, NF	5	1	>150*	>30	25	100	45	45	30	125	epox	amer	28	—	—	—	—	—	=	
2N930A	SPEn	VF, NF	5	0,01	100—300	275>45	25	300	60	45	30	175	TO-5	TI, NSC	2	KC507	>	<	=	=	=	
2N930A/46	SPEn	VF, NF	5	1	150*	>30	25	400	60	45	30	175	TO-46	amer	2	KC507	<	<	=	=	=	
2N930A/51	SPEn	VF, NF	5	1	150*	>30	25	150	60	45	30	125	TO-51	amer	28	—	—	—	—	—	=	
2N930B	SPn	VF, NF	5	0,01	100—300	>45	25	30	60	45	30	175	TO-5	Amel	2	KC507	>	<	>	=	=	
2N934	GEp	VF, Sp	0,3	40	60>40	35	25	150	13	12	200	85	TO-18	RCA	2	—	—	—	—	—	=	
2N935	Spp	NF	0,5	$I_B=0,1$	9—22	—	25	250	50	40	100	160	TO-18	Spr	2	KFY16	>	>	>	>	=	
2N936	Spp	NF	0,5	$I_B=0,1$	18—44	—	25	250	50	35	100	160	TO-18	Spr	2	KFY16	>	>	>	>	=	
2N937	Spp	NF	0,5	$I_B=0,1$	36—88	—	25	250	50	30	100	160	TO-18	Spr	2	KFY16	>	>	>	=	=	
2N938	Spp	NF	6	1	9—22*	>1*	25	250	40	35	100	175	TO-18	Spr	2	KF517	>	=	>	>	=	
2N939	Spp	NF	6	1	18—44*	>2*	25	250	40	35	100	175	TO-18	Spr	2	KF517	>	=	>	>	=	
2N940	Spp	NF	6	1	36—88*	>2*	25	250	40	35	100	175	TO-18	Spr	2	KF517	>	=	>	=	=	
2N941	SPEp	Stř	6	1	>25*	>16	25	250	25	8	50	175	TO-18	Spr	2	—	—	—	—	—	=	
2N942	SPEp	Stř	6	1	>25*	>10	25	250	25	8	50	175	TO-18	Spr	2	—	—	—	—	—	=	
2N943	SPEp	Stř	0,5	$I_B=0,1$	>10	>1*	25	250	40	18	50	175	TO-18	Spr	2	—	—	—	—	—	=	
2N944	SPEp	Stř	0,5	$I_B=0,1$	>10	>1*	25	250	40	18	50	175	TO-18	Spr	2	—	—	—	—	—	=	
2N945	SPEp	Stř	6	1	>10	>1*	25	250	50	50	50	175	TO-18	Spr	2	—	—	—	—	—	=	
2N946	SPEp	Stř	6	1	>10	>1*	25	250	80	80	50	175	TO-18	Spr	2	—	—	—	—	—	=	
2N947	SPn	VF, NF	5	10	30>20	320>200	25	360	20	15	—	150	TO-18	SGS	2	KC508	=	=	<	=	=	
2N955	GMn	Sp	0,5	30	60	1000	25	150	12	11	100	90	TO-18	RCA	2	—	—	—	—	—	=	
2N955A	GMn	Sp	0,5	30	50	1000	25	150	12	15	150	90	TO-18	RCA	2	—	—	—	—	—	=	
2N956	SPEn	VF, Sp	10	150	100—300	300>70	25	500	75	50	—	200	TO-18	Mot	2	KF508	>	=	=	=	=	
2N957	Sn	VF	5	10	>45	320>200	25	250	40	20	—	150	TO-18	Ray	2	KC507	>	>	<	>	=	
2N958	SMn	VF, NF	10	10	>20	>200	25	250	25	15	—	150	u5	TRW	28	—	—	—	—	—	=	
2N959	SMn	VF, NF	10	10	>40	>200	25	250	25	15	—	150	u5	TRW	28	—	—	—	—	—	=	
2N960	GMEp	Spvr	1	50	55>20	460>300	25	150	15	15	—	100	TO-18	TI	2	—	—	—	—	—	=	
2N961	GMEp	Spvr	1	50	55>20	460>300	25	150	12	12	—	100	TO-18	TI	2	—	—	—	—	—	=	
2N962	GMEp	Spvr	1	50	55>20	460>300	25	150	12	12	—	100	TO-18	TI	2	—	—	—	—	—	=	
2N963	GMEp	Spvr	0,3	10	>20	>300	25	150	12	12	—	100	TO-18	TI	2	—	—	—	—	—	=	
2N964	GMEp	Spvr	1	50	90>40	460>300	25	150	15	15	—	100	TO-18	TI	2	—	—	—	—	—	=	
2N964A	GMEp	Spvr	1	100	95>40	460>300	25	150	15	7	100	100	TO-18	Mot	2	—	—	—	—	—	=	
2N965	GMEp	Spvr	1	50	90>40	460>300	25	150	12	12	—	100	TO-18	Mot, TI	2	—	—	—	—	—	=	
2N966	GMEp	Spvr	1	50	90>40	460>300	25	150	12	12	—	100	TO-18	Mot, TI	2	—	—	—	—	—	=	
2N967	GMEp	Spvr	0,3	10	>40	>300	25	150	12	12	—	100	TO-18	Mot, TI	2	—	—	—	—	—	=	
2N968	GMEp	Spvr	0,7	25	40>20	320>250	25	150	15	15	—	100	TO-18	Mot, TI	2	—	—	—	—	—	=	
2N969	GMEp	Spvr	0,7	25	40>20	320>250	25	150	12	12	—	100	TO-18	Mot, TI	2	—	—	—	—	—	=	
2N970	GMEp	Spvr	0,7	25	40>20	320>250	25	150	12	12	—	100	TO-18	Mot, TI	2	—	—	—	—	—	=	
2N971	GMEp	Spvr	0,7	25	40>20	320>250	25	150	7	7	—	100	TO-18	Mot, TI	2	—	—	—	—	—	=	
2N972	GMEp	Spvr	0,7	25	85>40	320>250	25	150	15	15	—	100	TO-18	Mot, TI	2	—	—	—	—	—	=	
2N973	GMEp	Spvr	0,7	25	85>40	320>250	25	150	12	12	—	100	TO-18	Mot, TI	2	—	—	—	—	—	=	
2N974	GMEp	Spvr	0,7	25	85>40	320>250	25	150	12	12	—	100	TO-18	Mot, TI	2	—	—	—	—	—	=	
2N975	GMEp	Spvr	0,7	25	85>40	320>250	25	150	7	7	—	100	TO-18	Mot, TI	2	—	—	—	—	—	=	
2N976	GMp	Spvr	0,5	20	>30	>600	25	100	15	10	100	100	TO-18	Spr	2	—	—	—	—	—	=	
2N977	GMp	Sp	5	100	100	500	25	150	15	—	200	90	TO-18	Phil	2	—	—	—	—	—	=	
2N978	Spp	VF, NF	10	150	15—60	65>40	25	330	30	20	15/	100	100	TO-18	SGS, F	2	KF517	>	>	>	>	≥
2N979	Gdfp	Spvr	0,3	10	>30	>100	25	60	20	15/	100	100	TO-18	Spr	2	—	—	—	—	—	=	
2N980	Gdfp	Spvr	0,3	10	>30	100	25	60	20	12	100	100	TO-18	Spr	2	—	—	—	—	—	=	
2N981	Gdfp	Spvr	5	1	>36*	80	25	500	80	80	100	200	TO-18	Amer	2	—	—	—	—	—	=	

Laděné obvody musí být mechanicky stabilní, jinak se násobič otresy rozladují. Tepelná nestabilita obvodu není komplikací, neboť kmitočet se posouvá u všech obvodů současně. Napájecí napětí nemá stabilizováno. Jen málokdy použiji mezní šířku pásmo 100 Hz. Při častých a velkých změnách napětí v síti je stabilizace anodového i žhavicího napětí účelná.

Násobič jsem měřil asi rok po posledním sladění mf. Teprve po napsání tohoto článku jsem násobič Q znova doladil a změřil. Výsledek měření — B_{6dB} — 100 Hz, 20 dB — 250 Hz, 40 dB — 700 Hz, 60 dB — 1 600 Hz, 80 dB — 2 800 Hz pro celé zapojení podle obr. 1 v porovnání s tabulkou I přibližně ukazuje, jaká je stálost vlastnosti násobiče.

Theoreticky lze dosáhnout u čtyřobvodového násobiče Q na kmitočtu 400 kHz šířky pásmo pro útlum 60 dB menší než jeden kHz. Stíněním a pečlivější konstrukcí násobiče je jistě možné se k této hodnotě přiblížit.

Použitím polovodičů by se násobič Q dal značně zminiaturnizovat. Na obr. 3 je zapojení, které se mi při pokusech s tranzistorovými násobiči Q nejlépe osvědčilo. Hodnoty platí pro stejný obvod ($f = 400$ kHz, $Q_0 = 300$, $L = 570 \mu\text{H}$) jako u elektronkového násobiče. Domnívám se, že čtyřnásobný násobič Q svým poměrně jednoduchým provedením, uspokojivými vlastnostmi a finanční nenáročností je schopen částečně vyplnit mezeru, která vzniká nedostatkem a nedostupností levných a přitom kvalitních filtrů pro CW.



Obr. 2. Uspořádání držáku GMT

Celý přístroj (obr. 1) — kromě GMT, která je v rukojeti a je spojena s přístrojem kablikem — se vejde do malé krabice (s baterií). Transformátor T_r navineme na feritové jádro E se středním sloupkem asi 8×8 mm. Vinutí L_1 má 50, L_2 80 a L_3 3 000 závitů, vše drátem o $\varnothing 0,1$ mm CuL. Začátky vinutí jsou označeny tečkou. Kdyby měnič nechtěl kmitat po zapnutí baterie, přehodime vývody některého z vinutí L_1 nebo L_2 (pouze u jednoho!). Usměrňovač použijeme selénový na 500 V, 3 mA. Kondenzátor C_2 má být kvalitní na 500 V. Reproduktor stačí nějaký malý z tranzistorového přijímače nebo ze sluchátka. Měřidlo má základní rozsah asi 200 μA . Trubice GM je v kovovém válcovém krytu, který má po celé délce trubice podélný otvor v šířce trubice. Otvor polepíme obyčejným kancelářským papírem, který nepropouští připadně dopadající částice alfa. Na tento vnitřní kryt nastrčíme další kovový válec, který se může kolem vnitřního otáčet. Obvod tohoto válce je rozdělen na tři části: jedna je vyříznuta asi jako uvnitřní části, druhá provrtána děrami o \varnothing asi 3 mm jako šachovnice, třetí je ponechána bez narušení. Otáčením těchto částí (vzhledem k otvoru vnitřní trubky, která je polepena papírem) brzdíme dopad některých částic (obr. 2). Otvor volný, zakrytý pouze papírem, indikuje částečky β_1 , perforovaný kryt propouští částečky β_2 a částečky γ procházejí tlustším kovovým krytem. Při uvádění do chodu použijeme jako zářič svítici číselník hodinek nebo přístrojů — především starých, „válečných“ — u novějších již svítici materiály žádné částice nevyzařují. Dobrý přístroj na vzdálen-

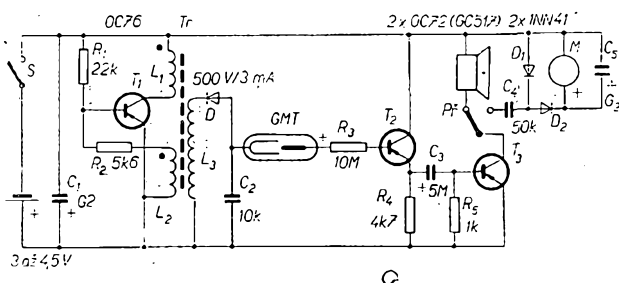
Indikátor rentgenového záření

Rentgenometry a indikátory záření jsou přístroje dosti drahé a pro obyčejného smrtelníka těžko dostupné. Jejich sestavení, pokud se spokojíme jen s indikací úrovně záření a přibližným měřením, je však poměrně jednoduché. Jediným problémem je GMT — Geiger-Müllerova trubice — samotný indikátor. Tyto trubice se však vyrábějí i u nás (GM16/50B — výrobek Tesla-Rožnov); lze použít i sovětský typ CTC-5. Oba druhy indikátorů potřebují poměrně malé napájecí napětí — 400 až 500 V — které lze získat z tranzistorového měniče.

Činnost přístroje

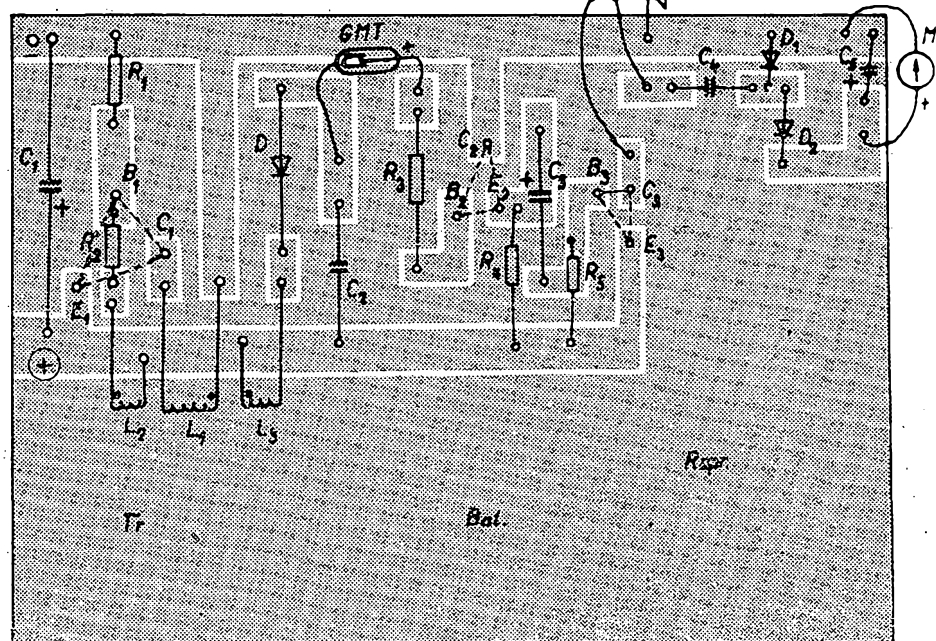
Napájecí napětí přístroje je 3 V, popř. 4,5 V, odběr je asi 15 až 30 mA. Tranzistorovým měničem přivádíme napájecí napětí asi na 500 V. Přístroj

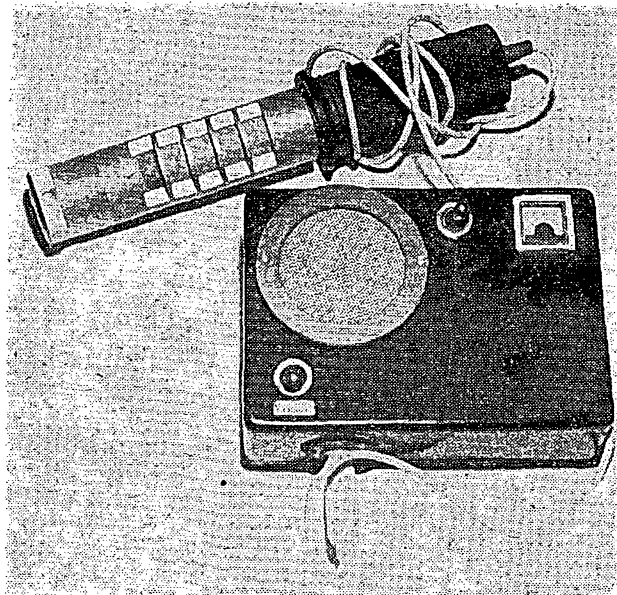
dopady částic ukazuje ručka měřidla „skoky“, stálé záření způsobí i stálou výchylku ručky měřidla. Měřidlo je možné i ocejchovat podle továrního přístroje v milirentgenech.



Obr. 1. Schéma zapojení indikátoru

je však zcela bezpečný, neboť zdroj napětí 500 V je velmi „měkký“. Střídavé napětí sekundárního vinutí transformátoru usměrňujeme a přivádíme na GMT (pozor na správnou polaritu!). Částečky beta a gamma, které vycházejí ze zdrojů záření (kosmické záření, záření radioaktivní, rentgenové) dopadají na GMT, bombardují trubici, která na tyto dopady částeček reaguje. Částečky, které vznikají při rozpadu atomu, mají poměrně velkou energii a při dopadu na trubici vytvárají v její plynové náplni ionizaci. Vnitřní odpór v trubici mezi anodou a katodou se prudce zmenší a vznikne mezi nimi výboj obdobně, jako např. u fotografického blesku při přiložení zápalného impulsu na výbojku. Jednotlivé dopady částeček se jeví jako impulsy, které přes dvoustupňový tranzistorový zesilovač vedeme do reproduktoru nebo na indikační měřicí přístroj. V reproduktoru jednotlivé dopady částeček slyšíme jako praskot, častěji dopady se slévají v charakteristický šum. I v prostředí, kde není zdroj záření, slyšíme asi po vteřině praskot, to jsou částice kosmického záření. Přepneme-li přístroj,





Obr. 4. Vnější uspořádání

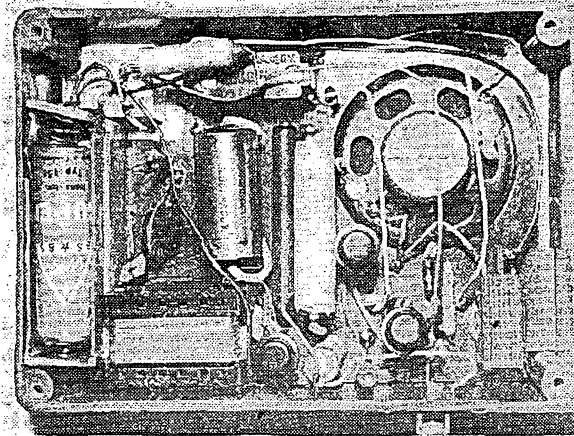
nost jednoho metru ukazuje přítomnost zářících předmětů, popřípadě i vyzařování televizních přijímačů. Ještě pro informaci uvádí, že 25 impulsů (odpadů častic) za vteřinu představuje záření o síle 1 mr. (milirentgen/hod.). Smrtelná dávka záření se pohybuje kolem 50 až 100 rentgenů/hod. Destička

s plošnými spoji je na obr. 3; na obr. 4 a 5 je vnitřní a vnější uspořádání přístroje.

- er

Literatura

Funktechnik č. 23/1966.
Funktechnik č. 19/1968.



Obr. 5. Rozmístění součástek v indikátoru

proudů, než u zesilovačů s bipolárními tranzistory s velmi velkým proudovým zesilovacím činitelem. Ještě menších vstupních proudů by bylo sice možno dosáhnout s tranzistory se strukturou MOS, tyto tranzistory se však velmi lehce zničí průrazem při napěťových špičkách. Pro ochranu těchto tranzistorů je zapotřebí používat diody s velkou plochou přechodu. Přidáním diod se uplatní jejich zbytkové proudy, které značně zhorsují pracovní poměry vstupních tranzistorů se strukturou MOS.

Zjednodušené zapojení operačního zesilovače typu $\mu A740$ je na obr. 2. Vzhledem k tomu, že jde pravděpodobně o koncepcioně zcela nové zapojení zesilovače v monolitické technologii (firma Fairchild je zatím pravděpodobně jediným výrobcem, kterému se úspěšně podařilo řešit tranzistory se strukturou FET upravenou monolitickou technologií), bylo toto zapojení publikováno ve značně zjednodušené podobě v [1]. Pro úplnost je na obr. 3 uvedeno náhradní zapojení operačního zesilovače typu $\mu A740$ v podobě, uváděné firmou Fairchild v katalogových listech. Také toto zapojení vystihuje vnitřní strukturu velmi zjednodušeně. Pro další úvahy budeme používat zapojení podle obr. 2. Konstrukce vstupního stupně se značně liší od obvyklých řešení konvenčních monolitických operačních zesilovačů. Zdroj proudu I_1 dodává proud asi $200 \mu A$ do elektrody D tranzistoru T_1 . Zdroj I_2 dodává proud asi $400 \mu A$. Z toho teče jednak proud $200 \mu A$ do elektrody S tranzistoru T_1 a jednak $200 \mu A$ odporem R_1 a dál se dále mezi tranzistory T_2 a T_3 . Odpor R_3 je volen tak, aby na něm vznikl úbytek asi $1,5$ V. Tímto způsobem se zajistí, aby napětí mezi elektrodami S a D nepresáhlo součet úbytků na odporu R_1 a emitorovém přechodu tranzistorů T_2 , tj. asi $2,2$ V. Tímto omezením napětí se chrání tranzistor FET proti průrazu mezi elektrodami S a D. Stejně je chráněn i druhý tranzistor se strukturou FET. Přitom ještě tranzistory T_1 a T_2 pracují v lineární oblasti nad velikostí tzv. napěti „pinch-off“.

Přestože to nevyplývá přímo ze zjednodušeného zapojení na obr. 2, jsou vstupní tranzistory se strukturou FET chráněny proti průrazu diferenciálním napětím až do 30 V. Použitím tranzistorů T_3 a T_4 je zajistěno, že napětí mezi hradlem a dolní elektrodou tranzistorů T_1 a T_2 nepřestoupí 6 V (což je napětí bezpečně menší než je závěrné napětí). Tranzistory T_3 a T_4 s vodivostí

Monolitický operační zesilovač $\mu A740$

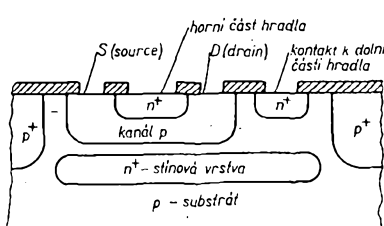
Ing. Jiří Zima

Mezi poslední úspěchy v monolitické technologii patří možnost řešit operační zesilovače se vstupním odporem řádu tisíců megaohmů. Tím, že se podařilo sloučit technologii tranzistorů řízených elektrickým polem s technologií bipolárních tranzistorů, lze navrhnut operační zesilovače se vstupním proudem řádu $100 \mu A$, tj. více než desetkrát menším než u zesilovačů se vstupem s bipolárními tranzistory. Také vstupní proudová nesymetrie je u těchto operačních zesilovačů více než pětkrát menší a typicky bývá $20 \mu A$.

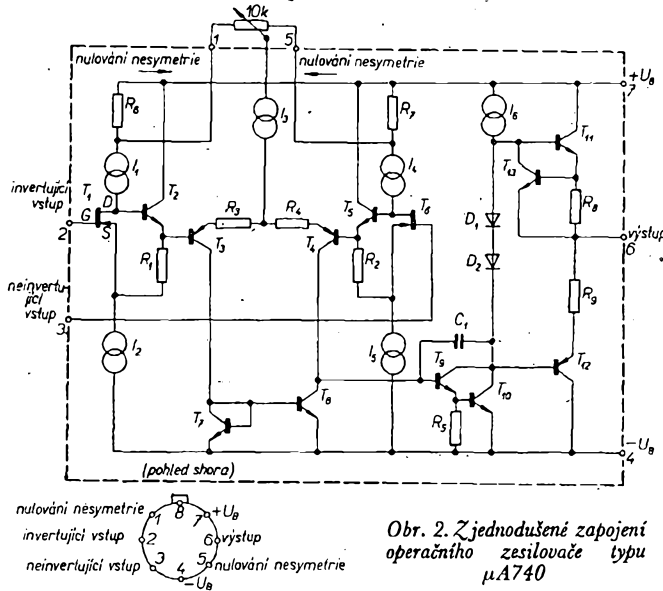
Technologická obtížnost řešení tranzistorů typu FET ve struktuře operačních zesilovačů vyplývá z nutnosti dosáhnout velmi přísné kontroly tenké vrstvy kanálů v poměrně značně velké ploše. Tloušťka difúzního kanálu bývá několik deseti mikrometrů. Tranzistory typu FET, použité v operačním zesilovači typu $\mu A740$, mají strukturu podle obr. 1. K technologické realizaci operačního zesilovače se používá jako

základ křemíková destička s vodivostí typu p. V místě, kde má být uložen tranzistor typu FET, je do křemíkové destičky difúzí vytvořena bohatě dotovaná stínová vrstva s vodivostí typu n⁺. Dále se na substrát typu p nanese epitaxní vrstva typu n. Hloubkovou izolační difúzí typu p je epitaxní vrstva rozčleněna na řadu elektricky izolovaných funkčních oblastí. Do funkční oblasti typu n je nyní difúzí vytvořena oblast typu p, která vytvoří kanál. Horní hradlo se získá další difúzí typu n⁺. Touto difúzí se vytvoří v dolním hradle tzv. kontaktní difúzní vrstva. Elektroda S (source) je umístěna na jedné straně kanálu. Horní hradlo je propojeno hliníkovým spojem s kontaktem k dolnímu hradlu. Mezi hradlo a elektrodu „source“ je připojeno napětí v závěrném směru. Při změnách tohoto napěti dochází k rozšířování a zužování přechodu p-n mezi střední kanálovou vrstvou a krajními hradlovými vrstvami. Vlivem toho dochází ke změnám efektivního průřezu kanálu a tím i ke změnám vnitřního odporu kanálu.

Použití tranzistorů se strukturou FET u operačního zesilovače umožňuje dosáhnout menších vstupních pracovních



Obr. 1. Příklad struktury monolitického tranzistoru FET



Obr. 2. Zjednodušené zapojení operačního zesilovače typu μA740

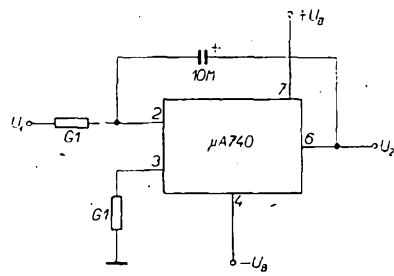
typu p-n-p mají emitorové přechody se závěrným napětím větším než 60 V. Protože je proudová strmost tranzistorů FET poměrně malá, bylo nutno pro dosažení dostatečného napěťového zlepšení použít velké zatěžovací impedance, vytvořené tzv. aktivní zátěží s tranzistorem p-n-p v zapojení se společným emitem (ze zapojení na obr. 2 to přímo nevyplývá).

Druhý stupeň s tranzistory T₇ a T₈ tvoří tzv. „aktivní zátěž“ pro kolektory tranzistorů T₃ a T₄. Na tomto stupni se jednak sčítají signály z obou větví, jednak stupeň přispívá k účinnému počítání společných signálů.

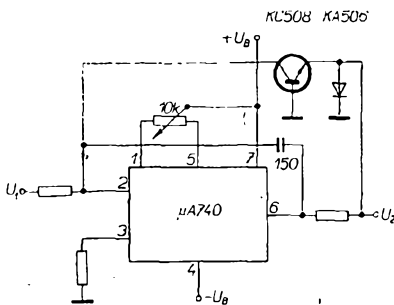
Buduč s Darlingtonovým zapojením tranzistorů T₉ a T₁₀ je zapojen jako Millerův integrátor s kapacitní zpětnou vazbou, vytvořenou kondenzátorem se strukturou MOS. Integrátorem se omezuje napěťové zlepšení na výšich kmototech a zajíšťuje kmitočtovou stabilitu operačního zesilovače, aniž by bylo třeba používat vně připojované diskrétní prvky.

Výstupní stupeň je řešen komplementární dvojicí tranzistorů T₁₁ a T₁₂ a má výstupní odpor 75 Ω a velmi malé zkreslení i při malých signálech. Tep-

lotně je koncový zesilovač stabilizován dvojicí diod mezi tranzistory T₁₁ a T₁₂. Výstup zesilovače se chrání proti přetížení nebo i úplnému zkratu omezením výstupního proudu k kladnému polu zdroje blokováním tranzistoru T₁₁ ochranným tranzistorem T₁₃ a omezením výstupního proudu ze záporného polu zdroje odporem R₉.

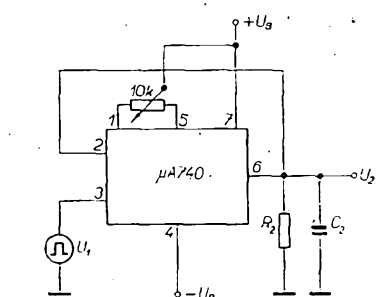


Obr. 5. Zapojení integrátoru s operačním zesilovačem typu μA740



Obr. 6. Zapojení logaritmického zesilovače s operačním zesilovačem typu μA740

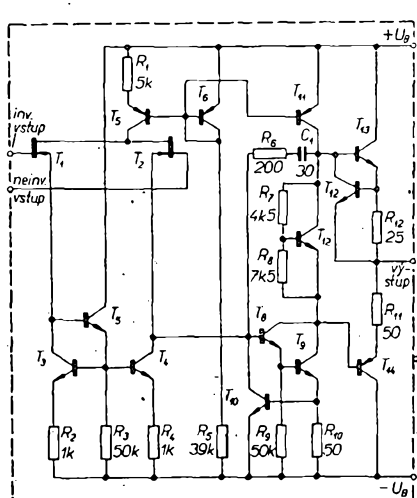
V tab. 1 jsou porovnány parametry operačního zesilovače se vstupními tranzistory se strukturou FET se dvěma vybranými klasicky řešenými monolitickými operačními zesilovači, které používají na vstupu bipolární tranzistory s velkým proudovým zlepšením. Jeden ze srovnávacích zesilovačů pracuje s malým diferenciálním napěťovým rozkmitem a druhý zesilovač pracuje s velkým diferenciálním napěťovým rozkmitem. Ve srovnání s druhým typem klasicky řešeného operačního zesilovače je operační zesilovač s tranzistory se strukturou FET ještě lepší. Obdobně vyznívá srovnání i ve vstupní proudové nesymetrii a v rychlosti odezvy. Ve velikosti rozkmitu výstupního napětí je operační zesilovač typu μA740 srovnatelný s druhým druhem klasicky řešeného monolitického zesilovače.



Obr. 4. Zapojení pro měření odezvy na jednotkový impuls zesilovače typu μA740

Tab. 1. Hlavní parametry zesilovače typu μA740 a klasických operačních zesilovačů s bipolárními tranzistory

Parametr	Druh operačního zesilovače		
	vstup FET	zesilovač s bipolárními tranzistory s malým napěťovým rozkmitem	zesilovač s bipolárními tranzistory s velkým napěťovým rozkmitem
Vstupní proud	100 pA	800 pA	8 000 pA
Vstupní proudová nesymetrie	10 pA	50 pA	1 000 pA
Rychlosť odezvy	6 V/μs	0,1 V/μs	2,5 V/μs
Diferenc. nap. rozkmit	30 V	0,5 V	30 V
Vstup. napěť. nesymetrie	10 mV	0,7 mV	2 mV
Potlač. nesym. napáj. napěti	80 dB	96 dB	86 dB
Cíniln. potlač. nesymetrie společ. signálu	70 dB	80 dB	80 dB
Napěťový zisk	120 dB	100 dB	100 dB



Obr. 3. Jiné zjednodušené zapojení operačního zesilovače typu μA740 podle katalogu firmy Fairchild

Tab. 2. Přehled hlavních parametrů operačního zesilovače typu μA740 při napájecím napětí $U_B = \pm 15$ V a pracovní teplotě $25^\circ C$

Parametr	Podmínky	Min.	Typ.	Max.	Jedn.
Vstupní napěťová nesymetrie	$R_S \leq 100 k\Omega$		10	20	mV
Vstupní proudová nesymetrie			40		pA
Vstupní proud			100	200	pA
Vstupní odpor			1 000 000		MΩ
Napěťový zisk	$R_Z \geq 2 k\Omega$, $U_i = \pm 10$ V	50 000	1 000 000		
Výstupní odpor			75		Ω
Omezení výstupního proudu			20		mA
Cinutel potlačení společného signálu		64	80		dB
Potlačení nesym. napáj. napěti			70	300	μV/V
Napájecí proud			4,2	5,2	mA
Spotřeba			126	156	mW
Rychlosť odzvy			6		V/μs
Šířka pásma			3		MHz
Odezva (jedn. zisk)	$C_Z \leq 100 pF$, $R_Z = 2 k\Omega$, $U_i = 100 mV$				
Doba čela			110		ns
Přesah			10	20	%

Tab. 3. Přehled základních parametrů pro rozsah teplot -55 až $+85^\circ C$ a napájecí napětí $U_B = \pm 15$ V

Parametr	Podmínky	Min.	Typ.	Max.	Jedn.
Vstupní napěťový rozsah		± 10		± 12	V
Napěťový zisk		25 000			
Rozkmit výstup. napěti	$R_Z \geq 10 k\Omega$	± 12	± 14		V
	$R_Z \geq 2 k\Omega$	± 10	± 13		V
Vstupní napěťová nesymetrie	$R_S \leq 100 k\Omega$		15	30	mV
Vstupní proudová nesymetrie	$\theta = -55^\circ C$		185		pA
	$\theta = +85^\circ C$		30		pA
Vstupní proud	$\theta = -55^\circ C$			200	pA
	$\theta = +85^\circ C$			2,5	nA

Vstupní napěťová nesymetrie je sice u operačního zesilovače podstatně větší (asi 5 až 13krát), lze ji však nastavit na nulu vně připojeným potenciometrem 10 kΩ. Cinutel potlačení vlivu nesymetrie napájecích napěti, cinutel potlačení společného napěti i napěťový zisk jsou u všech tří příkladů monolitických operačních zesilovačů velmi blízké.

Přehled hlavních parametrů operačního zesilovače typu μA740 při napájecím napětí $U_B = \pm 15$ V a pracovní teplotě $25^\circ C$ je v tab. 2. Pro přesnější doplnění podmínek pro určení odezvy na napěťový jednotkový vstupní impuls udává výrobce základní zapojení podle obr. 4.

V tab. 3 jsou velikosti některých základních parametrů pro rozsah teplot -55 až $+85^\circ C$ při typickém napájecím napěti $U_B = \pm 15$ V.

Mezní parametry jsou v tab. 4. Z této tabulky vyplývá, že operační zesilovač je velmi odolný proti změnám a má velmi široké aplikační možnosti.

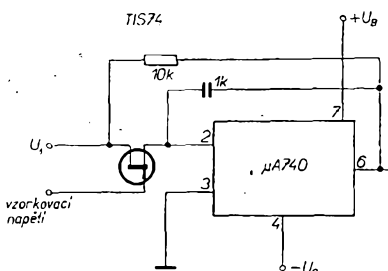
Operační zesilovač typu μA740 je v pouzdru typu TO-5 s osmi vývodami. Mezi typické aplikace operačního zesilovače typu μA740 patří integrátor s velkou časovou konstantou až několik desítek minut (obr. 5). Vlivem vstupní proudové nesymetrie, která je typicky 20 pA, bude v tomto případě chybou napětí asi 2 mV. Vliv tohoto chybouvého napětí spolu se vstupní napěťovou nesymetrií je v případě potřeby možno potlačit potenciometrem, který se připojuje krajními body k vývodům 1 a 5 a běžem ke kladnému pólmu napájecího napěti.

Tab. 4. Mezní parametry operačního zesilovače μA740

Parametr	Max.
Napájecí napěti	± 22 V
Vnitřní výkonová ztráta	50 mW
Diferenciální vstupní napěti ¹⁾	± 30 V
Vstupní napěti ²⁾	± 15 V
Napěti mezi vývody 1 a 5 a vývodem 7	$\pm 0,5$ V
Rozsah skladovací teploty	-65 až $+150^\circ C$
Rozsah pracovní teploty	-55 až $+125^\circ C$
Teplota pájení (6 s)	300 °C

Pozn.: 1. Při teplotě nad $75^\circ C$ se zmenší výkonová ztráta s rychlosťí $6,5$ mW/°C.

2. Pro napájecí napěti menší než ± 15 V je rozsah vstupních napěti roven napájecímu napětí.

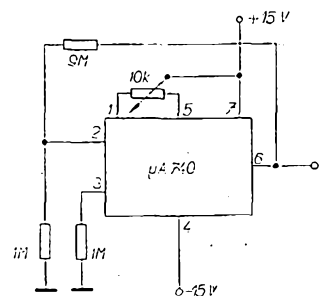


Obr. 7. Zapojení vzorkovacího zesilovače s operačním zesilovačem typu μA740

Jinou výhodnou aplikací operačního zesilovače typu μA740 je logaritmický zesilovač. Příklad zapojení s vybraným tranzistorem KC508 je na obr. 6. Aby bylo výstupní napěti přesným logaritmickým vstupního napěti, musí být proud emitorového přechodu exponenciální funkcí napěti na přechodu emitor-báze zvoleného tranzistoru. S operačním zesilovačem typu μA740 je možno dosáhnout vyhovujícího logaritmování přes čtyři dekády vstupního napěti, zatímco s kvalitními operačními zesilovači s bipolárními tranzistory na vstupu je obtížné obsáhnout tři dekády.

Dále se operační zesilovač typu μA740 osvědčuje při aplikaci ve vzorkovacích zesilovačích (sample and hold amplifiers). Ukázka zapojení s klíčovacím tranzistorem se strukturou FET je na obr. 7. V této aplikaci využívá velmi malý vstupní proud zesilovače (100 pA).

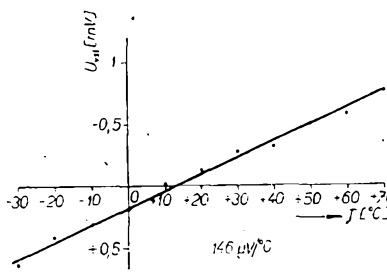
Operační zesilovač typu μA740 je dalším důležitým doplňkem stávajícího sortimentu průmyslových lineárních obvodů a je prvním standardně vyráběným monolitickým obvodem jak s bipolárními tranzistory, tak i s tranzistory se strukturou FET. Tento zesilovač se uplatní i v technice Hi-Fi jako snímací zesilovač s velkou vstupní impedancí pro zdroje signálu s velkou impedancí, jako jsou např. keramické nebo krystallové přenosky. Je možno předpokládat, že během krátké doby se sortiment monolitických operačních zesilovačů se



Obr. 8. Zapojení pro měření teplotního driftu vstupní napěťové a proudové nesymetrie

vstupními tranzistory se strukturou FET dále rozšíří.

Pozn. Na několika vzorcích operačních zesilovačů μA740, které pro experimentální práce poskytla firma Fairchild, jsme změřili teplotní závislost vý-



Obr. 9. Typická závislost ekvivalentní vstupní napěťové nesymetrie v operačním zesilovači typu μA740

stupního napěti v zapojení podle obr. 8. Při teplotě okolo 12 °C jsme nastavili potenciometrem 30 kΩ napětí na výstupu na nulu. Potom se destička s měřenými obvody vložila do prostoru s nastavitelnou teplotou. Měření jsme něko-

U sledovaných čtyř vzorků nebyla zjištěna žádná hysterese výstupního napěti. Při přepočtu změny výstupního napěti na odpovídající vstupní napěťovou nesymetrii (zisk 40 dB) se pohyboval průměrný drift napěťové vstupní nesymetrie od 120 do 180 μ V/°C. Příklad typické teplotní závislosti ekvivalentní vstupní napěťové nesymetrie je na obr. 9. V tomto případě byl průměrný drift 146 μ V/°C. V katalogu se u těchto zesilovačů firmy Fairchild teplotní drift napěťové i proudové nesymetrie neudává, neboť tyto údaje nejsou vzhledem k předpokládanému aplikačnímu využití podstatné.

Literatura

- [1] McCaffrey, T.; Brandt, R.: Fet Input Reduces IC Op Amplifier Bias and Offset. Electronics č. 12/1970, str. 85–88.
- [2] Firemní literatura fy Fairchild.

* * *

Křemíkové výkonové tranzistory n-p-n STS-1131 až STS-1134, vyrobené trojí difuzí, dodává firma Sencitron Semiconductor. Jejich napětí kolektoru proti emitoru je od 225 (pro STS-1131) do 400 V (STS-1134), proudové zesílení od 18 do 60 při proudu kolektoru 3 A. Mezní hodnota teploty okolo 200 °C dovoluje jejich spolehlivý provoz při vysokých teplotách. Sž

Přehled nf zesilovačů Tesla na našem trhu

Protože se stále zvětšuje počet zájemců o jakostní reprodukci hudby a do redakce přichází stále větší počet žádostí o sdělení údajů nf zesilovačů, které jsou u nás k dostání, uveřejňujeme tabulkou s hlavními technickými vlastnostmi zesilovačů, které vyrábějí jednotlivé závody n. p. Tesla. Údaje jsou

uváděny podle ČSN pro nf zesilovače.

Všechny zesilovače vyhoví pro středně náročný poslech reprodikované hudby, některé z nich (viz testy v AR a HaZ) lze zařadit do třídy Hi-Fi. Ikonkrát opakovali „v obou směrech“ v rozsahu teploty -30 až $+80$ °C.

Nf zesilovače is. výroby

Označení výrobku	ZC 20	AZS 171/A	AZS 175 stereo	MUSIC 15 mono	MUSIC 30 stereo
	Výrobce	Tesla Litovel	Tesla V. Meziříčí	Tesla V. Meziříčí	Tesla Vráble
Napájecí napěti a příkon	120/220 V, 50 Hz, 35 W	120/220 V, 50 Hz, 60 W	120/220 V, 50 Hz, 60 W	120/220 V, 50 Hz, 28 W	120/220 V, 50 Hz, 52 W
Výstupní hudební výkon	2 × 15 W	2 × 15 W	2 × 15 W	15 W	2 × 15 W
Výstupní sinusový výkon	2 × 8 W	2 × 10 W	2 × 10 W	10 W	2 × 10 W
Harmonické zkreslení	menší než 1 %	menší než 3 %	menší než 3 %	menší než 1 %	menší než 1 %
Kmitočtový přenos	20 až 20 000 Hz, ±3 dB	40 až 15 000 Hz, ±3 dB	40 až 15 000 Hz, ±2 dB	30 až 20 000 Hz, ±2 dB	30 až 20 000 Hz, ±2 dB
Korekce – hloubky	±12 dB, f = 100 Hz	±12 dB, f = 50 Hz	±12 dB, f = 50 Hz	±15 dB, f = 40 Hz	+16 dB, -20 dB, f = 40 Hz
Filtrové	– výšky	±12 dB, f = 10 kHz	±12 dB, f = 10 kHz	±12 dB, f = 15 kHz	±15 dB, f = 15 kHz
– hlukový	f _m = 100 Hz, 12 dB/okt.	—	—	—	f _m = 100 Hz, -5 dB; -10 dB/okt.
– šumový	f _m = 5 kHz, 12 dB/okt.	—	—	—	f _m = 8 kHz, -5 dB; -10 dB/okt.
– intim	f = 1 kHz, -15 dB; f = 50 Hz, -4 dB; f = 15 kHz, -10 dB	—	—	—	—
– „presence“	—	—	—	—	f = 3 000 Hz, +8 dB
Odstupek hlučku	—62 dB	—55 dB	—55 dB	—65 dB	—65 dB
Rozsah využívání kanálů	min. 17 dB	min. 10 dB	10 dB	—	12 dB
Přeslechy	—40 dB, f = 1 kHz	—40 dB, f = 1 kHz	—40 dB	—	—50 dB
Vstupy mikrofon	—	3 mV/10 kΩ	3 mV/10 kΩ	1 mV	1,4 mV/50 kΩ
přenoska magnetodynamická	10 mV/47 kΩ	—	5 mV/50 kΩ	—	4 mV/47 kΩ
piezoelektrická	200 mV/1 MΩ	3 mV/10 kΩ	3 mV/10 kΩ	100 mV/1 MΩ	200 mV/0,5 MΩ
rozhlasový přijímač	3 mV/1 kΩ	30 mV/100 kΩ	30 mV/100 kΩ	—	100 mV/10 kΩ
magnetofon	250 mV/30 kΩ	200 mV/100 kΩ	200 mV/100 kΩ	300 mV/20 kΩ	100 mV/10 kΩ
elektrofon. kytara	—	—	—	50 mV/50 kΩ	—
dozvukové zařízení	—	—	—	50 mV/50 kΩ	5 mV/10 kΩ
Rozměry	450 × 350 × 90 mm	300 × 236 × 90 mm	319 × 255 × 123 mm	315 × 245 × 95 mm	ARS 300 – 434 × 290 × 102,5 mm ARS 301 – 434 × 350 × 102,5 mm
Váha	7 kg	6 kg	6,4 kg	5,5 kg	8 kg
Maloobchodní cena	2 900,—	1 600,—	1 950,—	900,—	3 750,—

TRANZISTOROVÝ PŘIJÍMAČ PERLA

Tranzistorový přijímač Perla je kabelkový přijímač pro příjem velmi krátkých, krátkých, středních a dlouhých vln. K příjmu středních a dlouhých vln slouží feritová anténa, pro krátké a velmi krátké vlny teleskopická vysouvací anténa. Přijímač má připojku pro sluchátko, magnetofon a vnější zdroj napájení a přepínací tónovou clonu (2 polohy). Přijímač se napájí 6 V (4 monočlánky 1,5 V). Jde o dovážený rumunský výrobek podle japonské licence.

Technické údaje

Ozubení polovodičů

- T_1 2SA435, mf zesilovač pro VKV
- T_2 2SA235, směšovač a oscilátor pro VKV
- T_3 2SA234, kmitající směšovač pro rozsahy AM, mf zesilovač pro VKV
- T_4 , 2SA234, mf zesilovač pro FM
- T_5 2SA234, mf zesilovač pro AM a FM
- T_6 EFT352, (EFT253), nf zesilovač
- T_7 EFT352 (EFT353), budicí stupeň
- T_8 EFT322 (EFT323), souměrný koncový zesilovač
- T_9 EFT322 (EFT323), souměrný koncový zesilovač
- T_{10} EFT317 (EFT319), mf zesilovač pro AM
- D_1 EFD112, omezovač pro FM
- D_2 EFD112, vyrovnávání citlivosti pro AM
- D_3 EFD115, demodulátor pro FM
- D_4 EFD115, demodulátor pro FM
- D_5 EFD107, demodulátor pro AM
- D_6 EFD112, omezovač pro AM
- D_7 EFD111, omezovač pro FM

Vlnové rozsahy: VKV 88 až 104 MHz (3,4 až 2,9 m), krátké vlny 5,9–18 MHz (51 až 16,6 m), střední vlny 530 až 1605 kHz (566 až 187 m), dlouhé vlny 150 až 300 kHz (2 000 až 1 000 m).

Průměrná citlivost: VKV 25 μ V, KV 70 μ V, SV 300 μ V/m, DV 450 μ V/m.

Průměrná selektivita: VKV 18 dB (rozladění 300 kHz), KV, SV, DV 22 dB (rozladění 9 kHz).

Mezifrekvence: 10,7 MHz pro VKV, 455 kHz pro KV, SV, DV.

Výstupní výkon: 500 mW při zkreslení menším než 10 %.

Reprodukтор: dynamický 3 VA, impedance 3 Ω .

Příkon: bez vybuzení 50 mA, při vybuzení na 500 mW asi 176 mA.

Rozměry a váha: šířka 274 mm, výška 171 mm, hloubka 73 mm, 2 kg včetně zdrojů.

Popis činnosti

Přijímač je zapojen zcela běžně jak v části, která zpracovává vf signál, tak i v nf zasilovači. Vstupní signál VKV, zazycený teleskopickou anténou, se zasiluje tranzistorem T_1 a směšuje v obvodu tranzistoru T_2 (kmitající směšovač) se signálem oscilátoru na mf kmitočet 10,7 MHz.

Tranzistor T_3 slouží jednak jako první mf zasilovač pro VKV a jednak jako kmitající směšovač pro rozsahy AM.

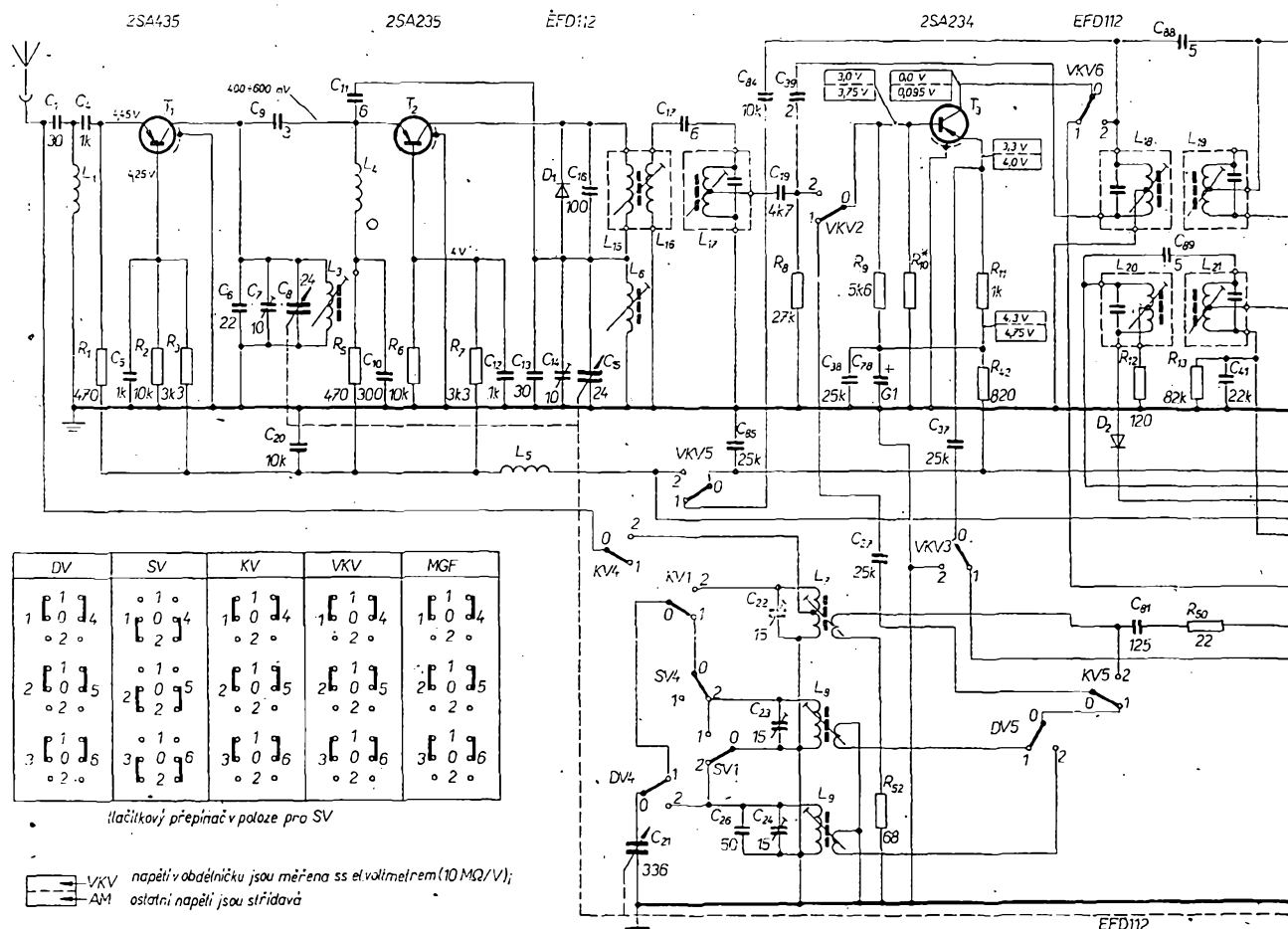
Tranzistor T_4 pracuje jako mf zasilovač pro VKV, T_5 jako mf zasilovač pro VKV a AM. Jako omezovač pro VKV slouží dioda D_1 , signál VKV se demoduluje v poměrovém detektoru s diodami D_3 a D_4 . Signály AM demoduluje dioda D_5 .

Nf signál se zasiluje nf zasilovačem s transformátory, budicím a výstupním. Budicí stupeň nf zasilovače je osazen tranzistorem T_7 , souměrný koncový stupeň nf zasilovače tranzistory T_8 a T_9 .

Sladování přijímače

Stupnicový ukazatel nařídíme tak, aby se v krajních polohách kryl s délky 0 a 100 stupnice. Regulátor hlasitosti je nastaven na maximální hlasitost, přepínač tónové clony do polohy „výšky“. Regulaci vstupního napětí udržujeme výstupním výkonem přijímače 50 mW (napětí 0,39 V na bezindukční zátěž 3 Ω).

Obr. 1. Zapojení přijímače Perla



Sladovací tabulka pro AM

Zkušební vysílač		Přijimač		Sladovací prvek
Připojení	Signál	Rozsah	Stupnicový ukazatel	
Na normalizovanou rámovou anténu (ČSN 36 7090)	455 kHz	střední vlny	na levém dorazu (500 kHz) o	L_{20} L_{25} L_{24} L_{21} L_{20}
	140 kHz 310 kHz	dlouhé vlny	na levý doraz na pravý doraz	L_{12} C_{20}
	160 kHz 300 kHz		na zavedený signál	L_9 C_{24}
	515 kHz 1 650 kHz	střední vlny	na levý doraz na pravý doraz	L_{11} C_{20}
	530 kHz 1 400 kHz		na zavedený signál	L_8 C_{20}
	5,7 MHz 18,5 MHz	krátké vlny	na levý doraz na pravý doraz	L_{10} C_{28}
	5,9 MHz 16 MHz		na zavedený signál	L_7 C_{22}
Přes umělou anténu na tyčovou anténu a kostru přijimače				

Všechny sladovací prvky se nastavují tak, aby výchylka ručky měřidla výstupního výkonu byla co největší.

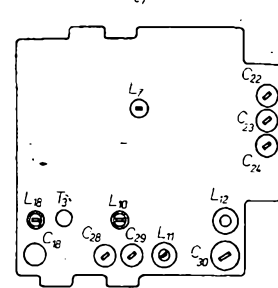
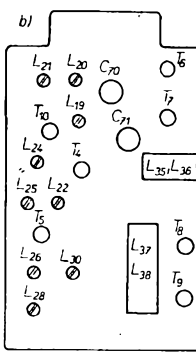
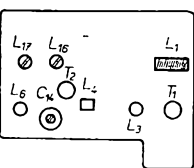
V KV díl přijimače se ladí kmitočtově modulovaným signálem 1 000 Hz, kmitočtový zdvih je 15,5 kHz; AM díl signálem, modulovaným kmitočtem 400 Hz do hloubky 30 %.

Sladovací tabulka pro VKV

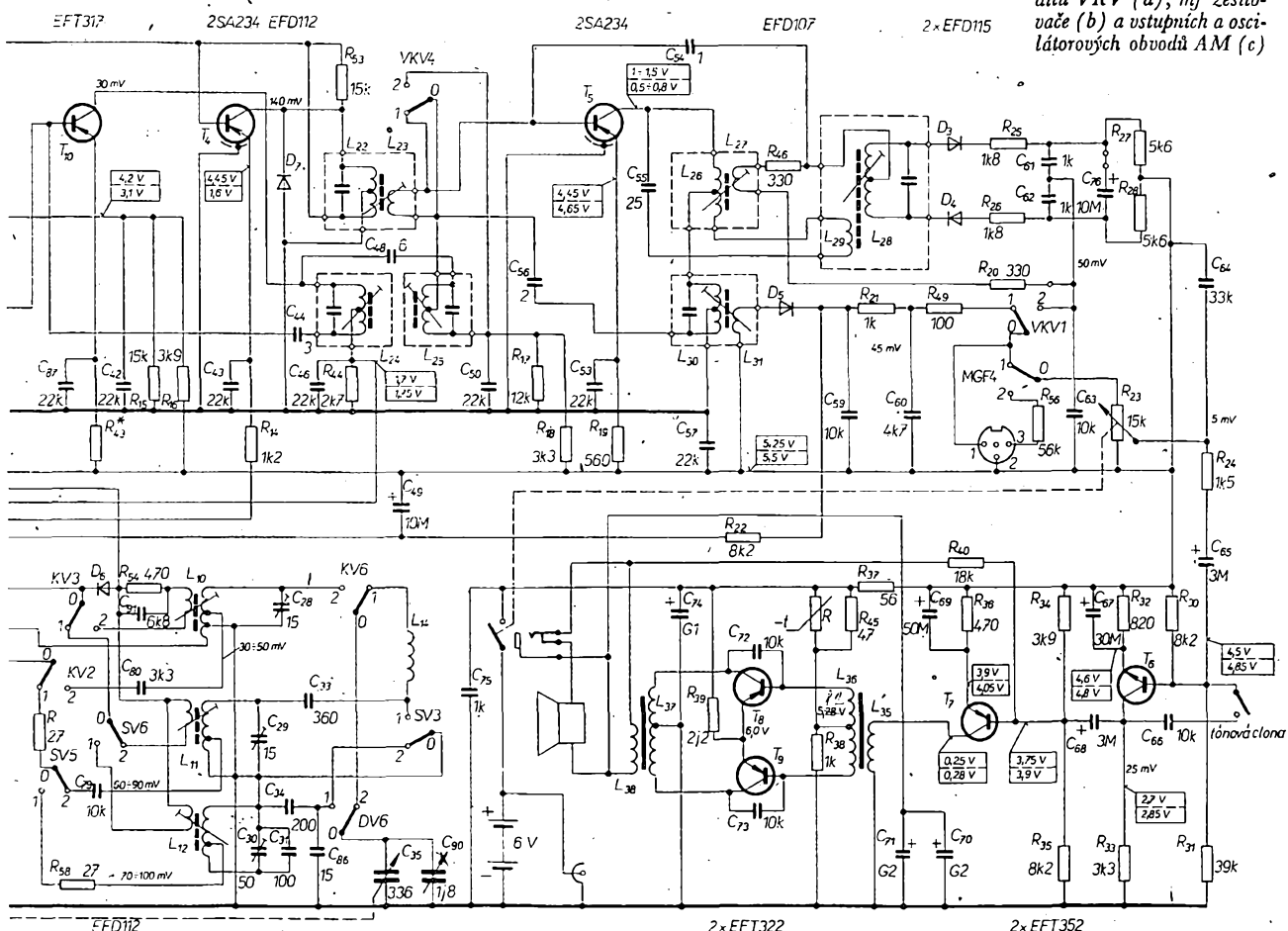
Zkušební vysílač		Přijimač		Výchylka ručky výstup. měřic.
Připojení	Signál	nařízen na rozsah	sladovací prvek	
Přes přizpůsobovací člen na tyčovou anténu	10,7 MHz	ukazatel ladění na levý doraz, vlnový rozsah na VKV	L_{18} L_{17} ²⁾ L_{18} L_{19} ²⁾ L_{20} L_{21} L_{22}	max. ¹⁾
	88 MHz 104,7 MHz 92 MHz	levý doraz pravý doraz na zavedený signál	L_8 C_{14} L_9	max.

- 1) Měří se elektronkovým voltmeterem připojeným paralelně ke kondenzátoru C_{75} .
 2) Měří se elektronkovým voltmeterem s nulou uprostřed, připojeným do bodu mezi kondenzátory C_{41} , C_{42} a záporný pól baterie.
 3) Při rozladení vstupního signálu o $\pm 0,3$ MHz nemají být patrné dvě výchylky (dva vrcholy) výstupního měřítce, v opačném případě je nutno opravit nastavení L_1 , nebo L_18 .

a)



Obr. 2. Sladovací prvky dílu VKV (a), mf zesilovače (b) a vstupních a oscilátorových obvodů AM (c)



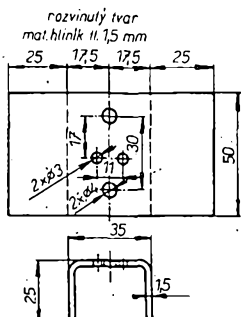
UNIVERZÁLNY ZOSILŇOVAC

Obr. 1. Schéma zapojenia nf zosilňovača

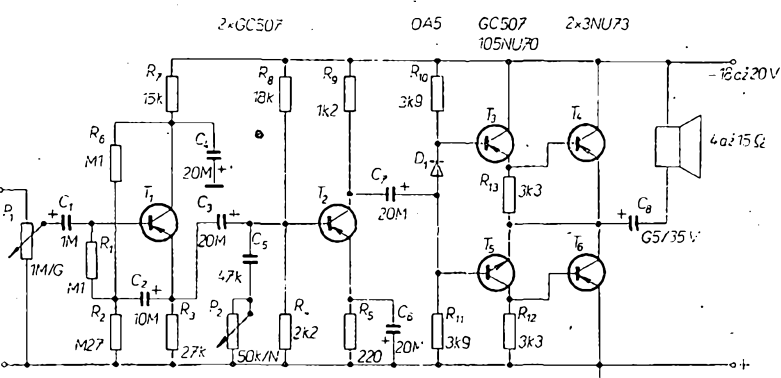
Marián Andris

Technické údaje

- Napájanie: 18 až 20 V.
 Odber zo zdroja: bez signálu 20 mA,
 pri vybudení 250 mA.
 Kmitočtový rozsah: 50 až 10 000 Hz
 (-3 dB).
 Výstupný výkon: 4 W.
 Nf citlosť: 200 mV.
 Vstupný odpor: 0,5 MΩ.
 Zatažovací odpor: 4 až 15 Ω.
 Osadenie:
 3 × GC507,
 105NU70,
 2 × 3NU73,
 1 × OA5.



Obr. 2. Chladicé koncových tranzistorov



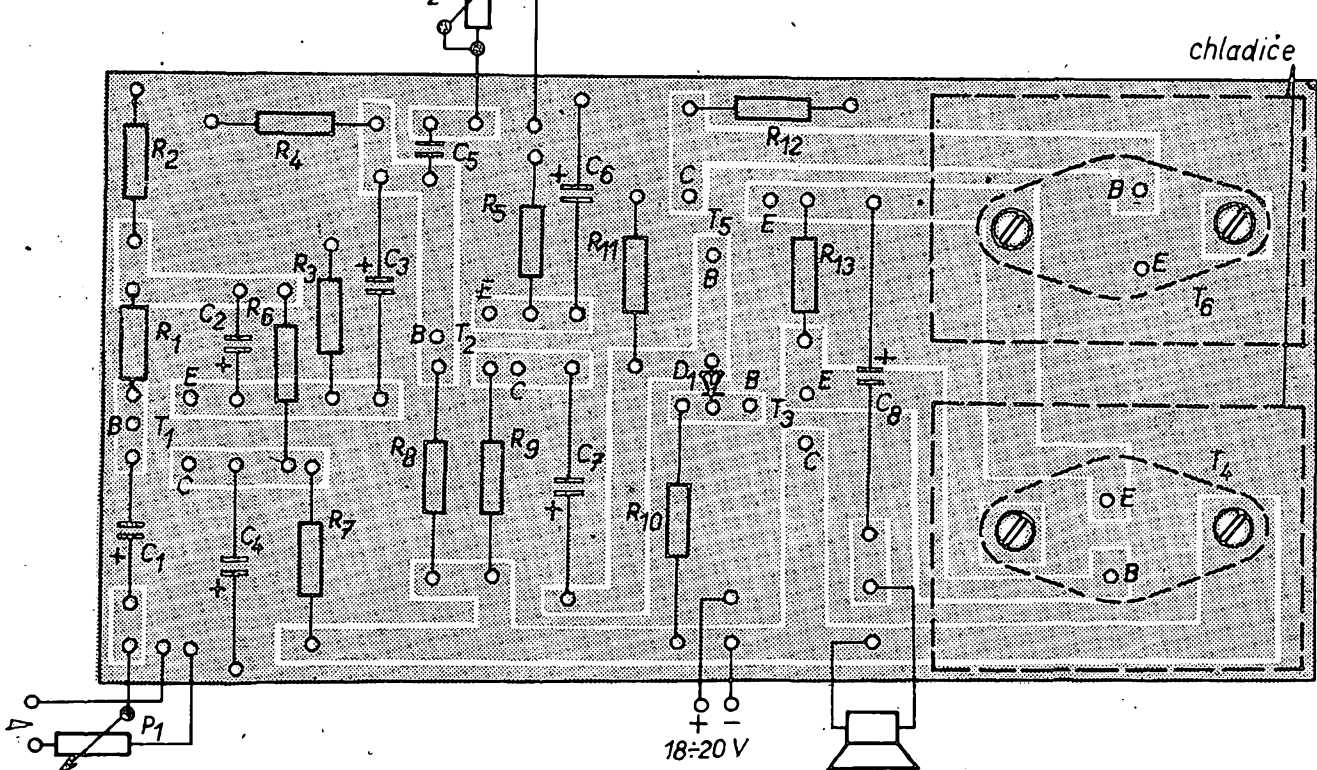
Popis zapojenia

Zosilňovač pracuje bez budiaceho a výstupného transformátora v protitaktovom zapojení (obr. 1). Prvý stupeň zabezpečuje zosilňovaču veľký vstupný odpor, na zosilnení signálu sa podielá druhý stupeň. Ďalší stupeň je invertor (obraciac fázy), osadený komplementárnu dvojicou germániových tranzistorov GC507-105NU70. Invertor budí výkonový stupeň, osadený výkonovými tranzistorami typu p-n-p (3NU73). Dióda D₁ (OA5) stabilizuje východiskový prúd koncových tranzistorov. Ako tó-

nová clona pracuje obvod, zapojený v bázci T₂. Na chladienie koncových výkonových tranzistorov použijeme chladiče, vyrobené z lešteného hliníkového plechu, hrubého asi 1,5 mm, ktoré sú upevnené k základnej doske (obr. 2).

Cely zosilňovač je postavený na plošných spojoch rozmerov 16,5 × 8 cm (obr. 3). Možno ho použiť na reproduciu z gramofónových platní, na zosilnenie slabého signálu z prijímača alebo z magnetofónu, môžeme k nemu propojiť i gitaru alebo niektorý z elektronických hudobných nástrojov.

Obr. 3. Doštička s plošnými spojmi Smaragd E75. Odpor sú na zatiažení 0,25 W, elektrolytické kondenzátory sú na napäti 12 V. Pohľad zo strany spojov



Speciální miniaturní žárovku GE-455 pro blikáče uvádí na trhu General Electric. Žárovka pro napětí 6,5 V (průtok 0,5 A) má jednu stranu žhaveního vlákna připevněnu speciálním bimetalovým páskem, který ve vypnutém stavu tvoří kontaktní můstek. Po

zapnutí žárovky se procházejícím proudem bimetalový pásek prohřeje, ohne a přeruší průvodový obvod. Po ochlazení se pásek vyrovná a opět uzavře průvodový obvod vlákna. Sž

Podle Funktechnik 7/1971

ŠKOLA amatérského vysílání

- Rotor zpětnovazebního kondenzátoru uzemníme na pájecí očko u patic elektronky. Na toto očko připájíme i katodový odpor, katodový kondenzátor a mřížkový odpor. Rotor oscilátorového ladícího kondenzátoru spojíme se společným vývodem všech cívek na pertinaxové podložce cívek. Na něj připájíme dále všechny uzemňovací vývody součástek oscilátoru. Tento zemnici spoj připájíme na šasi na pájecím očku objímky u elektronky oscilátoru. Pájení součástek oscilátoru věnujeme velkou pozornost. Ukázka rozložení součástí je na obr. 14 a 15.

Uvedení do provozu

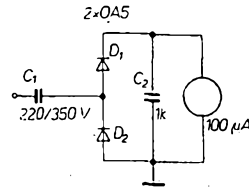
Po kontrole zapojení změříme ohmmetrem (nebo žárovkovým měřičem) zkra-

má se anodový proud zvětšit; bude-li stejný, pak oscilátor nekmitá.

Nekmitá-li oscilátor na žádném pásmu, může být závada způsobena:

- nesprávným zapojením (zkontrolovat),
- vadnou elektronkou (nechat proměřit),
- vadným anodovým odporem R_9 či proraženým anodovým kondenzátorem C_{13} – anoda je bez napětí (změříme voltmetrem),
- vadnými (nebo nekvalitními) vazebními kondenzátory (zkusit vyměnit, popř. změřit kapacitu).

Nekmitá-li oscilátor pouze na některém z pásem, může být závada způsobena:



Obr. 16. Schéma už sondy

Ladění oscilátoru

Při zavřeném ladícím kondenzátoru (maximální kapacita) a s přijímačem naladěném na 1,5 MHz nastavíme jádra cívek obvodů L_5 , C_{p2} na kmitočet 3,5; 7,0; 14,0; 21,0; 28,0 MHz (signálním generátorem nebo kalibrátorem). Na ladící knoflík oscilátoru připevníme ukazovatel a podložíme jej lesklým kartótem, na nějž narysujeme pět soustředných polokružnic. Tyto stupnice pak ocejchujeme pomocí kalibrátoru či signálního generátoru. Začátečníci se obrátí o pomoc na zkušenější amatéry nebo na svůj radioklub.

Konvertor provozujeme tak, že si naladíme ladícím kondenzátorem oscilátoru začátek telegrafního či telefonního pásmá a rozhlasovým přijímačem ladíme v tomto pásmu. Doladění vstupu a řízení zpětné vazby bylo popsáno v minulém čísle.

Upozornění

Vstup konvertoru spojíme s přijímačem souosým kabelem, pečlivě uzemněným po obou stranách. Jinak mohou do příjmu (především v noci) pronikat silné rozhlasové středovlnné stanice.

Tab. 3. Údaje výstupního obvodu konvertoru

Pásmo [MHz]	C_{p2} [pF]	C_g [pF]	L [μH]	Počet závitů L_5	Délka cívky [mm]	\varnothing drátu [mm] CuL
28	9	9	1	12	12	0,5
21	21	6	1,27	15	14	0,5
14	50	9	2,25	17	13	0,4
7	100	28	5,8	28	12	0,22
3,5	300	přímo	16	51	22	0,22

Cívkové těleso má průměr 10 mm a délku 35 mm (viz tab. 2), dolad. jádro je feritové M6 × 15 mm.

Kondenzátory jsou keramické.

Cívka L_4 má 90 závitů drátu o \varnothing 0,18 mm závit vedle závitu, indukčnost cívky je 50 μ H.

Pozn. Konec cívek upevníme několika závity nití, cívky zpevníme trotilitovým (polyestrovým) lakem. Cívky L_5 upevníme na samostatnou pertinaxovou (sklotextitovou) destičku.

Rozpiska součástek konvertoru

Elektronky

E_1 ECF82

E_2 ECC85

Odpory

R_1 100 k Ω /0,25 W

R_2 1 k Ω /0,5 W

R_3 100 k Ω /0,25 W

R_4 1 k Ω /0,5 W

R_5 33 k Ω /0,5 W

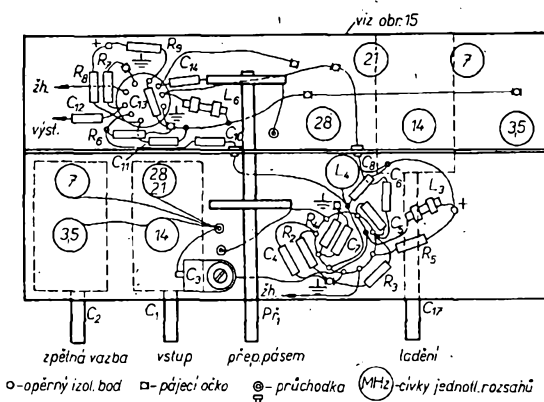
R_6 100 k Ω /0,25 W

R_7 210 Ω /0,5 W

R_8 5,1 k Ω /0,5 W

R_9 5,1 k Ω /0,5 W

R_{10} 20 k Ω /0,5 W



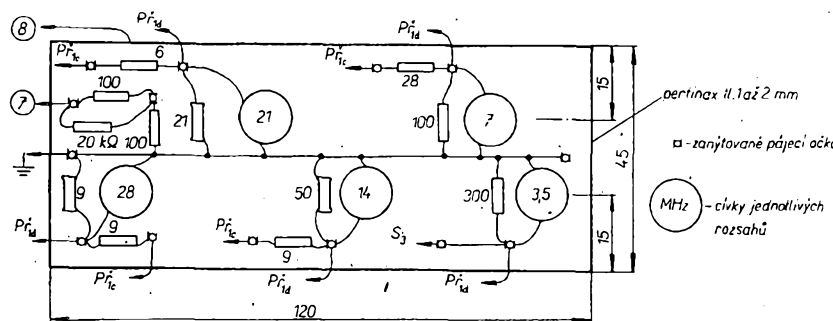
Obr. 14. Ukázka možného rozložení součástek konvertoru (pohled zezadu)

tú, zhotoveným z kapesní baterie), není-li zkratován kladný pól zdroje s kostrou konvertoru. Poté připojíme žhavicí napětí a zkontrolujeme, zda se rozžhaví katody elektronek. Je-li vše v pořádku, připojíme anodové napětí.

Činnost oscilátoru ověříme buď přijímačem na kmitočtech, na nichž má oscilátor pracovat (kmitočty jsou uvedeny v předešlém textu), nebo nepřímo vý sondou (obr. 16) či měřením anodového proudu. Vý sondou kontrolujeme vý napětí na katodě oscilátoru, výchylka měřicího přístroje může být na všech pásmech zhruba stejná. Anodový proud změříme miliampérmetrem (rozsah do 30 mA), zapojeným mezi kladný pól anodového zdroje a anodový odpor R_9 . Při dotece šroubovákem na vývod řídicí mřížky elektronky oscilátoru nebo při zkratu laděného obvodu

- chybňím zapojením nebo zkratem obvodu (zkontrolovat zapojení),
- špatným kontaktem přepínače (zkontrolovat ohmmetrem),
- malou kapacitou vazebního kondenzátoru nebo vadným vazebním kondenzátem (zvětšit kapacitu nebo vyměnit vazební kondenzátor).

Po oživení oscilátoru propojíme souosým kabelem anténní a zemnici zdírku přijímače s výstupem konvertoru, připojíme anténu ke konvertoru a oživíme vý předzesilovač. Postup oživení je uveden v popisu předzesilovače (ÁR 7/71). Po oživení předzesilovače naladíme přijímač na kmitočet 1,6 MHz. Ladícím kondenzátorem oscilátoru C_{17} naladíme nějakou amatérskou stanici a obvod L_4 , C_8 (v anodě směšovače) doladíme na maximální hlasitost.



Obr. 15. Rozmístění cívek oscilátoru (L_5). Destičku od šasi izolovat tenkým prešpánem s rozemy asi 140x45 mm

Kondenzátory

- C_1 100 pF, otoč. vzduch izol. rotor
 C_2 100 pF, otoč. vzduch.
 C_3 5 až 40 pF, trimr
 C_4 10 nF/250 V, ker.
 C_5 100 pF/250 V, ker.
 C_6 10 nF/250 V, ker.
 C_7 210 pF/250 V, slida
 C_8 10 nF/250 V, ker.
 C_9 1 nF/250 V, ker.
 C_{10} 10 nF/250 V, ker.
 C_{11} 10 nF/250 V, ker.
 C_{12} 10 nF/250 V, ker.
 C_{13} 1 nF/250 V, slida
 C_{14} 100 pF/250 V, slida
 C_{15} 100 pF/250 V, slida
 C_{16} 14 pF/250 V, slida
 C_{17} 100 pF, vzduch, otoč
 C_{p1} viz tab. 2 (zesilovač)
 C_{p2} viz tab. 3
 C_s viz tab. 3

Ostatní součásti

- L_1, L_2 viz tab. 2 (zesilovač)
 L_3 výtlumivka 100 μ H
 L_4, L_5 viz tab. 3
 L_6 výtlumivka 100 μ H
 S_1 až S_5 vlnový přepínač 5 poloh, 2 póly, 2 patra

Jak přijímat telegrafní signály na rozhlasový přijímač?

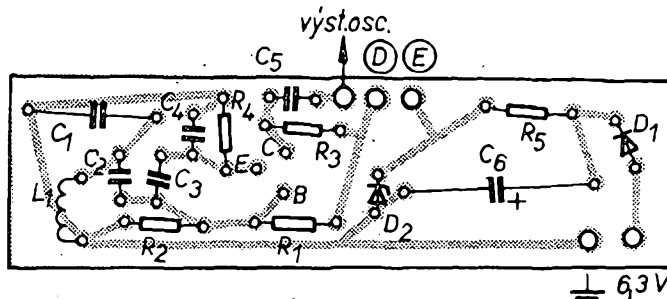
Jak již bylo vysvětleno v minulé lekci, je příjem nemodulované telegrafie umožněn zavedením pomocného signálu do detektoru, v němž rozdíl s přijímaným signálem vytvoří slyšitelný záZNĚJ. Výšku tohoto záZNĚJE si telegrafisté nastavují mezi 800 až 1 200 Hz – na tyto kmitočty je lidské ucho nejcitlivější a nejpříjemněji se poslouchají.

Jednoduchý doplněk umožňující příjem telegrafie (záZNĚJOVÝ oscilátor) je na obr. 17. Oscilátor je osazen křemíkovým tranzistorem KF124 v Seilerově zapojení. Toto stabilní zapojení umožní, aby ho použili běžný mezifrekvenční obvod, určený pro tranzistorový přijímač.

Holdnoty součástek odpovídají obvodu pro 455 kHz, který tvoří cívka L_1 ve feritovém hříčkovém jádru (její střední indukčnost je 120 μ H a činitel jakosti Q větší než 60). A paralelní kondenzátor C_1 (1 000 pF). Tranzistor je vázán na obvod řetězcem kondenzátorů C_2, C_3, C_4 , na nichž vzniká zpětná vazba. Odporný dělic v bázi (R_1 a R_2) a emitorový odporník R_4 nastavují kolektorový proud tranzistoru na 1 mA, což je velikost doporučená výrobcem. Výstupní signál se odberá z kolektorového odporu R_3 vazebním kondenzátem C_5 a přivádí se do sekundárního vinutí posledního mezifrekvenčního transformátoru.

Oscilátor je napájen stejnosměrným napětím, získaným usměrněním žhavícího napětí 6,3 V. Dioda D_1 je zapojena jako jednocestný usměrňovač, následuje vyhlažovací filtr C_6, R_5 a stabilizátor napětí (Zenerova dioda) D_2 . Spinačem S_{1a} zapínáme kladné napájecí napětí.

Oscilátor je postaven na destičce s plošnými spoji podle obr. 18. Destičku

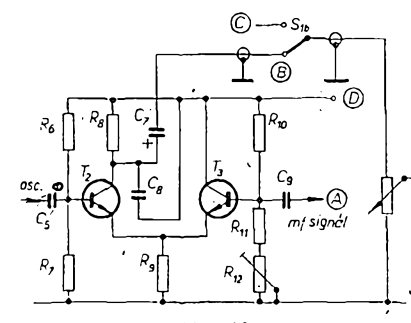


Obr. 18. Deestick Smaragd E76

umístíme co nejbliže k poslednímu mezifrekvenčnímu transformátoru. Připevníme ji izolovaně na bok šasi.

Po kontrole zapojení a upevnění zapneme přijímač, naladíme jakoukoliv rozhlasovou stanici a zapneme záZNĚJOVÝ oscilátor. Doladovacím jádrem cívky L_1 doladíme kmitotřísk oscilátoru tak, aby ho uslyšeli stálý tón v uvedeném rozsahu 800 až 1 200 Hz.

Použijeme-li jiný obvod nebo jiný tranzistor, bude pravděpodobně třeba změnit stupeň vazby změnou kapacity kondenzátoru C_2 . Jak budeme postupovat? Vazbu změníme tehdy, nebude-li oscilátor kmitat (nedostatečná vazba – bude třeba zvětšit kapacitu C_2), nebo



Obr. 19.

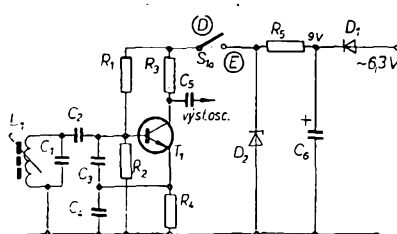
bude-li oscilátor kmitat nestabilně (nadkritická vazba – bude třeba zmenšit kapacitu C_2).

Nadkritickou vazbu poznáme tak, že při rychlém opětovném zapínání a vypínání (kličování) oscilátoru se výška záZNĚJE mění (klouje „kuňká“). Optimální vazbu vyhledáme pomocí trimru 40 pF, jímž nahradíme vazební kondenzátor C_2 . Trim nastavíme tak, aby oscilátor spolehlivě kmital a při kličování „kuňká“ pak zůstane stabilitou. Pak trim odpojíme a změříme (např. v radio klubu) jeho kapacitu. Do obvodu zapojíme keramický kondenzátor s naměřenou kapacitou a po uvedení do provozu doladíme kmitotřísk jádrem cívky L_1 .

Těm, kdo se budou častěji zabývat oscilátory a laděními obvody vůbec, doporučují opatřit si ladící kondenzátor o kapacitě asi 300 pF. Kondenzátor připevněte do plastikové krabičky a na nářídel kondenzátoru upěvněte ukazatel. Po ocejchování získáte velmi užitečnou pomůcku.

Jak přijímat modulaci SSB rozhlasovým přijímačem?

Většina amatérů – zvláště na dálkových pásmech – používá modulaci SSB. Při menších náročích na srozumitelnost přijímaného signálu vyhoví pro její příjem jakýkoli přijímač se záZNĚJOVÝM oscilátorem. Vyšším nárokům pak plně vyhoví tranzistorový detektor, sdružený se záZNĚJOVÝM oscilátorem. Jeho schéma je na obr. 19.



Obr. 17.

Oscilátor je stejný jako na obr. 17. Detektor tvoří obvod s tranzistory T_2 a T_3 . Signál se záZNĚJOVÉHO oscilátoru se přivádí na bázi tranzistoru T_2 . Emitor T_2 je vázán společným emitorovým odporem s tranzistorem T_3 , který pracuje jako emitorový sledovač; přizpůsobuje poslední mezifrekvenční obvod na emitorový vstup detektoru. Detekce se uskutečňuje v obvodu tranzistoru T_2 , z jehož kolektorového odporu se odvádí detekovaný signál. Optimální pracovní bod detektoru se nastavuje potenciometrem R_{12} .

Tab. I. – Rozpis součástek pro zapojení na obr. 17 a 19 (záZNĚJOVÝ oscilátor a SSB detektor)

C_1	1 000 pF, styroflex	R_1	8,1 k Ω , 0,1 W
C_2	15 pF, ker. polštářkový	R_2	3,2 k Ω , 0,1 W
C_3	220 pF, ker. polštářkový	R_3	1 k Ω , 0,1 W
C_4	220 pF, ker. polštářkový	R_4	1 k Ω , 0,1 W
C_5	1 000 pF, ker. polštářkový	R_5	150 Ω , 0,1 W
C_6	100 μ F/12 V, elektrolytický	R_6	27 k Ω , 0,1 W
C_7	10 μ F/12 V, elektrolytický	R_7	5,1 k Ω , 0,1 W
C_8	0,1 μ F, ker. polštářkový	R_8	5,1 k Ω , 0,1 W
C_9	100 pF, ker. polštářkový	R_9	220 Ω , 0,1 W
D_1	KY701	R_{10}	47 k Ω , 0,1 W
D_2	KZ721	R_{11}	3,3 k Ω , 0,1 W
L_1	mezifrekv. transformátor 455 kHz, 120 μ H	R_{12}	10 k Ω , trimr
		T_1, T_2, T_3	KC147 až 149, KF124, KF125

PŘIPRAVUJEME PRO VÁS

Elektronický přepínač k osciloskopu

Svařovací transformátor

SUPER REAKČNÍ PŘIJÍMAČ

Technické údaje přijímače

Kmitočet: 27,120 MHz.

Anténa: asi 80 cm dlouhé lanko.

Citlivost: <1 µV pro omezení nf signálu na výstupu přijímače.

Napájecí napětí: 6 V (5 ks článků NiCd 225 mAh nebo 4 × 1,5 V tužkové články).

Spotřeba: max. 4 mA bez signálu.

Rozsah pracovních teplot: 0 až 50 °C.

Osazení přijímače: 4 × KC508 nebo KC508 + 3 × 103 až 105NU70.

Popisovaný přijímač je superreakční detektor s vlastním rázováním. V jedné variantě je osazen na všech stupních pouze křemíkovými tranzistory (KC508) a v druhé (levnější) je křemíkový tranzistor pouze na prvním stupni a nízkofrekvenční zesilovač je osazen germaniovými tranzistory 103 až 105NU70. Vyhodnocovací stupně - kmitočtové diskriminátory - jsou použity stejně jako v AR 4/71. Změna oproti původnímu přijímači spočívá hlavně v tom, že je použit omezovač výstupního napěti a celý nízkofrekvenční zesilovač je rekonstruován. Původní nízkofrekvenční zesilovač není špatný, vyžaduje ovšem pro dobrou funkci velmi pečlivé nastavení a potřebné vybavení dílny. Vybaení dílny amatéra není však v mnoha případech dostačující, proto jsem se rozhodl použít v této variantě přijímače osvědčený a na nastavení nenáročný tzv. Schumacherův zesilovač s křemíkovými tranzistory. Tento zesilovač lze samozřejmě použít i v původní verzi s germaniovými tranzistory. Parametry zesilovače jsou pak však poněkud horší (i když dostačující). Dále je oproti první

variantě vypuštěna komplementární dvojice tranzistorů a jako impedanční převodník je použit jeden tranzistor, zapojený jako emitorový sledovač. Původně byla komplementární dvojice tranzistorů použita jako impedanční převodník proto, že při své malé výstupní impedanci odebírá malý proud ze zdroje, čehož nelze dosáhnout emitorovým sledovačem. V této variantě přijímače je však na výstupu zařazen diodový omezovač, který sám o sobě představuje velmi malou výstupní impedanci. Z tohoto důvodu je možné použít emitorový sledovač (s menším odběrem) a tím ušetřit jeden tranzistor. Diodový omezovač jsou dvě křemíkové diody v antiparalelním zapojení. Omezují výstupní signál na mezivhodnotu úroveň 0,7 V. Tím je zaručeno, že vlivem vzdálenosti přijímače a vysílače se prakticky nemění úroveň výstupního nízkofrekvenčního napětí.

Popis a funkce přijímače

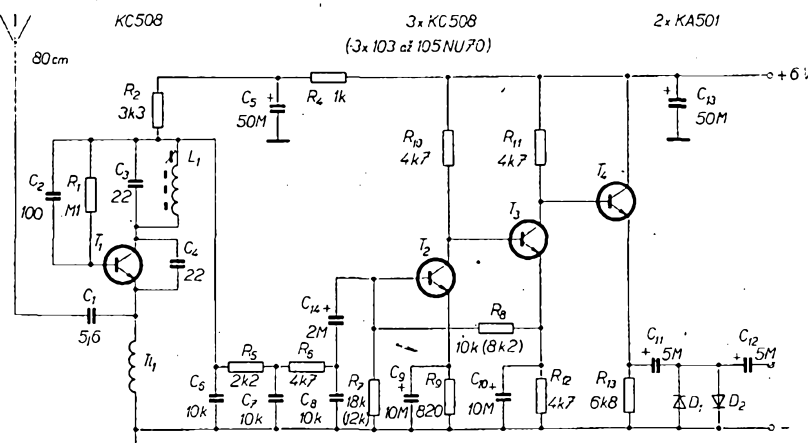
Superreakční detektor je osazen křemíkovým tranzistorem KC508 a pracuje s vlastním rázováním (obr. 1). Rázovací kmitočet určuje člen R_2, C_6 . Signál z antény se přivádí přes kondenzátor C_1 do emitoru tranzistoru. Kapacitu C_1 upravíme podle použité antény. Při anténě dlouhé asi 80 cm je vhodná kapacita asi 5,6 pF. Zhruba platí, že čím je anténa delší, tím menší může být C_1 a naopak. Doporučená kapacita C_1 je však maximálně 8,2 pF a minimálně 3,3 pF. Činnost superreakčního detektora ovlivňuje v podstatě všechny součástky obvodu. Oddělovací tlumivka v emitorovém obvodu tranzistoru má

mít indukčnost přibližně 7 µH. Použije-li někdo feritové jádro, je nutné navinout tlumivku odporovým drátem, neboť nesmí mít velké Q . Také je dobré při oživování přijímače zkusit obrátit smysl vinutí tlumivky. Mnohdy, zvláště při stísněné konstrukci, mohou nastat nežádoucí vazby. Nejlépe vyhoví tlumivka navinutá na tělisku odporu TR112. Kapacita kondenzátoru C_4 určuje amplitudu napětí přerušovaného kmitočtu. Je-li kapacita příliš velká, je velká i amplituda napětí a citlivost superreakčního detektoru se zmenší – nastává tzv. mnohonásobná rezonance. Projeví se to tak, že při proládování laděného obvodu L_1, C_3 je přijímaný signál zachycen několikrát vedle sebe. Při oživování je proto dobré nastavit minimální kapacitu C_4 (právě ještě požadovanou pro činnost detektoru).

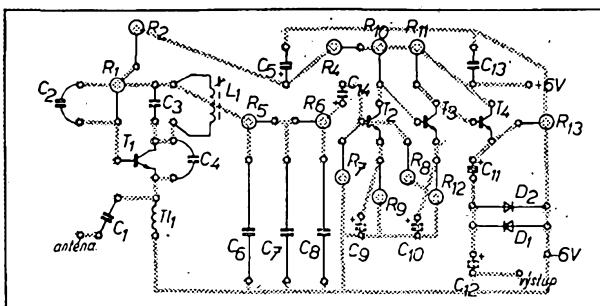
Cinutel jakosti Q rezonančního obvodu nemá být příliš velký. Také poměr L/C má být optimální. Mnoho amatérů nedosáhne dobrých výsledků se superreakčním detektorem třeba právě jen proto, že použijí nevhodné ladící jádro cívky. Není dobré používat feritové jádro. Nejlépe vyhoví ferokartové jádro, popř. na vyšších kmitočtech (40, 68 MHz) jádro hliníkové. V neposlední řadě má na činnost detektoru vliv též pracovní bod tranzistoru. Zde je nutné podeknout, že pracovní bod pro každý tranzistor je dobré nastavit individuálně. Při stavbě a oživování superreakčního detektoru je nutné si uvědomit, že superreakční detektor je (přes svoji zdánlivou jednoduchost) obvod značně složitý. Pro správné a optimální nastavení je třeba značných zkušeností a dobrého dílenckého vybavení. Proto nevšem se vždy podaří nastavit superreakční detektor tak, aby byly dosaženy požadované parametry.

Tranzistory T_2, T_3 tvoří nízkofrekvenční zesilovač. Je velmi jednoduchý a má velmi dobré parametry. Jeho nastavení nečiní obtíže a spočívá prakticky v nastavení odporu R_8 . Odpor se nejlépe nastavuje pomocí osciloskopu tak, aby nf signál byl oboustranně omezen při maximálním zesílení. Pro toho, kdo nemá možnost nastavit odpor R_8 pomocí osciloskopu, plně postačí použít odporník uvedený ve schématu. Odpor R_8 nejenže ovlivňuje velikost zesílení zesilovače, ale současně se jím zabezpečuje teplotní stabilita zesilovače. Napěťové zesílení nf zesilovače je v rozmezí 60 až 65 dB.

Tranzistor T_4 je zapojen jako emitorový sledovač (impedanční převodník). Nízkofrekvenční signál se přes C_{11} přivádí na oboustranný diodový omezovač.



Obr. 1. Schéma přijímače



Obr. 2. Rozložení součástek na desce s plošnými spoji
Smaragd E77

Použité součástky

Cívky
 T_1 : indukčnost 7 µH; je navinuta na tělisku odporu TR 112, 60 cm drátu o Ø 0,1 mm CuL.

L_1 : 12 z drátu o Ø 0,3 mm CuLH na kostičce o Ø 5 mm s vý ferokartovým doladovacím jádrem M4 × 0,5 mm.

Odpory ve schématu v závorce platí pro verzi, kdy jsou tranzistory T_1, T_2 a T_4 germaniové.

Mechanická konstrukce přijímače

Přijímač je konstruován na plošných spojích. Deska přijímače má shodné rozměry s deskami vyhodnocovacích obvodů podle AR 4/71. Také uchycení (smontování) je shodné. Cívka laděného obvodu je montována horizontálně a je potřeba ji vhodným lepidlem přilepit na desku plošného spoje.

Transistorový transceiver

SSB na 3,5 MHz

J. Chochola, OK2BHB

(Pokračování)

Vzhledem k trvalému nedostatku suchých článků na našem trhu a na základě výsledků pokusu OK2BHW s tranzistorovými výkonovými koncovými stupni jsem udělal v zapojení TRX několik úprav (budíci stupeň a PA), abych celý TRX mohl napájet jen napětím 12 V při zachování příkonu PA kolem 10 W.

V první verzi, kdy jsem ještě neznal výsledky pokusu OK2BHW, jsem volil jako napájecí zdroj baterii 12 V a měnič. Měnič byl osazen tranzistory $2 \times OC26$ v transformátorovém zapojení se spojeneckými kolektory. Transformátor byl navinut na feritovém jádru E. Kmitočet střídače byl 800 Hz, sycení jsem volil 0,3 T. Účinnost střídače naprázdno byla 75 %. Po připojení usměrňovacího a stabilizačního obvodu se účinnost samozřejmě zmenšila asi na 65 %. Klidový proud celého měniče byl asi 450 až 500 mA a při plném vybuzení PA se odběr zvětšil na 1,5 až 1,6 A. Příkon PA byl asi 10 W.

Tento měnič jsem měl v provozu měsíc a přesto, že pracoval spolehlivě, nemohl jsem se stále smířit s jeho poměrně malou účinností. Teprve výsledky OK2BHW s PA stupni a minimální úpravy v konstrukci TRX rozhodly pro popisované řešení, s nímž jsem velmi spokojen.

Celý TRX je napájen z akumulátorové baterie 12 V, která je složena ze dvou motocyklových baterií 6 V/4,5 Ah. Tyto baterie jsou určeny pro elektrickou výzbroj motocyklu Simpson. Baterie jsou výrobkem z NDR a jsou skutečně velmi kvalitní. Celý obal je zhotoven z plastických hmot, a co je nejdůležitější, baterie mají malé rozměry a tím i váhu. V Mototechně stojí tato baterie 68 Kčs. Praktický provoz ukázal, že je to skutečně ideální zdroj pro tento TRX.

Kdo je vlastníkem automobilu nebo skútru ČEZETA, TATRAN, může použít k napájení přímo palubní baterii.

TRX je propojen s baterií 12 V dvěma vodiči (nejlépe dvoulinkou), při provozu v automobilu s uzemněným záporným pólem jen jedním vodičem.

Pro síťové napájení je možné zhotovit zdroj, jehož schéma a plošné spoje jsou na obr. 7 a 8.

Tento zdroj je možné použít jako nabíječku akumulátorů 2×6 V/4,5 Ah nebo jiných, u nichž nabíjecí proud ne přesáhne 1,2 až 1,5 A.

Změny v zapojení TRX

Změny jsou skutečně nepatrné a týkají se jen obvodu budíci, koncového stupně a „ovládání“.

Diody jsou přilepeny na horní plochu tranzistoru KU601 (obr. 9). Jako lepidlo se osvědčil „Kanagon“. Tako zapojené diody stabilizují nastavený klidový proud tranzistorem KU601. Se zvětšováním teploty pouzdra tranzistoru KU601 se současně zahřívají přilepené diody a tím vzrůstá i proud, který jimi protéká. Zvětšený proud vyvolá na odpovědě děliči (trimr 68Ω) větší napětí. Toto napětí se převádí na bázi tranzistoru KU601, přivírá jej a původně nastavená velikost klidového proudu zůstane zachována. Je to skutečně spolehlivý a jednoduchý prostředek, jak udržet nastavený klidový proud nezávisle na teplotě.

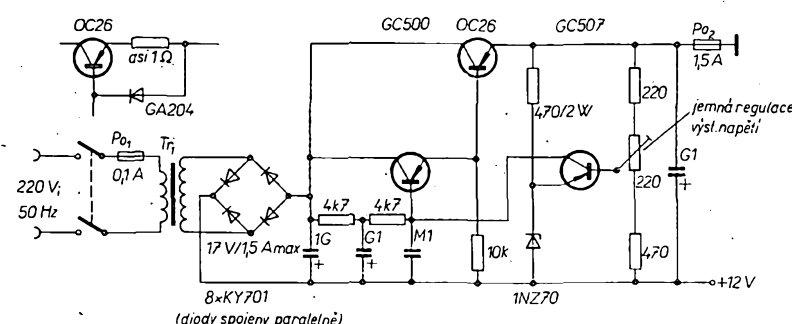
Klidový proud koncového stupně nastavíme trimrem 68Ω (popř. ještě trimrem $47 \text{ k}\Omega$) na 25 až 30 mA. KU601 vybudíme na proud 0,7 až 0,85 A, což při napájecím napětí 12 V představuje příkon koncového stupně 8,4 až 10 W. Z kolektorového obvodu je vypuštěna tlumivka, aby nekladla zbytečně odpor a tím se nezměnilo kolektorové napětí. Studený konec rezonančního obvodu je zablokován baterií kondenzátoru složenou z hodnot $100 \mu\text{F}$, $1 \mu\text{F}$, $0,1 \mu\text{F}$. Vf tlumivka v bázi je stejná jako v budíci.

Při uvádění koncového stupně do provozu doporučujeme zařadit do napájecího přívodu kolektoru odpor asi $4,7 \Omega$, aby se zamezilo poškození tranzistoru případným nadměrným proudem. Nemusíme snad podotýkat, že koncový stupeň musí být zatižen anténou.

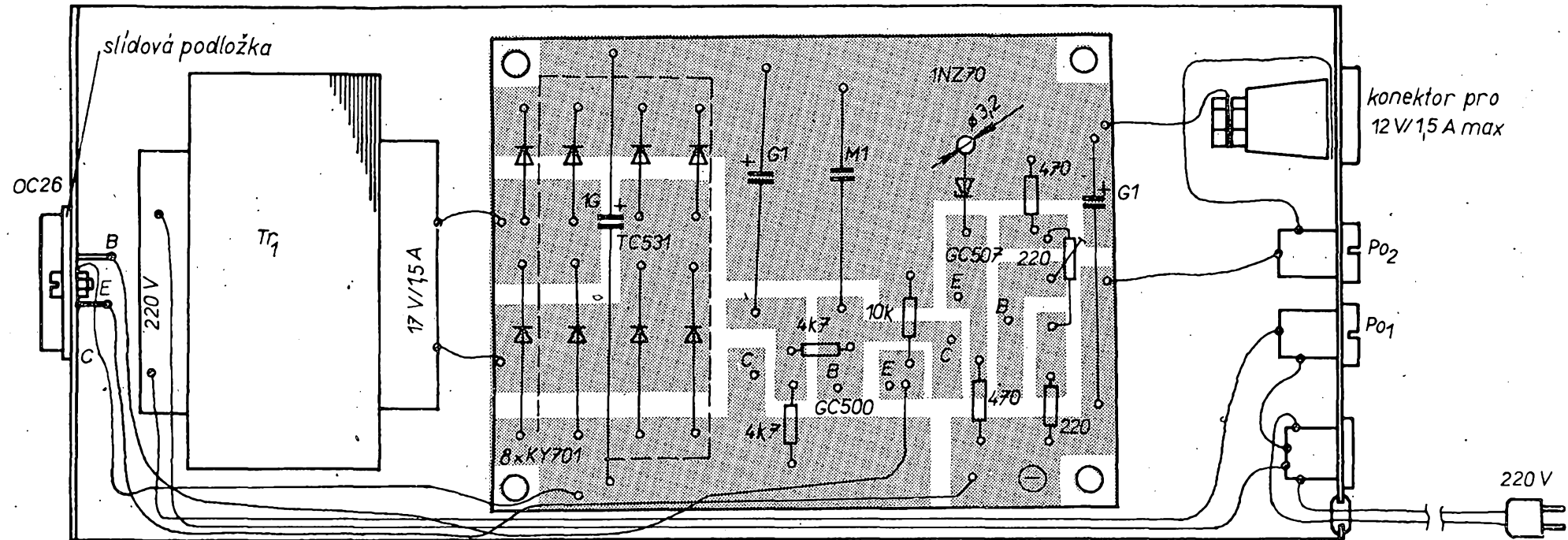
Totéž platí i o budíci, který musí být při nastavování zatižen vstupním obvodem KU601 (kolektor KU601 je při nastavování budíce bez napětí). Místo odporu $4,7 \Omega$ je možné použít spolehlivou elektronickou pojistku, což je vhodnější, ale nákladnější. Výstupní cívka koncového stupně je bez úprav. Znovu však doporučujeme udělat více odboček. Tím máme možnost optimálně přizpůsobit výstupní impedanci KU601 a anténu. Zapojení upravené části vysílače je na obr. 10, rozmištění součástek PA na desce s plošnými spoji na obr. 11.

Mikrofonní zesilovač

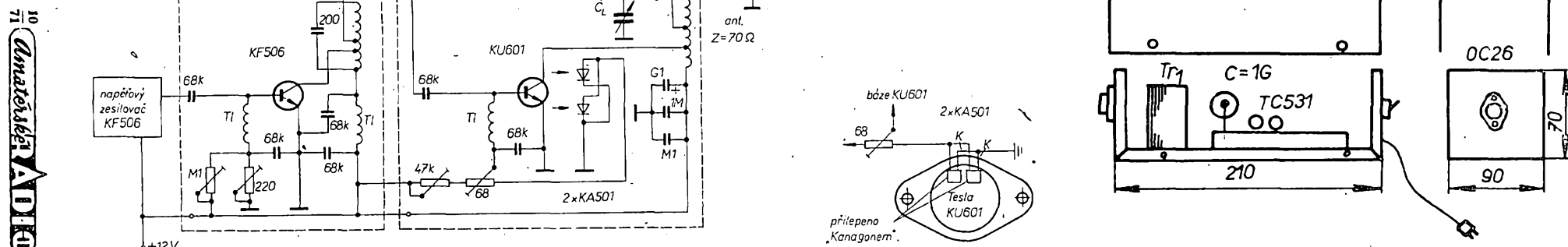
Mikrofonní zesilovač je osazen integrovaným obvodem MAA125. Zapojení se v podstatě nelší od doporučeného zapojení v katalogu výrobce TESLA Rožnov. Změna je jen v tom, že je vypuštěn blokovací kondenzátor u odporu $12 \text{ k}\Omega$. Vzniká tak záporná zpětná vazba, která přispívá ke stabilitě zesilovače.



Obr. 7. Schéma zdroje 12 V. Transformátor Tr_1 je na jádru M65, primární vinutí má 1940 závitů drátu o Ø 0,2 mm CuL (na 220 V), sekundární vinutí má 150 závitů drátu o Ø 0,8 mm CuL (17 V). Pojistka P_{O2} – 1,5 A spolehlivě ochrání zdroj před zkratem. V případě použití většího transformátoru (na více než 2 A v sekundárním vinutí) je nutné použít elektronickou pojistku (např. úprava podle obr. 7).



Obr. 8. Rozmístění součástek zdroje – destička s plošnými spoji Smaragd E78



Vstupní odpor zesilovače je asi 200Ω a k zesilovači je možné připojit dynamické mikrofony TESLA řady AMD nebo mikrofon pro naslouchání přístroje typu ALS. Tyto mikrofony dávají výstupní napětí kolem 1 až 2 mV, které se zesílí v integrovaném obvodu na 300 mV. Tato velikost je potřebná ke správné činnosti vyváženého modulátoru. Odporovým trimrem 1 M Ω se nastaví správný pracovní bod integrovaného obvodu. Protože použitý integrovaný obvod MAA125 má maximální napájecí napětí 7 V a v našem případě chceme tento obvod napájet napětím 12 až 13,5 V, musíme potřebné napětí nastavit trimrem 100 k Ω , zapojeným v kladném přívodu napájecího napětí. Proud obvodu nastavíme asi na 4 mA. Celkové zesílení obvodu v tomto zapojení je asi 50 dB.

Kondenzátor 4,7 nF, který je zapojen ve vstupu zesilovače, upravuje kmitočtovou charakteristiku zesilovače tak, aby byla vhodná pro přenos signálu SSB. Zesílení je možné nastavit trimrem 10 k Ω (upravený miniaturní potenciometr – zkrácený hřídel opatřený drážkou pro šroubovák), který je umístěn na zadní straně TRX (potenciometr P_1). Je možné jím jednou provždy nastavit zesílení pro daný mikrofon. Rozmístění součástek předzesilovače na destičce s plošnými spoji je na obr. 12.

Anténa

Jako anténu doporučují používat k tomuto TRX zásadně klasický dipól, napájený souosým kabelem, popřípadě anténu W3DZZ nebo G5RV. Tyto antény se napájejí z odbočky čívky PA přes kondenzátor 4,7 nF. Připojovat na živý konec rezonančního obvodu antény typu LW, FUCHS apod. nedoporučují. Tento antény mají nedefinovanou impedanci, která je zpravidla větší než impedance celého rezonančního obvodu PA, takže dochází ke špatnému přizpůsobení a k značnému zhoršení účinnosti celého TRX při vysílání.

Koncový stupeň je třeba po uvedení do chodu připojit na umělou anténu; bývá obvykle realizována bezindukčním odporem 70 Ω . Výkon v našich podmínkách zjistíme nejlépe tak, že na odporu 70 Ω měříme výkon. Výkon vypočítáme ze vzorce

$$P = \frac{U^2}{R}.$$

Pro orientaci uvádíme velikost výkonu na odporu 70 Ω pro různé výkony:

Výkon	Napětí
2 W	11,8 V
3 W	14,5 V
4 W	16,7 V

Pro kontrolu výkonu na přechodném stanovišti je dobré mít umělou anténu ze žárovek. Tim získáme rychlou kontrolu stavu celého TRX.

Zde je třeba si uvědomit, že umělá anténa ze žárovek vyžaduje správnou volbu žárovek pro daný výkon a impedanci. Správná umělá anténa musí spotřebovat celý výkon vysílače při požadované impedanci. Pro výkon vysílače 2,5 až 4 W zvolíme žárovky na

napětí 2,2 V a proud 0,2 A, které mají odpor

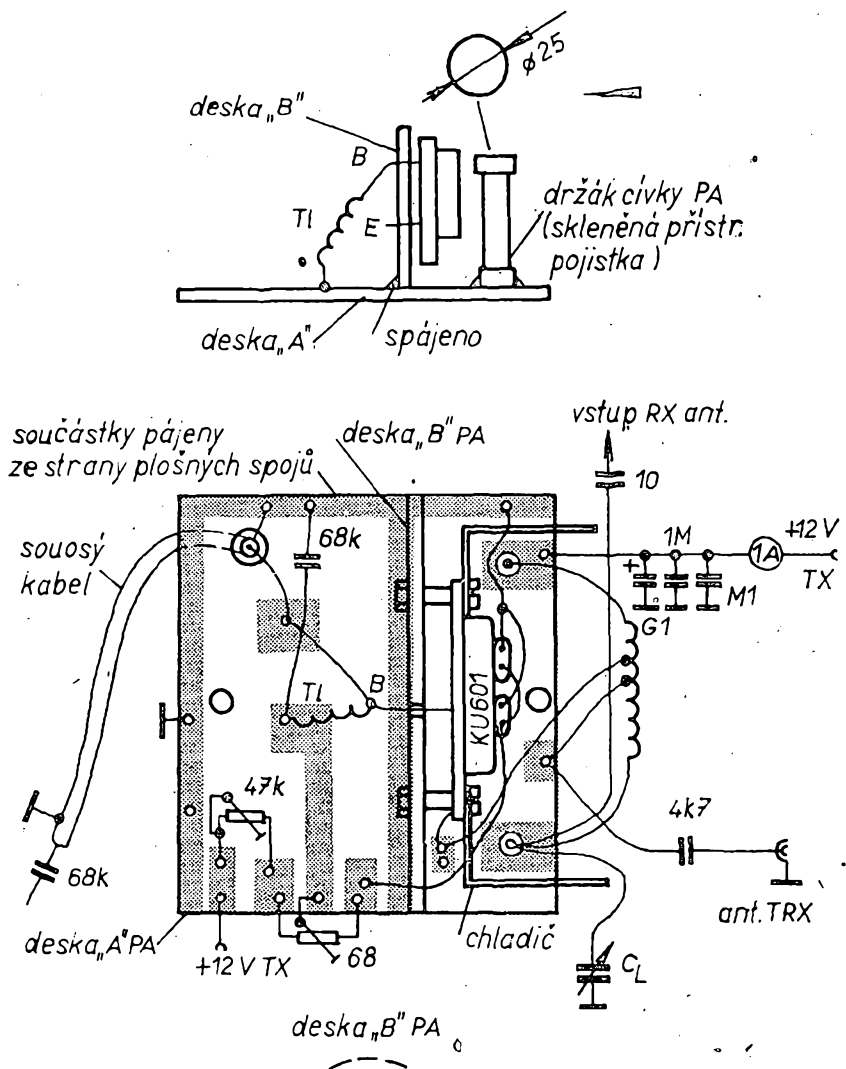
$$R = \frac{2,2}{0,2} = 11 \Omega.$$

Protože umělá anténa má mít odpor 70 Ω a chceme, aby se v ní spotřeboval výkon 2,5 až 3 W, stačí zapojit šest

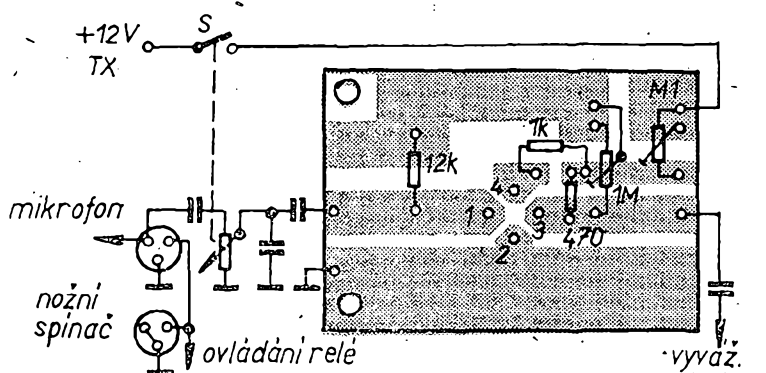
těchto žárovek do série; dostaneme výsledný odpor 66 Ω a výkon spojených žárovek je

$$6 \cdot 2,2 \cdot 0,2 = 2,64 \text{ W.}$$

Tohoto výkonu TRX dosáhneme při napájecím napětí kolektoru 24 až 27 V



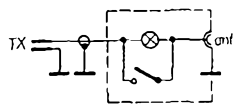
Obr. 11. Rozmístění součástek PA – destička s plošnými spoji Smaragd E79 a E80



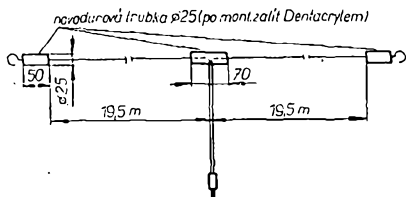
Obr. 12. Destička s plošnými spoji pro mikrofoni předzesilovač Smaragd E81

a proudu kolektoru 0,2 A. Příkon PA je potom 5,4 W. Výkon je v rozmezí 2,5 až 3 W, což představuje účinnost kolem 50 až 55 %. Účinnost PA je skutečně dobrá a srovnatelná s lineárními elektronkovými koncovými stupni. Při napájecím napětí 35 V je kolektorový proud asi 0,3 A. V tom případě je příkon 10 W a výkon 4 až 5 W. Zvětšovat kolektorové napětí nad tuto hranici je zbytečné a může způsobit poškození KU601 při odpojení zátěže (antény) od PA.

Umělou anténu ze žárovek vyrobíme z kousku cuprextitu. Měděnou fólií přerušíme pilkou na kov (můžeme odlepat) tak, aby vzniklo šest políček. Na tato políčka pak připojíme žárovky a kousky vodičů je spojíme do série. Pro jednoduché vyladění skutečné antény na přechodném stanovišti použijeme žárovku 2,2 V/0,2 A, kterou zapojíme do série s anténou a po vyladění zkratujeme spinačem (obr. 13). Připojíme-li k této pomůckce umělou nebo skutečnou



Obr. 13. Přípravek pro vyladování antény



Obr. 14. Dipól pro provoz z přechodného QTH

anténu, musí indikační žárovka svítit stále stejně. Tak můžeme ladit i antény typu W3DZZ a G5RV. Zde se jas sice může měnit, ale jen v nepatrých mězech, zvláště u antény G5RV.

Při vysílání z přechodného QTH používám klasický půlvlnný dipól 2×19.5 m, napájený souosým kabelem (obr. 14).

Délka kabelu je libovolná, protože signál se po kabelu dopravuje postupným vlněním. Protože jde o přenosnou anténu, zvolil jsem z prostorových důvodů délku kabelu 12 m. Tím je dána i maximální možná výška antény nad zemí. Září antény je z bílé síťové dvoulinky o průřezu 1 mm^2 . Anténa také velmi dobře pracuje jako obrácené V; konce záříče jsou 1 až 1,5 m nad zemí.

(Dokončení)

	III.
OK2-21118	149 (251)
OK2-17762	110 (132)
OK1-17323	98 (147)
OK2-9329	90 (168)
OK1-17728	74 (138)
OK1-17358	68 (150)
OK2-16350	59 (98)

Pevne verím, že k dalšímu termínu si každý opravi svoje skóre. Zmenu můžete nahlásit aj na pásmu, alebo poslat listok na moju adresu: Laco Didecky, Šec 197, okr. Chrudim.

RYCHLO TELEGRAFIE

Rubriku vede ing. Jaromír Vondráček, OK1ADS, Světicák 10, Praha 10

V Praze se konala 28. července ustavující schůze odboru rychlotelegrafie CRA. Na programu bylo projednání perspektív tohoto sportu u nás i v mezinárodním měřítku, podmínky jednotné sportovní klasifikace, příprava tabulkových rekordů a nejlepších výkonů posledních let, nový systém soutěží, kontrola propozic pro mistrovství ČSSR a příprava reprezentantů pro mezinárodní závody.

Začátkem srpna došlo v Bratislavě k první schůzce zástupců slovenského a českého odboru rychlotelegrafie. Jednalo se o podmínkách pro udělování výkonnostních titulů a titulu mistra sportu, o propozicích, předbežně byly projednány termíny národních mistrovství a mistrovství ČSSR. Jednání ukázalo, že není žádoucí zásadní rozporů. Všechny problémy budou v zájmu ujednací konzultovány na společných schůzkách.

CQ YL

Rubriku vede
Duša Šupálková, OK2DM-

Attention oms,
de OK2PAP and OK2PEP!

Zde jazyky tvrdí, že právě tento nápis najdete v jednom „ham shacku“ v ČSSR, přesněji na Moravě, lepě řečeno v QRA IJ33, v centru blanenského radioamatérského dílu – tedy v Kunštátě. Vic nelze prozradit pro dramaticnost děje. Pro zvláštní zájemce (optimisty) mohou být pomůckou antény volně rozvěšené po okolních stromech naše domu.

Od popisu přejdeme k vyprávění. Život byl patrně pro naše rodiče idyla, kdyby nám jednou ve škole neoznámili, že se zakládá radioamatérský kroužek. Nadšeně jsme se přihlásily a tenkrát absolutně netušily, kolik dramatických okamžíků způsobíme sobě i svěmu okoli.

Riká se sice, že každý začátek je těžký, ale my na ty začátky v radioklubu vzpomínáme za všechno nejraději. První písmena, první QSO, první QSL. A mezi ním spousta práce Josefa, OK2BFY. Ale práce, starosti a trpké chvíliky jaksi zmizí, zato veselé vzpomínky se vracejí. Začínaly jsme společně, složily zkoušky RO a vydryly jako jediné YL z tohoto kursu. Kdybychom možná na všechno nebyly dvě, těžko bychom se takovému kóniku věnovaly do dneška. Posudte konečně sami, zda by jedna dokázala celit třeba vzdouť rodičů proti „pípátku“, které si teď klidně reproduktorem dovolí rušit domácí pohodu. Samozřejmě, každý klad má i své záporu. Například si vzpomínáme na cvičná vysílání QSO z místnosti do místnosti. Když nastala náhoda situace, že jsme měly vysílat spolu, zamýškaly se spojovací dveře, protože po obdržení špatného reportu následovala pravidelné rodinné roztržka. A takto by se dalo pokračovat ještě hodně dluhovo, protože jindobné historky nás provázely stále, třeba již v jiných situacích a za jiných okolností.

Každý dřív nás ani nenapadlo, že bychom mohly mit vysílač doma. V současné době máme, ale až háček je v tom, že tento TX má občas své rozmazy. Obvykle právě v době, kdy vysíláme, vytváří různé technické zmatky. Poněvadž ani úsměvy, ani prošeň nebo zaklinání nepomáhají, rozhodly jsme se jednou ze zoufalství k vlastnoruční opravě.

Výsledkem bylo další pevné sblížení s vysílačem, neboť rukávy jedně z nás pevně uvízly pod jeho krytem.

Měli byste ještě odvahu pokračovat ve čtení? My v psaní už ne, aby nám nebyla pozastavena

DX žebříček

Stav k 10. 8. 1971

CW/fone	OK1KDC	179 (200)	Fone	
I.	OK2BIX	178 (203)	I.	
OK1AH -	OK1NH	177 (191)	II.	
OK1ADM	OK1AHI	172 (223)	OK1ADM	312 (312)
OK1SV	OKIAOR	171 (198)	OK1ADP	306 (309)
OK3MM	OKIBMW	166 (182)		
OK1ADP	OKIPT	163 (180)		
	OK1AGQ	163 (163)	OK1MP	276 (281)
II.	OK2BNZ	162 (177)	OK1AHV	208 (263)
OK1STU	OKISTU	158 (179)	OKIBY	205 (207)
OK2BMH	OK1KUL	153 (176)	OKIAWZ	202 (212)
OK3CAU	OK1AGI	153 (172)	OKIVK	202 (202)
OK1MP	OK1AGI	149 (181)	OKIAHZ	195 (211)
OK2QR	OK2BT	149 (167)	OKIJKM	185 (200)
OK1FV	OK2BN	149 (165)	OK2DB	181 (191)
OK1ZL	OK3JV	149 (148)	OKIFV	177 (185)
OK1KUL	OK1IQ	145 (160)	OKISV	167 (195)
OK1MG	OK1AJM	143 (181)	OK2BGT	159 (186)
OK1PD	OK3CAD	143 (170)	OK1NH	154 (174)
OK1LY	OK3CAU	143 (159)		
OK1AAW	OK1ARN	143 (144)		
OK1AHZ	OK1KYS	143 (140)	III.	
OK3IR	OK1ZW	143 (144)	OK2BEN	138 (145)
OK3CDP	OK1AKU	140 (170)	OK2OR	129 (178)
OK1AW	OK3BT	140 (159)	OK1KDC	119 (157)
OK1JKM	OK2BMF	136 (166)	OK1ZL	115 (115)
OK1AQK	OK2BMF	136 (158)	OK1AAW	108 (146)
OK1US	OK1AWQ	135 (180)	OK1FBV	106 (128)
OK2QX	OK1CJL	132 (161)	OK1MPP	103 (173)
OK1TA	OK1TX	131 (160)	OK3EE	102 (133)
OK1BY	OK1BEW	130 (160)	OK1XW	98 (132)
OK2DB	OK1IVO	125 (147)	OKIXN	90 (120)
OK1AI	OK1AKU	123 (132)	OKIUS	89 (116)
OK1VK	OK1AKL	116 (130)	OKIAWU	87 (107)
OK1AWZ	OK1AMR	115 (140)	OK1AKL	85 (100)
OK3QQ	OK1AWQ	113 (136)	OK1MG	65 (100)
OK1AMI	OK1CJL	110 (120)	OK2QX	56 (60)
OK1AHV	OK1KZ	108 (117)	OK1IQ	56 (56)
OK2BGT	OK2BDE	106 (140)	OK1DWZ	55 (77)
OK2PO	OK1MSP	105 (129)	OK1VO	52 (85)
OK1APJ	OK3CIS	104 (108)	OK2BIQ	51 (60)
OK1ING	OK2KGV	103 (146)	OK2BMS	50 (50)
OK1KTL	OK1MGW	101 (131)		
OK2BBJ	OK1ARZ	95 (118)	RP	
OK1CG	OK2BIQ	83 (99)	I.	
OK1XW	OK2KV1	80 (82)	OK2-4857	314 (319)
OK1XV	OK1KCF	73 (83)		
OK1WV	OK1AFX	71 (91)		
OK1AUZ	OK1WN	68 (88)	II.	
OK2AO	OK1FAV	67 (100)	OK1-6701	266 (296)
OK2OQ	OK2BOL	66 (97)	OK1-7417	264 (307)
OK2BCJ	OK1DVK	62 (74)	OK1-10896	250 (291)
OK2KMB	OK2PCL	57 (79)	OK1-15835	198 (220)
OK3EE	OK1DWZ	57 (79)	OK1-12233	190 (247)

i ta skromná činnost, kterou podle možnosti vyvíjíme.

Všechny YL, které nechtejí s tímto koničkem přestat a nemají pítom tatinka, bratra nebo manžela radioamatéra, nám jistě potvrdí nepřijemný pocit při otázkách OM na počet QSO, diplomu nebo DX. Dost se jich takto ptá, ale s technickými problémy vysílání málokdo pomůže. NW HW?

73!
de OK2PAP and OK2PEP + K
Pavla a Vojta Bednárový

OL QTC

Rubriku vede Alek Myslik, OKIAMY, poštovní schránka 15, Praha 10

Protože se blíží konec roku, pokusil jsem se sestavit ze všech vašich připomínek a podnětu konkrétní návrh propozic pravidelného závodu na 160 m. Přečtěte si jej a pokud byste navrhovali ještě nějaké vylepšení, pošlete mi své připomínky – ale obratem. Počkám do konce října a potom bych návrh poslal na ÚV ČRA.

Návrh propozic pravidelného závodu
na pásmu 160 m

Datum: vždy první pondělí v měsíci.

Cas: první etapa 20.00 až 20.30 SEČ, druhá etapa 20.30 až 21.00 SEČ.

Pásma: 1 850 až 1 900 kHz.

Výzva, do závodu: TEST.

Provoz: navazují se spojení se všemi stanicemi, které se závodu zúčastní. S každou stanicí je možné navázat v každé etapě jen jedno spojení.

Kód: předává se kód složený z RST, pořadového čísla spojení a označení malého QRA-čtverce, v němž stanice pracuje (např. 599001 HK73). Bodování: za každé úplné spojení 3 body. Je-li chyba ve volacím znaku nebo více než jedna chyba v přijatém kódu, spojení se nepočítá. Za jednu chybu v přijatém kódu se odečítá 1 bod.

Násobičem je celkový počet malých QRA-čtverců, s nimiž bylo během celého závodu navázáno spojení.

Kategorie: závod bude vyhodnocován ve dvou kategoriích: stanice OL a stanice OK. V každém závodě bude vyhlášen absolutní vítěz bez ohledu na kategorii.

Celkové hodnocení: závod bude vždy vyhodnocen také celoročně tak, že se každé stanici seče pět nejlepších umístění, která během roku ziskala.



Rubriku vede ing. Vladimír Šrđlinko, OK1SV

DX - expedice

Ještě několik slov k expedici DL7FT do Albánie letos v červnu: stále ještě chybí jakýkoli oficiální komentář, takže akci nelze ještě uzavřít. Jisté je, že značka ZA2RPS se na pásmech vysyla kolem 13. 6. 71, hlavně na 14 MHz telegraficky, ale že se tam také vysyla značka ZA2RFS, která je zaručeně „černá“. Dokonce byla slyšena i značka ZA2AH, op. Vlado, žádající QSL na box 21, Tiran. Nicméně expedice ZA2RPS tam bezpochyby byla, dokonce tu a tam i vysila, s platností pro DXCC je to však zatím nevyjasněné.

Ještě závěrem k výborné expedici OH2MM a OH2MM do Afriky. Tato expedice měla neočekávaný úspěch; pod značkou 3C1EC navázala 7 000 spojení a z Anobonu jako 3C0AN dokonce za pouhé 4 dny asi 7 200 spojení. Všechno ovšem neproběhlo zcela hladce – oba operátori se museli po návratu domů uchýlit do nemocnice s lehký malárií. Ale i odtud vysílali se zařízením, které měli na Anobonu, a hlasili se např. OH2 Malaria Malaria a podobnými vtipnými značkami. QSL si dali natisknout ve W6 a s jejich rozšířením slibovali začít koncem srpna nebo v září.

Z ostrova Montserrat pracuje jedna expedice za druhou. Sotva skončila značka VP2MAA, což byl VE3GCO, již se tam objevila další stanice VP2MA, která má QTH Davis Bay. Rovněž VP8MH je v Antarktidě pracuje z Argentine Island poblíž Graham Land. Všechny tyto stanice pracují ponejvíce na SSB, a to na 14 MHz ve věčných hodinách, obvykle kolem 20.00 GMT.

VK0TM pracuje z ostrova Maquarie SSB na kmitočtu 14 120 kHz ráno kolem 05.30 GMT.

Velmi vzácný ostrov Canton je v současné době dosažitelný, neboť se tam objevila stanice W6DDM/KB6. Je slyšitelná kolem 06.30 GMT SSB na kmitočtu 14 215 kHz, je však velmi slabá a bere zatím jen stanice z USA. Doufajme, že se podmínky na Evropu změní a bude dosažitelná i pro nás.

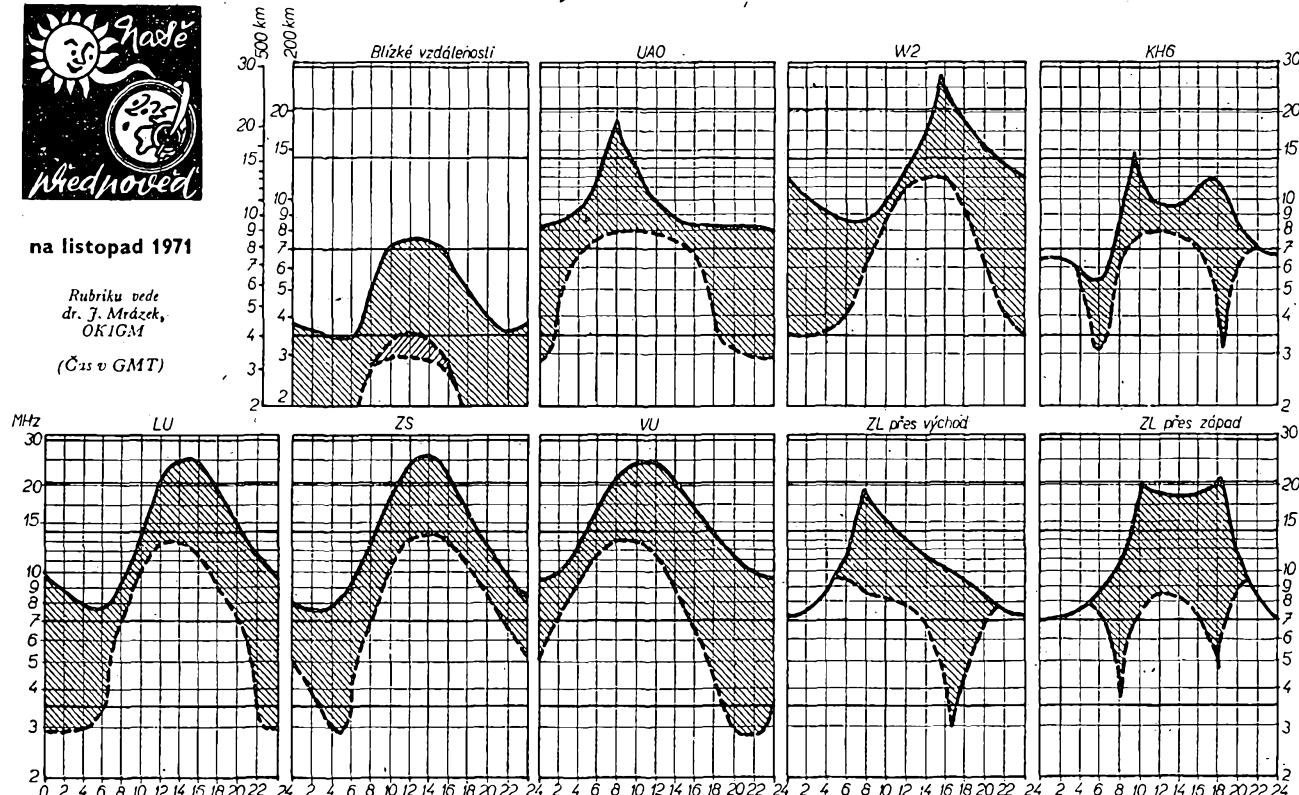
ZK1CD pracuje velmi aktivně z Cook-Island zpravidla ráno na SSB. Manažera mu dělá ZL2FA.

Nové prefixy rostou i nadále jako houby po deštích. Kromě změn v prefixech italských ostrovů se objevila značka OG5A, která patří ústřednímu radioklubu v OH a je přiležitostnou značkou k oslavě 50. výročí založení SRAL. Z Peru pracují prefixy OB, vydávané v přiležitosti 150. výročí osvobození Peru. Za 5 různých OB QSL lze získat jubilejní diplom. Kromě toho používají tamní Central Radioclub po 3 dny zvláštní prefix 4T4O. Pod značkou KF4SJ pracuje zase radioklub na Portiku, a to až do konce letošního roku. K další přiležitostné změně prefixu dochází v Iránu, kde některé stanice používají místo EP značku EQ u přiležitosti výročí íránského císařství. Za určitý počet EQ QSL bude vydáván zvláštní diplom. Jakmile zjistíme podrobnosti, včas vás uvedomíme. Dochází však i k trvalé změně prefixu, neboť ITU přidělila nyní ostrovům Fiji značky 3DN a 3DZ. A tak inflace prefixů vesle pokračuje a nelze se dítivit, že sama ARRL otáčí s vydáním nového seznamu zemí DXCC.



na listopad 1971

Rubriku vede
dr. J. Mrázek,
OK1GM
(Čas v GMT)



Před měsicem jsem se zminil o tom, že dobré podzimní podmínky se začnou v listopadu zhoršovat. Je to tím, že příliš krátký den nedovolí delší využívání podmínek DX na nejvyšších krátkovlnných pásmech, která se tím budou stávat pro dálkový provoz méně efektivní. Populárně lze říci, že než se podmínky ve vhodném směru rozvinou, blížíci se noc již způsobi jejich zánik. Přesto právě na rozhraní dne a noci bude možné nejen v pásmu 10 m,

ale zejména v pásmech 21 a 14 MHz zažít největší překvapení. Také v dopoledních hodinách bude možné na této dvoj pásmech v klidných dnech navázat spojení se stanicemi v amatérských mnohem obsazených afrických a asijských zemích. Ve srovnání s říjnem však budeme pozorovat zlepšený ústup od letošního podzimního optimu, popsaného v minulém čísle.

Věčerní pásmá ticha na pásmech 80 a 40 m se stanou častěji a výrazněji a někdy znesnadní i evropský provoz. Zkuste využívat tohoto přechodného pásmá ticha k navázání mezikontinentálních spojení po Sluncem neosvětlené cestě! Totéž platí i pro druhou

polovinu noci, kdy ani na pásmu 160 m cesta k dálkovým spojením není uzavřena.

Jistě si během listopadu povídnete i toho, že ionosféra bude mnohem náhylnější k drobným a středním poruchám, takže počet dnů s mimorádnými (a obvykle zhoršenými) podmínkami bude větší než v dřívějších měsících. Tento jev však náleží k „zimním“ podmínkám a prakticky znamená, že procento použitelnosti všech krátkovlnných pásem pro provoz DX bude menší než v září a říjnu. V geomagneticky klidných dnech však i v listopadu zůstanou poměrně dobré, i když často jen krátce trvající podmínky pro DX. Během měsíce se budou tyto podmínky pomalu zhoršovat.

Nevypromeněte, že

V LISTOPADU

Datum, čas	Závod	Pořádá
7. 11. 00.00–24.00	OK-DX Contest	ÚRK ČSSR
6. a 7. 11. 18.00–18.00	RSGB 7 MHz fone Contest	RSGB
27. a 28. 11. 00.00–24.00	CQ WW DX Contest, část CW CQ	



Pod značkou VK9LV pracuje t. č. světoznámý amatér GSRV (podle něhož se jmenuje i známá anténa!). Jeho QTH je Papus Territory. Obvykle pracuje SSB na kmitočtu 14 250 kHz s výborným signálem. Louis žádá QSL na bureau, protože při jeho popularitě, jak sám říká, nemůže vyřizovat došlé QSL pravmo.

Pod značkou JY1BF nepracuje v posledních dnech královna Maud, vybrázená OM jménem Zaza. Žádá QSL rovněž na WA3HUP nebo na box 1055, Amman. Sám Hussein, JY1, se objevil i na pásmu 80 m na SSB a řada OK s ním navázala spojení.

VA2UN byla značka univerzity v Montrealu v Kanadě, která pracovala expedičním tempem asi týden na SSB. Manažerem je W2GK.

Jak se neoficiálně dozvídám, ARRL právě nepřijímá QSL do DXCC za spojení se stanicí VK0HM Macquarie Island – a QSL vraci. Důvodem je, že mezi FZ VK není dosud reciprocita ve vydávání koncesi a značka VK0HM byla přidělena Američanovi!

Nový prefix začínají používat rovněž v Japonsku – je to značka JE. Zatím není znám dávod, protože k výčerpání všech značek prefixů JA a JH přece jen snad ještě nemohlo dojít.

Pozor na expedici na ostrovy Abu-Ail (nebo Jabel-al-Fair) v Rudém moři, které jsou již uznány za novou zemi DXCC. Má se tam v dohledné době vypravit ET3ZU s větší skupinou DX-manů z Afriky i z USA na expedici. Značku zatím neznám, jako o termínu expedice se hovořilo o září t. r.

Pokud někdo potřebuje pásmo č. 26 pro diplom P75P, podívejte se mezi 06.00 až 07.00 GMT na telegrafní část pásmu 14 MHz, kde se velmi často objevuje stanice UK0KAA, obvykle kolem 14 010 kHz. QTH je totiž Wrangel Island!

Pod značkou OJ0SUF pracovala v červenci neohlášená expedice z Market Reef. Byl to OH2BHU, na jehož domovskou adresu se mají zaslat QSL. Na zpáteční cestě se zastavil i na Aalandech, odkud pravděpodobně krátkou dobu jako OH2BHU/OHO.

Na pěkné možnosti na pásmu 7 MHz upozornil OK1ALQ, který tam i v době letních nevalných podmínek splnil za čtyři hodiny celý WAC. Stojí proto za to se na toto opomíjené pásmo někdy večer podívat.

Pod značkou C31DY pracuje v současné době expedice PA0GMM a žádá QSL na domovskou adresu. Pracuje CW i SSB a je snadno dosažitelná.

Jako první značka IF se objevila expedice IF9PUG na SSB ze Sicilských ostrovů. QSL žádali na IT1ZGY přímo.

KM6DX z Midway Island se objevuje nepravidelně na SSB časně ráno na kmitočtu 14 300 kHz a vydří tam někdy i do 8.00 GMT. Je však zatím velmi slabý a také asi dost špatně poslouchá.

Pod značkou IG9XAI pracovala prázdninová expedice IT1ZGY z ostrova Lampedusa, který patří k Itálii. Není to tedy nová země DXCC.

Na pásmu 3,5 MHz SSB se kromě raritních stanic začínají objevovat i piráti! Je např. již bezpečně zjištěno, že 9U5BC je pirát, ale ani o DU1FH na tomto pásmu (s burácivým signálem) není dosud jisté, že je právý.

Pod značkou C31DZ pracovala expedice G5YC na SSB. QSL přímo na domovskou adresu.

Velmi zajímavá je zpráva z USA, že od 10. 7. 1971 pracuje stanice BY1AB SSB na kmitočtu 14 170 kHz a W's si stěžují, že pracuje jen se stanicemi v Evropě! Používá právě plně tranzistorové zařízení s příkonem kolem 100 W a šestiprvkovou anténu Quad. QSL

právě žádá na adresu: Mao 579 Tong Tien Men, Peking 11.

BV2A pracuje nyní telegraficky na kmitočtu 14 023 kHz každý pátek od 12.00 GMT a QSL žádá na TIM Chen, Box 101, Taipei, Taiwan.

Pokud někdo potřebuje Swan Isl., dívejte se po značce WAIARF/KS4, která bývá obvykle na kmitočtu YL-SSB gangu, tj. na 14 332 kHz, hlavně o vikendech (zejména později v noci), ve středu a v pátek. QSL agentu vyřizuje W46MWG.

Pokud jste někdo pracovali se stanicí 1A1A nebo KD3UMP, neni zatíkajte jasné, dle-li skutečně o piráty. Gus, W4BPD, se mimochodem o takovýchto „zázracích“ vyslovil, že je lépe si je udělat a pak diskutovat, než naopak.

CR3DN bude nyní pracovat z Portugalské Guiney po dobu dvou let. Manažera mu dělá známý CT1BH.

Jim, ZM7AG, stále pokouší SSB a bývá na kmitočtu kolem 14 100 kHz SSB kolem 04.00 GMT. Je však stále velmi slabý a nás asi nebude.

Pod značkou OK4PEN/MM má pracovat v brzké době OK2PEN z čs. námořní lodě Radhost, která je t. č. někde v Atlantiku.

Několik nových QSL informací: ZB2A na WA9YNE, ZB2BV na G3RSJ, VS9MB - G3KDB, 3B8CZ - 3B8AD, EL7BR - DK3IH, IM0KH - I2JQ, 4U3ITU - DJ6TX, 5U7AW - VE2DCY, 9X5WJ - W1MJJ, ET3ZU/A na III, 7Q7AA - K4CDZ, 9L9ITU - 6W8AX, 9N1JK - DJ9KR, TY1ABE - P.O.Box 29 Porto Novo, Dahomey. ZD8MG - K9FY, IB0KDB na P.O.Box 336 Napoli, JW5NM - LA7RB, VK9RH na Ray Hoare, P.O.Box 97, Norfolk Island, South Pacific, EP2FB a EP2YL na W3EMH, JW6SS na Box 2353 Amman, VQ9R - Box 193 Mahé, Seychelles.

Do dnešní rubriky přispěli: OK1ADM, OK2BRR, OK3BH, OK2BBJ, OK2OP a posluchači OK1-18637, OK2-5385, OK1-18549, OK3-16823, OK1-18146. Všem srdečný dík za prosím i další zájemce o DX-sport, posílejte zajímavé DX-zprávy vždy do osmého v měsíci na adresu: Ing. Vladimír Srdík, P.O.Box 46, Hlinsko v Čechách.

přečteme si

Volin, M. L.: PARAZITNÍ VAZBY A PŘENOŠKY. Z ruského originálu Parazitnye svazi inavodki vydávaného v Moskvě 1965 přeložil ing. Václav Hoffmann, CSc. Malá radiotechnická knihovna, svazek 24. SNTL: Praha 1970. 204 str., 171 obr., 8 tab. Brož. Kčs 18,-.

Radioamatérům jistě ze své praxe znají nežádoucí vazby v přístrojích; problém, jak navrhnut jednotlivé díly a jak tyto díly seřadit do celku, aby se vzájemně neovlivňovaly, je tedy problémem aktuálním. V praxi se tento problém obvykle sjednoduší na stínění, popř. správné uzemnění, avšak to je málo. Ve Volinové publikaci je zpracován vznik nežádoucích vazeb a jejich odstranění (popř. změnění vlivu) stejně důkladně, jako podrobné pokyny pro vhodnou konstrukci přístrojů.

Obsah je rozdělen do pěti kapitol. V první kapitole se probírájí zdroje rušivých napětí a cesty jejich

přenosu. Zde jde o typické ukázky jak, a hlavně kde tyto jevy vznikají. Druhá kapitola pojednává o stíni (magnetickém i elektrickém) a o oddělovacích obvodech. Všimá si vodičů, vysokofrekvenčních cívek, transformátorů, filtrů a elektronek. V třetí kapitole jsou popsány parazitní vazby v zesilovačích. Je to také kapitola nejobtížejší, a z konstrukčního hlediska nejjednodušší, protože konec konců zesilovač je přístrojem v praxi nejpoužívanějším. Neméně závažnou kapitolou je kapitola čtvrtá, v níž jsou popsány příčiny hlušky napájecí sítě, významné poruchy napájecích sítí, půlvalení impulsních rušení a filtrace parazitních vazeb a přenosů. Patou kapitolu napsal překladatel. Tyka se stínění a chlazení tranzistorů, jejich stability, stability tranzistorových zesilovačů, neutralizace vysokofrekvenčních zesilovačů a ochrany tranzistorových zařízení před přechodovými jevy.

Kniha se vyznačuje důkladností, srozumitelností a názorností. Zvlášť dobré a kladně lze hodnotit práci překladatele, který opatřil výklad svými kritickými poznámkami, které rozšiřují platnost zásad v knize uvedených na poznátky modernější. Kniha uzavírá seznam doporučené literatury a věcný rejstřík.

L. D.

Neumann, P.; Kadlec, J.: TRANZISTOROVÉ OBVODY I (202 str., 74 obr.), Neumann, P.: TRANZISTOROVÉ OBVODY II (188 str., 100 obr.), Neumann, P.; Semerádová, M.; Uhliř, J.: PARAMETRY PÓLOVODIČOVÝCH SOUČÁSTEK (188 str., 90 obr.). Oborové vzdělávací středisko Tesla, Praha, 1971.

Série příruček, vydaných v omezeném počtu jako skriptum pro posluchače PGS „Polovodiče v elektrotechnice“, shrnuje základy tranzistorové obvodové techniky na úrovni přijatelné i pro absolventy SPŠE.

První z nich si věšíma činnosti širokopásmových tranzistorových zesilovačů malých i velkých signálů a jejich technického návrhu. Jsou zde uvedeny významy vzniku a metody výpočtu nelineárního zkreslení, obvody pro teplotní stabilizaci, vztahy pro výpočet kmitočtových vlastností zesilovačů apod.

Naučující druhá příručka popisuje vlastnosti vicestupňových zesilovačů, možnosti kmitočtových korekcí a zpětnovazební obvody. Po doplnění katalogu o nelineárními zkreslení následuje stat o detektorech a osciloskopech.

Ve třetí příručce jsou popsány ekvivalentní zapojení tranzistorů a diod v návaznosti na vnitřní strukturu tétoč prvků. Kapitolami o spinacích a sumových vlastnostech tranzistorů publikace končí.

I když je v současné době k dispozici řada dobrých knih o tranzistorové technice, uplatní se recenzované publikace pro systematický výklad s důrazem na teorii jak v kurzech, tak i při samostatném studiu.

Ing. Milan Staněk, CSc.



Funktechnik (NSR), č. 10/71

Koncové stupně rádiového rozkladu s polovodiči - Fotografické a kinematografické záznamy obrazu z televizní obrazovky - Polovodičové součástky na pařížském salónu součástek - Elektronický blesk Mecablitz 202 - Měření teploty termistoru - Stereofonický zesilovač Hi-Fi 2 x 40 W - Hledání chyb sledovačem signálu - Reproduktory soustavy Hi-Fi 35 W o obsahu 20.1 - Elektronika a hobby.

Funktechnik (NSR), č. 11/71

Nové gramofony na hannoverském veletrhu - Nové přístroje Hi-Fi - Nové videomagnetofony - Antenní technika v Hannoveru - Nové přístroje pro servis - Fotografické a kinematografické záznamy obrazu z televizní obrazovky - Stereofonický zesilovač Hi-Fi 2 x 40 W - Měření teploty termistoru - Přístup chladicího vzduchu do televizoru.

Funktechnik (NSR), č. 12/71

Zahraniční výrobky na veletrhu v Hannoveru - Nové polovodičové součástky - Výroba hudebních kazet - Jakostní výškový reproduktor pro zazáření Hi-Fi - Stavební návod na tranzistorový osciloskop se šířkou pásmá 0 až 30 MHz - Výkonný přijímač pro amatérské pásmo 2 m - Měření rychlosti otáčení s integrovaným obvodem.

Hudba a zvuk č. 6/71

Tuner-kit 30 stereo (5) - Aktuality HaZ - Chromodoxidové kazety - Vicekanálová stereofonie (1) -

Vzpomínky na Ultraphon - Stereofonní dekodér pro nejvyšší nároky - SG 80 Junior - Ještě o konvertorech pro 2. TV program - Expander s integrovanými obvody - Jazz a instrumentace - Sonáta (seriál o hudebních formách) - Rady zpěvákům u mikrofonu (3) - Čs. fonoamatér.

Hudba a zvuk č. 7/71

Vstupní dil P 005 pro příjem v pásmu CCIR - Aktuality HaZ - Tuner-kit 30 stereo (6) - Vicekanálová stereofonie (2) - Perspektivní čs. aktivní součástek pro elektroniku - Anténa Cubical Quad pro 2. TV program z odrezků cuprextitu - Recenze desek - Stereofonní dekodér pro nejvyšší nároky (dokončení) - Project 60 firmy Sinclair - Kmitočkové demodulátory (1) - Gramofony s elektrickým pohonem - Jazz a pop před mikrofonem - Obaly a export - Vzpomínky na Ultraphon - Symfonická písnička a programovost vůbec - Čs. fonoamatér.

Radio (SSSR), č. 6/71

Přijímač pro hon na lišku - Elektronika ve službách agresivní politiky USA - Radiochuligánství před soudem - Úzkopásmový filtr mf - Výkonový zesilovač nf - Třípásmová anténa pro KV - Televizní anténa pro mototuristy - Rozhlasový přijímač Okean - Pro začínající: elektronika se dvěma elektrodami - Univerzální zdroj - Amatérský přepínač - Bateriový magnetofon - Voltohmmetr s tranzistory FET - Jednoduché přijímače - Přijímač pro dálkové ovládání - Některé náhrady zahraničních (amerických a japonských) tranzistorů - Ze zahraničí - Naše rady - Přehled vš pentod.

Funkamatér (NDR), č. 6/71

Stavební návod na sítové zdroje s tranzistory - Konstrukce elektronického blesku - Stavební návod na celotranzistorový osciloskop - Výkonné středovlnní přijímač s tranzistory - Levný zkoušec tranzistorů - Použití tyristorů v obvodech malého napětí - Interkom - Čtyřprvková anténa Yagi DMR2DGO - Násobič kmitočtu pro vysílače KV - Zařízení SSB s tranzistory - TV anténní zesilovač s křemíkovými tranzistory - Rubriky.

Funkamatér (NDR), č. 7/71

Čislicové obvody kombinátu VEB HFO - Konverzor UKV s křemíkovými tranzistory - Antenní výhybky pro TV a KV - Všeobecné použitelný zkoušební zesilovač - Neobvyklá použití fotoelektrických odporů - Konstrukční návrh měřicí tranzistorů - Elektronické zapalování pro motory Otto - Mapa čtverců QRA první oblasti IARU -

Stereofonní zesilovač pro sluchátko - Směšovací zesilovač - Chemické cinování desek s plošnými spoji - Transceiver SSB-CW-RTTY - Anténa Quad pro více pásem - Výkonný křemíkový usměrňovač jako varaktorový násobič kmitočtu - Rubriky.

Radio, Fernsehen, Elektronik (NDR), č. 12/71

Součástky řízené magnetickým polem - Náhradní schématika tranzistorů pro výpočet obvodů počítacím - Jednoduchý a všeobecný spoušťový obvod - Informace o integrovaných obvodech v tenkých vrstvách KME3 (12) - Číslicové zpracování informací (32) - Technika příjmu barevné televize (37) - Kmitočtová závislost stabilizátorů napětí - Moderní způsoby měření civek - Mf zesilovač v barevných televizích přijímačů Rubin 40LBG, Raduga 5BG, RFT-Color 20 - „Itron“, číslicová indikační elektronika pro malá provozní napětí.

Rádiotechnika (MLR), č. 7/71

Zajímavé obvody s elektronikami a tranzistory - Speciální diody - Napájení antén - Základy techniky RTTY (5) - Samočinný vysílač pro lišku

s integrovanými obvody - DX - Amatérská měřicí technika - měření na motorových vozidlech (5) - RT TV (11) - Co lze zjistit z katalogu? - Polifonní elektronické varhaný (7) - Integrované obvody AND - NOR.

Radioamatér (Jug.), č. 5/71

Stereofonní přijímač s tranzistory - Tranzistorový vysílač - Měřicí kmitočtu s integrovaným obvodem μA709 - Navrhování obvodů s tranzistory FET - Úvod do techniky tyristorů (2) - Sonda s velkým vstupním odporem - Zkreslení a boj proti nám - Technické novinky - Rubriky - Polovodičová elektronika (4) - Zprávy IARU - Ceník některých součástek.

Radio, televize, elektronika (BLR), č. 6/71

Zařízení signalizující stav hladiny tekutiny - Elektronické signalační zařízení - Elektronická časová relé - Přístroj k měření reflexů sportovců - Elektronický teploměr - Regulátor teploty s velkou přesností - Tranzistorové nf zesilovače beztransformátorů - Šum v obrazu - Rubriky - Tranzistorový přijímač pro 3,5 MHz Snajper-70 - CQ DX.

INZERCE

První tučný řádek Kčs 20,40, další Kčs 10,20. Příslušnou částku poukážte na účet č. 300-036 SBCS Praha, správa 611 pro vydavatelství MAGNET, inzerce, Praha 1, Vladislavova 26. Uzávěrka 6 týdnů před uveřejněním, tj. 14. v měsíci. **Neopomeňte uvést prodejní cenu,** jinak inzerát neuvěřejníme.

PRODEJ

RX LAMBDA IV v dobr. stavu (1 000), neúplný magnetofon NF 2 Superfon (300). R. Forejt, Čs. arm. 445, Lom, okr. Most.

AF239 - 3 ks à 70 Kčs. J. Klečka, Předonín 116, p. Bechlín.

Tranzistory AF139 à 60 a AF239 à 100 zašle na dobitku ing. Gráf, Kralovice 557, okr. Plzeň-sever.

Zdokonalený TW30 a SF239, výhodně. Petr Šenkýř, Na pískách 93, Praha 6.

Konverzor na II. TV program z AR 8/69 (à 400), přežišlořívač na II. TV program z AR 1/71 (à 200). Marián Andris, ul. 29. Augusta n. d., Galanta.

Zesilovač 750 W (9 000), 100 W (2 000), 10 W (1 000), stereo 2 x 3 W (800), ARS 710 (200),

nf generátor (480), tranz. směšovač 3 vst. (460), stereogramo 2 x 4 W (1 200), různé tranzistorové přijímače (100-200), Hammond Lesney effect (950). Vladimír Fridrich, Praha 9-Prosek, Litvínovská 285.

Tranzistor Menuet (700), magnetofon Start se zdrojem (700), obojí bezvadné. J. Jerhot, Třeboň II/417.

Nové tranzistory KU605 za 280, KU608 za 400, KU607 za 300 Kčs. Augustin Hovězák, Vlachovice č. 36, o. Gottwaldov.

Mgf Dual TG 28 CV, Hi-Fi, nepouž. v záruce (7 000), zesilovač Hi-Fi 2 x 30 W (2 600), mikrof. Grundig M66 (2 ks à 500) a AMD 410 (2 ks à 250), Ing. Mir. Kobližek, Moravské Bránice 48.

KOUPĚ

AR roč. 1961 - 1970 vč. AR čís. 1-3 roč. 1971. Pouze nepoškozené, udejte cenu. J. Dupal, Soběslav 151/II.

Torn E.b.; WR-1; Fu.H.e.V., EZ6 nebo dám Ukw.E.e. M. Kornfeld, Plešivec 200, o. Rožnava.

RŮZNÉ

Kdo udělá 1% odpory. V. Bělohlávek, Malá Víska č. 6, p. Komárov, o. Beroun.

MINIATURNÍ PÁJEČKA SE ZDROJEM

**pro pájení miniaturních součástí,
tranzistorů,
integrovaných obvodů apod.**

Tepelné tělíska miniaturní páječky MP 12 a výmenné pájecí hroty jsou konstruovány pro dlouhodobý provoz. K páječce je dodáván navíc 1 náhradní hrot. Ke zdroji se páječka připojuje miniaturní koaxiální zástrčkou, která znemožňuje nesprávné připojení při neodborné manipulaci. **Cena kompletu** páječky MP 12 se síťovým zdrojem ZT 12 (220 V) je 200,- Kčs. Páječku lze napájet též z autobaterie.

Technické parametry: napájecí napětí 12 V; příkon 12 W; teplota nezatíženého hrotu 380 °C; doba potřebná k nahřátí asi 60 s; délka páječky 160 mm; průměr pájecích hrotů 2,5 mm; váha páječky 32 g; délka přívodní šňůry 1,25 m.

TESLA dobré výrobky
dobré služby

**V PRODEJNÁCH TESLA
A VE SPECIÁLNÍCH PRODEJNÁCH
ELEKTRO PODNIKŮ DOMÁCÍ POTŘEBY**